



Hydrodynamik

Wintersemester 2012 / 13

Georg Wolschin
Universität Heidelberg
Institut für Theoretische Physik

Hydrodynamik: Inhalt

(vorläufig; Kap. 2 ggf. komprimiert)

1. Einführung

2. Ideale Fluide

2.1 Kontinuitätsgleichung

2.2 Eulersche Gleichung

2.3 Bernoullische Gleichung

2.4 Euler-Gleichung im einkomponenten Fall; Beispiel

2.5 Hydrostatik (Pascalscher Gesetz; Zentrifuge)

2.6 Energie- und Impulsatz

2.7 Zirkulation (Thomsonscher Satz)

2.8 Potentialströmungen

2.9 Inkompressible Fluide; Beispiel Rayleigh

2.10 Wellen

2.11 Stoßwellen

3. Viskose Fluide

- 3.1 Navier-Stokes Gleichung
- 3.2 Energiedissipation
- 3.3 Hagen-Poiseuillesches Gesetz
- 3.4 Reynoldsche Zahl, Turbulenzkriterium
- 3.5 Strömungen mit kleinem Re :
Stokesche Formel, Oseen'sche Gleichung
- 3.6 Laminarer Nachlauf
- 3.7 Beispiel exakte Lösung: Rotierende Scheibe

4. Turbulenz

- 4.1 Stabilität stationärer Strömungen;
Instabilitäten (Taylor-Couette, Rayleigh-Bénard)
- 4.2 Die doppelte Schallwelle der Turbulenz
- 4.3 Entwickelte Turbulenz; Selbstähnlichkeit
- 4.4 Beispiel: Turbulenz in astrophysikalischen
Umgebungen

5. Grenzschichten

5.1 Laminare Grenzschicht

5.2 Turbulente Grenzschicht

6. Wärmeleitung

6.1 Die Wärmeleitungsgleichung

6.2 Wärmeleitung in inkompressiblen Medien

6.3 Wärmeleitung in unperfekten Medien

6.4 Konvektion

7. Diffusion

7.1 Diffusion in Flüssigkeits-Lösungen

7.2 Brownsche Bewegung

7.3 Diffusion in relativistischen Systemen:
Schwartzonenreaktionen

8. Relativistische Hydrodynamik

9. Astrophysikalische Hydrodynamik

10. Hydrodynamik der Superflüssigkeiten

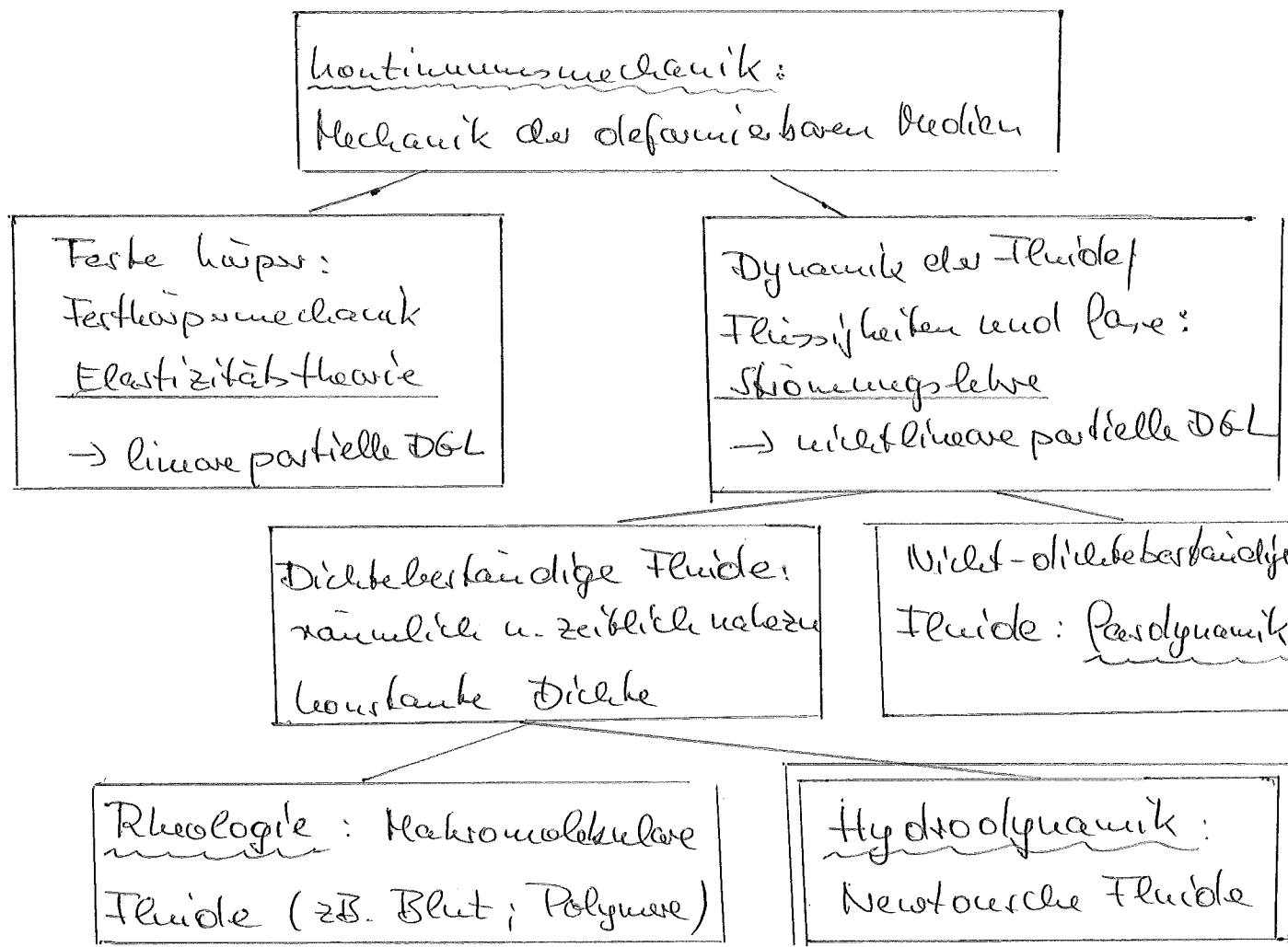
10.1 Grundlagen

10.2 hydrodynamische Gleichungen für He II

10.3 Schallausbreitung in Superfluiden

1. Einleitung

Die Hydrodynamik ist ein Reichtum der kontinuumsmechanik: die Mechanik der deformierbaren Medien.



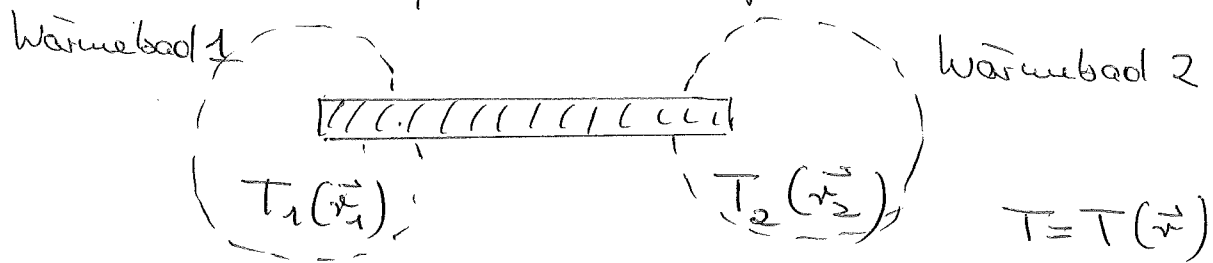
⇒ Die Strömungstheorie (Dynamik der Fluide) umfasst mehrere Reichtümer der Physik:

- 1) Hydrodynamik für einfache („Newton'sche“) Fluide wie Wasser
- 2) Rheologie: makromolekulare Fluide wie Polymere, Flüssigkeiten, Blut usw., die sich wegen der komplizierteren Struktur der Moleküle anders als einfache Fluide verhalten.
- 3) Pseudodynamik: Nicht-dichtebeständige Fluide (Fäne,

Während sie die Thermodynamik v.a. mit Systemen im thermodynamischen Gleichgewicht beschäftigt ("Gleichgewichts-Thermodynamik"), ist in der Schönungslehre der wärmelike endozeitliche Verlauf von Prozessen in Systemen von Interesse, die sich nicht im Gleichgewicht befinden.

⇒ die globalen Zustandsgrößen der Gleichgewichts-Thermodynamik wie Druck p und Temperatur T sind nicht mehr ausreichend.

Beispiel: Stab an beiden Enden durch Einhecken in Wärmebäder auf unterschiedliche Temperaturen bringen



Jetzt den Stab von den Wärmebädern isolieren
⇒ die Temperatur wird auch eine Funktion der Zeit,

$$T = T(\vec{r}, t).$$

Dabei sind kleine, aber makroskopische Teilstücke zur Zeit t in einer Umgebung des Ortes \vec{r} im lokalen Gleichgewicht.

Wird der Stab (oder ein anderes abgeschlossenes Reaktorsystem) sich selbst überlassen, geht er schließlich in ein globales Gleichgewicht über.

Bei er elastiz kommt, gelten zwischen den Zustandsfeldern die gleichen Zusammenhänge wie in der Gleichgewichts-Thermodynamik.

Z.B. gilt für ein ideales Gas im lokalen Gleichgewicht

die Zustandsgleichung

$$\boxed{p(\vec{r}_i, t) V(\vec{r}_i, t) = k T(\vec{r}_i, t)}$$

mit dem lokalen Druck $p(\vec{r}_i, t)$ und dem spez. Volumen $V(\vec{r}_i, t)$.

Gibt es Bewegungen im Inneren des Systems, ist zur Zustandsbeschreibung auch ein Flussvektorkomponentenfeld erforderlich

$$\boxed{\vec{\vartheta}(\vec{r}_i, t)}$$

bzw. ein Stromdichtefeld $\boxed{\vec{j}(\vec{r}_i, t)}$
 $= g(\vec{r}_i, t) \vec{\vartheta}(\vec{r}_i, t)$

Die Beschreibung eines räumlichen und zeitlichen unveränderlichen Systems auf der Basis der Annahme des lokalen Gleichgewichts nennt man die "hydrodynamische Beschreibung".

Auf der Basis dieses Beschreibungs soll in der VL die Hydrodynamik im engeren Sinn (für Newtonsche Fluide) dargestellt werden.

Die Substanzen werden dabei - anders als in der kinetischen Partie und der molekularen Hydrodynamik - als kontinuum angesehen, obwohl sie definierte molekulare Strukturen (\rightarrow Rheologie) nicht berücksichtigt.

\Rightarrow Ein infinitesimaler Volumenelement in der Hydrodynamik ist leicht gegenüber dem Volumen des betrachteten Körpers, aber groß im Vergleich zu den zwischenmolekularen Volumina.
 \Rightarrow jeder Volumenelement dV enthält genug viele Moleküle für eine kontinuierliche Beschreibung)

Der Zustand einer bewegten Flüssigkeit wird dann durch 5 Proßen vollständig festgelegt:

- Geschwindigkeitsverteilung $\langle \vec{u}(\vec{r}, t) \rangle$ - Komponenten
- Zwei beliebige thermodynamische Proßen, die über die Zustandsgleichung der Substanz alle anderen thermod. Proßen festlegen. Wählbar
 - Druck $\langle p(\vec{r}, t) \rangle$
 - Dichte $\langle \rho(\vec{r}, t) \rangle$

⇒ Das vollständige Gleichungssystem der Hydrodynamik muss elementweise 5 Gleichungen enthalten.

Für eine ideale Flüssigkeit (keine Viskosität, sind also keine Wärmeleitfähigkeit)

- Die Euler-Gleichungen (3 Grav.)
- Die Kontinuitätsgleichung
- Die Auftriebsgleichung ($S = \text{const}$: kein Wärmeaustausch mit der Umgebung).

Während in der Elektrodynamik für Festkörper die Probleme oft mit linearen partiellen DGLs formulierbar und damit lösbar sind, ist das in der Hydrodynamik nicht der Fall: die Gleichungen sind nichtlinear und nur selten exakt lösbar. Die Entwicklung der Hydrodynamik erfolgte auch deshalb in engerem Kontakt zum Experiment.

2. Ideale Fluide

haben keine Viskosität

und keine Wärmeleitfähigkeit, Herleitung
der Kontinuitätsgleichungen:

2.1 Kontinuitätsgleichung

sie drückt die Erhaltung der Dichte in
der Hydrodynamik aus und gilt auch
für viskose Fluide.

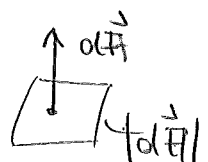
Dichte ρ , Volumen V_0 , Dichte $\int \rho dV$

Fluss durch die Oberfläche von V_0 : $\vec{\rho} \vec{v} d\vec{A}$

$|d\vec{A}| = \text{Fläche des Flächenelements}$

$d\vec{A}$ in Richtung der äußeren Normale

$\Rightarrow \vec{\rho} \vec{v} d\vec{A} > 0$ für Fluss aus dV heraus
 < 0 " " " in dV hinein



$\Rightarrow \oint \vec{\rho} \vec{v} d\vec{A}$ fließt pro Zeiteinheit aus V_0 heraus

(Integral über die geschlossene Oberfläche von V_0)

Die gleichzeitige Abnahme der Flüssigkeitsmenge
in V_0 ist

$$-\frac{\partial}{\partial t} \int_{V_0} \rho dV \Rightarrow \text{gleichsetzen ergibt}$$

$$-\frac{\partial}{\partial t} \int_{V_0} \rho dV = \oint \rho \vec{v} d\vec{A}$$

* Oberflächenintegral mit dem
Pengischen Satz in Volumenintegral
umformen: $\int \vec{\nabla} \cdot \vec{a} dV = \oint \vec{a} d\vec{A}$

mit dem Nabla-Operator $\vec{\nabla} = \left(\frac{\partial}{\partial x}, \frac{\partial}{\partial y}, \frac{\partial}{\partial z} \right)$

ist $\vec{\nabla} \vec{a} = \text{div} \vec{a} = \frac{\partial a_x}{\partial x} + \frac{\partial a_y}{\partial y} + \frac{\partial a_z}{\partial z}$

$$\Rightarrow -\frac{\partial}{\partial t} \int_{V_0} p \, dV = \int \vec{\nabla}(p \cdot \vec{v}) \, dV$$

$$\Rightarrow \int_{V_0} \left[\frac{\partial p}{\partial t} + \vec{\nabla}(p \cdot \vec{v}) \right] \, dV = 0 \quad \forall V_0$$

$$\Rightarrow \boxed{\frac{\partial p}{\partial t} + \vec{\nabla}(p \cdot \vec{v}) = 0} \quad \text{Kontinuitätsgleichung}$$

Mit $\vec{\nabla}(p \vec{v}) = p \cdot \vec{\nabla} \vec{v} + \vec{v} \vec{\nabla} p = p \text{div} \vec{v} + \vec{v} \text{grad} p$

lässt sich die KG auch schreiben als

$$\boxed{\frac{\partial p}{\partial t} + p \vec{\nabla} \vec{v} + \vec{v} \vec{\nabla} p = 0}$$

Oder mit dem Stromdichtevektor

$$\vec{j} = p \cdot \vec{v} \quad \text{als}$$

$$\boxed{\frac{\partial p}{\partial t} + \vec{\nabla} \cdot \vec{j} = 0}$$

KG; Richtung von \vec{j} = Richtung von \vec{v} ;

$|\vec{j}|$ = Flussdichte, die pro Zeiteinheit durch eine zw. Perpendiculärheit \perp Flächeneinheit fließt.

2.2 Eulerische Fließgleichung

Auf die geschlossene Oberfläche einer Flüssigkeitsvolumen V_0 wirkt die Kraft

$$\vec{F} = - \oint p d\vec{l} \Rightarrow \text{Umwandlung in ein Volumen-}\text{integrale mit dem Poyntingschen Satz}$$

$$= - \int_V \nabla p dV = - \int_{V_0} \text{grad } p dV$$

d.h. auf jeder Volumenelement dV wirkt die Kraft $\nabla p dV$.

Bewegungsgleichung für ein Volumenelement:

Kraft pro Volumeneinheit = Dichte \times Beschleunigung

$$-\nabla p = \rho \frac{d\vec{v}}{dt}$$

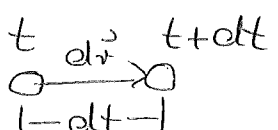
Dabei ist $\frac{d\vec{v}}{dt}$ nicht allein die (lokale) Geschwindigkeitsänderung des Fluids in einem festen Raumspunkt, sondern eines sich im Raum bewegenden Fluidelementes im Zeitintervall dt .

$\Rightarrow \frac{d\vec{v}}$ hat 2 Anteile:

(1) Änderung im Raumpunkt \vec{r} während dt

$$\frac{\partial \vec{v}}{\partial t} dt \quad \text{"lokale Ableitung"}$$

bei konstantem $\vec{r} = (x, y, z)$



(2) Differenz der Geschwindigkeiten zum gleichen Zeitpunkt in zwei Raumpunkten mit Abstand $d\vec{r}$ (\equiv dem $\frac{dr}{dt}$ zurückgelegten Weg):

$$\Rightarrow dx \frac{\partial \vec{v}}{\partial x} + dy \frac{\partial \vec{v}}{\partial y} + dz \frac{\partial \vec{v}}{\partial z} = (\vec{dr} \cdot \vec{\nabla}) \vec{v}$$

"konektive Ableitung"

$\Rightarrow (1) + (2)$ ergibt die infinitesimale Geschwindigkeitsänderung

$$d\vec{v} = \frac{\partial \vec{v}}{\partial t} dt + (\vec{dr} \cdot \vec{\nabla}) \vec{v} \quad | : dt$$

\Rightarrow "substanzielle Ableitung" (Substanz = bewegtes Fluid)

$$\boxed{\frac{d\vec{v}}{dt} = \frac{\partial \vec{v}}{\partial t} + (\vec{v} \cdot \vec{\nabla}) \vec{v}}$$

Einfügen in die Bewegungsgleichung $\rho \frac{d\vec{v}}{dt} = -\vec{\nabla}p$ ergibt

$$\boxed{\frac{\partial \vec{v}}{\partial t} + (\vec{v} \cdot \vec{\nabla}) \vec{v} = -\frac{\vec{\nabla}p}{\rho}}$$

Euler'sche Gleichung für
ideale Fluide.

↓
Konvektionsglied

Leonhard Euler, 1755

[*1707 Basel – 1783 St. Petersburg]

Die Nichtlinearität im Konvektionsglied erschwert

die Integration erheblich: das Superpositionsprinzip
(für lineare DGL) gilt hier nicht.

Die Nichtlinearität ist wesentlich verantwortlich für
die Vielzahl hydrodynamischer Phänomene, und
– unter bestimmten Bedingungen – für den Übergang
zu chaotischem (turbulentem) Verhalten.

Im Schwerefeld wirkt auf jede Volumeneinheit
zusätzlich die Kraft $\rho \cdot \vec{g}$, so dass

$$\frac{\partial \vec{v}}{\partial t} + (\vec{v} \cdot \vec{\nabla}) \vec{v} = - \frac{\vec{\nabla} p}{\rho} + \vec{g}$$

Euler-Gleichung im
Schwerefeld

Die Gleichung gilt für ideale Fluide, bei denen Wärmeleitung
und Zähligkeit vernachlässigbar sind. Reale Prozesse
erzeugen Einigkeitsapproximation. Ohne sie ist die Bewegung
in jedem Teil der Flüssigkeit adiabatisch: Die Entropie
jedes Flüssigkeitselementes bleibt bei der Bewegung im
Raum konstant.

Mit $s = \frac{\text{Entropie}}{\text{Masseneinheit}} \Rightarrow \frac{ds}{dt} = 0$

analog zu $\frac{du}{dt}$ gilt hier für die lokale Zeitableitung
(= Entropiekänderung eines sich bewegenden Fluidelements)

$$\frac{ds}{dt} = \frac{\partial s}{\partial t} + \vec{v} \cdot \vec{\nabla} s = 0$$

Adiabatengleichung

lokale homogene Ableitung

Mit der Kontinuitätsgleichung $\frac{\partial \rho}{\partial t} + \vec{\nabla}(\rho \cdot \vec{v}) = 0$
lässt sie sich als "Kontinuitätsgleichung für die
Entropie" schreiben,

$$\frac{\partial(p \cdot s)}{\partial t} + \vec{\nabla}(p \cdot s \cdot \vec{v}) = 0$$

mit der Entropiestromdichte $p \cdot s \cdot \vec{v}$.

Beweis durch ausdifferenzieren und Einsetzen der LG:

$$\rho \cdot \frac{\partial s}{\partial t} + s \frac{\partial \rho}{\partial t} + (\rho \cdot \vec{v}) (\vec{\nabla} s) + s \vec{\nabla} (\rho \vec{v}) = 0$$

$\boxed{= 0 \quad (\text{kontinuitätsgl.})}$

$= 0 \quad (\text{Adiabaten-}\text{fl.})$

Oft vereinfacht sich die Adiabaten-Gleichung:

Ist alle Entropie anfangs in allen Punkten des Flüssigkeitsvolumens gleich, so bleibt sie auch während der weiteren Bewegung der Flüssigkeit zeitlich unverändert:

$$s(\vec{r})|_{t=0} = \text{const} \Rightarrow s(\vec{r}, t) = \text{const. } \forall t$$

"isentrope" (oder homentrope) Bewegung.

Für diesen Fall lässt sich mit der Enthalpie w (para. Distanzfreiheit) die Euler-Gleichung vereinfachen,

$$dw = \underbrace{T ds}_{\substack{\text{innere} \\ \text{Energie}}} + \underbrace{V dp}_{\substack{\text{Verdrängungs-} \\ \text{arbeit}}} \quad , \quad V = \frac{1}{\rho} \text{ spezifischer Volumen}$$

$T = \text{Temperatur}$

mit $s = \text{const} \Rightarrow ds = 0$

$$\Rightarrow dw = V dp = \frac{dp}{\rho}$$

$$\boxed{\vec{\nabla} w = \frac{1}{\rho} \vec{\nabla} p} \quad \text{und die Euler-fl. } \frac{\partial \vec{v}}{\partial t} + (\vec{v} \vec{\nabla}) \vec{v} = - \frac{1}{\rho} \vec{\nabla} p$$

wird

$$\boxed{\frac{\partial \vec{v}}{\partial t} + (\vec{v} \vec{\nabla}) \vec{v} = - \vec{\nabla} w}$$

(Die Enthalpie wird wirklich bei isobaren Prozessen).

(bzw. im Schwerkraftfeld: $= -\vec{\nabla} w + \vec{g}$)

Durch Bilden der Rotation auf beiden Seiten, mit $\vec{\nabla} \times \vec{\nabla} = 0$, und

$$(\vec{\omega} \vec{\nabla}) \vec{v} = \frac{\vec{\nabla} v^2}{2} - \vec{\omega} \times (\vec{\nabla} \times \vec{v})$$

lässt sich der isentropen Fall die Euler-Gleichung in eine Gleichung umschreiben, die nur das Geschwindigkeitsfeld $\vec{v}(r, t)$ enthält:

$$\frac{\partial}{\partial t} (\vec{\nabla} \times \vec{v}) = \vec{\nabla} \times [\vec{\omega} \times (\vec{\nabla} \times \vec{v})]$$

Euler-Gleichung
für isentrope
Bewegung *

Dazu kommt bei inhomogenen
Flüssigkeiten die Bedingung ($wg \cdot g = \text{const.}, kG \Rightarrow$)

$$\vec{\nabla} \vec{v} = 0 \quad | \quad \text{der Unterschied kompressibel/inkompressibel fällt erst in der Nähe der Schallgeschwindigkeit ins Gewicht.}$$

sowie die Randbedingungen
die Geschwindigkeitskomponente
der Flüssigkeit senkt sich zw.

$$\begin{cases} v_1 = 0 \\ \vec{v} \end{cases}$$

Wand verschwindet, $v_1 = 0$. an Rand der Fluide
"das Fluid kann nicht in die Wand eindringen"
bzw. bei zwei nicht mischenden Flüssigkeiten:

$$v_1^1 = v_1^2 = v_{\perp}^{\text{Grenzfläche(1-2)}}$$

* für $s \neq \text{const.}$ ist das i.a. nicht möglich,
da $\vec{\nabla} \times \left(\frac{\vec{\nabla} p}{\rho} \right) \neq 0$.

In der Euler-Gleichung (*) für die isentrope Bewegung fällt ein gravitationskun weg, da

$$\vec{F}_g = m\vec{g} = -\vec{\nabla}U, \text{ und } \vec{\nabla} \times \vec{\nabla}U = 0 :$$

In der nur durch das Geschwindigkeitsfeld bestimmten Form der Euler-Gleichung gibt es keine Abhängigkeit von konserativen (= als Gradient eines Potentials darstellbaren) äusseren Kräften.

Der Einfluss des äusseren Kraft kann sich jedoch den Randbedingungen beim Lösen der DGL bewirken machen.

2.3 Bernoullische Gleichung

Bei einer stationären Strömung ist die Strömungs-Geschwindigkeit in jedem Raumpunkt, den das Fluid einnimmt, zeitlich konstant:

$$\frac{\partial \vec{v}}{\partial t} = 0$$

Die Eulersche Gleichung in der Form

$$\frac{\partial \vec{v}}{\partial t} - \vec{v} \times (\vec{\nabla} \times \vec{v}) = -\vec{\nabla} \left(w + \frac{v^2}{2} \right), \quad w = u + pV \\ = T \cdot s + \frac{p}{\rho}$$

wird dann

$$\boxed{\vec{\nabla} \frac{v^2}{2} - \vec{v} \times (\vec{\nabla} \times \vec{v}) = -\vec{\nabla} w}$$

Davon lässt sich die Bernoulli'sche Gleichung

ableiten:

$$\frac{v^2}{2} + w = \text{const.}$$

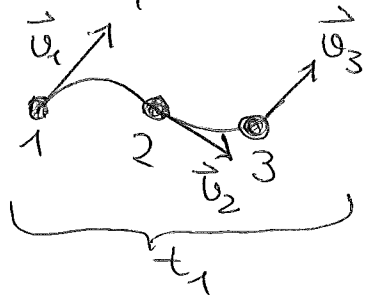
Daniel Bernoulli, 1738
("Hydrodynamica", Baselburg)

Der Wert der Konstanten ist i. a. verschieden für verschiedene Strömungen.

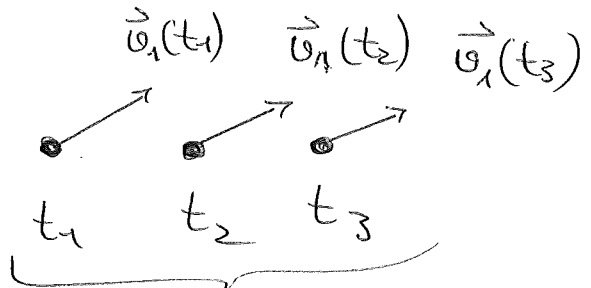
Sie stimmen bei stationären Strömungen mit den Bahnenwegen der Flüssigkeitsteilchen überein - bei einer nichtstationären Strömung ist das nicht der Fall:

Die Tangenten an die Strömungslinien geben die Richtung des Reibungsfreiheitsvektors zu gegebenem Zeitpunkt (für verschiedene Fluidteilchen in aufeinanderfolgenden

Raumpunkten).



Stromlinie



Bahnebene

Die Tangenten an die Bahnen geben die Richtungen von \vec{v} bestimmter Flüssigkeitsteilchen in aufeinander folgenden Zeitpunkten an.

Im Schwerkraftfeld muss in der Euler-Gleichung und entsprechend in der Bernoulli-Gleichung \vec{g} ergänzt werden (in z -Richtung):

$$\frac{v^2}{2} + w + g \cdot z = \text{const}$$

D. Bernoulli fand die Gleichung jedoch nicht durch Ableitung aus der (damals noch unbekannten) Euler-Gleichung, sondern direkt aus dem Energiesatz als

$$\rho \frac{v^2}{2} + p + \rho g z = \text{const}$$

kinetische Energie
pro Volumeneinheit

Druck: pol.
Energie der
inneren Kräfte

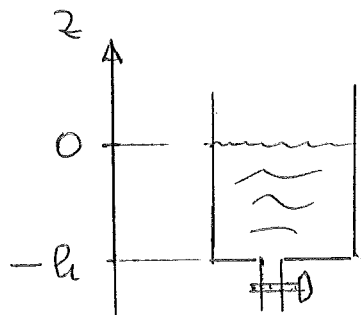
pol. Energie der
äußeren Kraft
pro Volumeneinheit

Die Bernoullische Gleichung hat weitläufige Anwendungen in Turbulenztheorie, der Aerodynamik usw.

Obwohl ihre Ableitung aus der Euler-Gleichung (s. detailliert) zunächst nur für stationäre Phänomene gilt, lässt sie die BG auch auf nichtstationäre Phänomene verallgemeinern.

Bsp. ① Aus der Bernoulli'schen Gleichung folgt das

Torricellische Theorem, das Toricelli - ein Schüler Galileis -
 ~100 Jahre vor Bernoulli fand (Evangelista Toricelli; 1608-47)



Reagenz mit Hahn

Hahn geschlossen $\Rightarrow u = 0$ im ganzen Reagenz
 $p = 0$ (Überdruck über
 Atmosphärendruck) an
 der Oberfläche, $z = 0$

Bernoullische fl. \Rightarrow für $z = 0$: const = 0

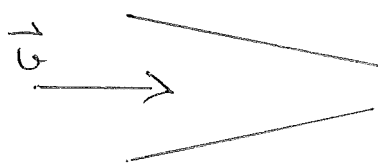
\Rightarrow am Boden: $p = \rho \cdot g \cdot h$, hydrostatischer Druck

Hahn öffnen \Rightarrow

$$\text{an der Öffnung } p = 0 \Rightarrow \frac{u^2}{2} = gh \Rightarrow \boxed{u = \sqrt{2gh}}$$

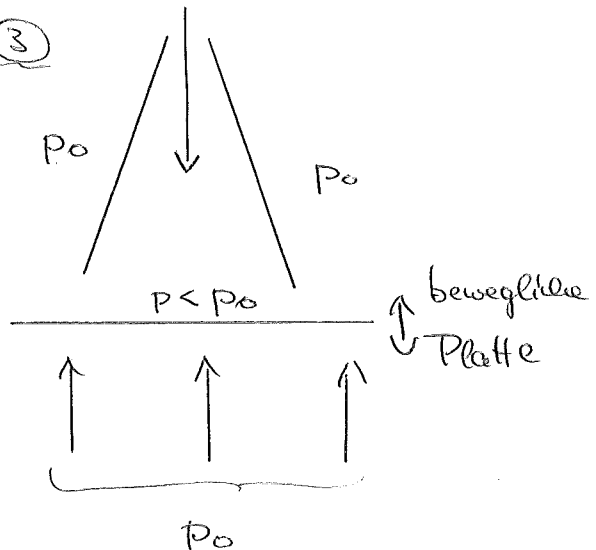
Die einfache Anwendung des Erwähnten ist Bernoulli

② Stationäre Strömung durch eine horizontale Röhre von
 veränderlichem Querschnitt.



Bei Inkompressibilität ist die Durchflussmenge in jedem Querschnitt dieselbe
 $\Rightarrow u$ nimmt bei abnehmendem Querschnitt zu, bei zunehmendem ab; nach Bernoulli
 $\left[\rho \frac{u^2}{2} + p = \text{const} \right]$ verhält sich der Druck umgekehrt.

(Eine Menschenmenge in einer sehr verengenden Passage
 verhält sich gegensätzlich: die Geschwindigkeit
 nimmt ab, der Druck zu).

Bsp. ③

Pressluft strömt durch einen Kanal mit zunehmendem Querschnitt gegen eine bewegliche gelagerte Platte
⇒ die Platte wird angehoben.

Grund: Im Kanal nimmt die Geschwindigkeit des Lufthafts ab, also Druck wg. Bernoulli/Energieeratz zu. Am Kanalende herrscht Atmosphärendruck p_0 , kurz davor (im Kanal) also $p < p_0 \Rightarrow$ es entsteht eine Saugwirkung von oben, die Platte wird angehoben (stark vereinfachte Darstellung).

2.4 Euler-Gleichung im linearisierten Fall

$$\frac{\partial \vec{v}}{\partial t} + (\vec{v} \vec{\nabla}) \vec{v} = - \frac{\vec{\nabla} p}{\rho} + \vec{g} \quad \text{EG}$$

$$\frac{\partial \vec{v}}{\partial t} + \vec{\nabla}(\rho \vec{v}) = 0 \quad \text{kG}$$

für ideale kompressive Fluide ist $\vec{\nabla} \vec{v} \neq 0$

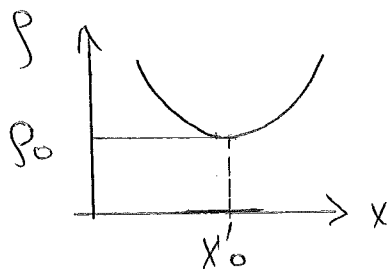
Linearisierung: z.B. bei kleinen harmonischen Luftschwingungen in der Akustik

$$\frac{d\vec{v}}{dt} = \frac{\partial \vec{v}}{\partial t} + (\vec{v} \vec{\nabla}) \vec{v} \approx \frac{\partial \vec{v}}{\partial t}$$

⇒ $\frac{d^2 \vec{v}}{dt^2}$ quadratischenglied

Beispiel Akustik: ρ gemessen als Abweichung vom Atmosphärendruck p_0

ρ durch Normalwert ρ_0 der Dicke der ungestörten Atmosphäre ersetzen.



$$\rho = \rho_0 + \left\{ \frac{\partial \rho}{\partial x} \right\}_{x_0} + \frac{c^2}{2} \left. \frac{\partial^2 \rho}{\partial x^2} \right|_{x_0} + \dots = 0$$

(kleine Prozesse 2. Ordnung vernachlässigen)

$$\Rightarrow \boxed{\begin{aligned} p_0 \frac{\partial \vec{v}}{\partial t} + \vec{\nabla} p &= 0 \\ \frac{\partial p}{\partial t} + p_0 \vec{\nabla} \cdot \vec{v} &= 0 \end{aligned}} \quad \left. \begin{array}{l} \text{Euler fl.,} \\ \text{linearisiert} \\ \text{haut. fl.} \end{array} \right\} \quad \text{4 lineare Gleichungen}$$

d.h. die Beschreibung wertet auf zeitliche Änderungen der Dicke an einem festen Ort x_0 hinaus.

Zusammenhang von Druck p und Dicke ρ aus der Thermodynamik erläutern:

Bei isothermen Zustandsänderungen ist

$$\vec{\nabla} p = c^2 \vec{\nabla} \rho \Rightarrow \text{Wer } \boxed{c \approx \sqrt{\frac{p_0}{\rho_0}}} \quad \text{Schallgeschwindigkeit}$$

Auf Meereshöhe ist $\rho_0 = 1.2928 \frac{\text{kg}}{\text{m}^3}$ $\left(\frac{\text{N}}{\text{m}^2} = \frac{\text{kg}}{\text{m} \cdot \text{s}^2} \right)$

$$p_0 = 101325 \text{ Pa} \approx 10^5 \text{ Pa}$$

$$p_0 = 1013.25 \text{ hPa}$$

$$\Rightarrow c = \sqrt{\frac{101325}{1.2928}} \frac{\text{m}}{\text{s}} \approx 279.96 \frac{\text{m}}{\text{s}}$$

Exp. Werte von c im Luft:

T ($^{\circ}\text{C}$)	c ($\frac{\text{m}}{\text{s}}$)
0	332
10	338
20	344
30	350

d.h. der isotherme Wert von $280 \frac{\text{m}}{\text{s}}$ ist wesentlich zu klein, da bei einem schnellen Wechsel der Luftgeschwindigkeit kein Wärmeaustausch möglich ist und deshalb die Zustandsänderung bei der Schallausbreitung nicht isotherm ist, sondern adiabatisch:

$$PV^k = \text{const}$$

adiabat. Zustandsgleichung

der Adiabatenkoefizient ist der Quotient der spezifischen Wärmekapazitäten,

$$k = \frac{C_p}{C_v} = 1 + \frac{2}{f}$$

f = Anzahl der Freiheitsgrade,

$f = 5$ für zweiatomige Gase
(3 Transl., 2 Rotation)

$$\Rightarrow k = \frac{7}{5} = 1.4$$

$f = 3$ für einkatomige Gase,

$$k = \frac{5}{3}$$

$$\left(\frac{\partial p}{\partial s}\right) = k \frac{P_0}{s_0} \approx c^2$$

$$c = \sqrt{k \frac{P_0}{s_0}} = \sqrt{1.4 \cdot 279.96} \frac{\text{m}}{\text{s}} \approx 331.25 \frac{\text{m}}{\text{s}}$$

in gutes Übereinstimmung mit dem exp. Wert.

[Für polytrope Prozesse gilt allgemein $PV^x = \text{const.}$,
 $x=0$ isobar, $x=1$ isotherm, $x=k$ adiabatisch, $x \rightarrow \infty$ isochor].

Die linearisierbaren Gleichungen werden mit der Schallgeschwindigkeit c :

$$p_0 \frac{\partial \vec{v}}{\partial t} + c^2 \vec{\nabla} p = 0$$

dividens \vec{v} eliminieren:

KG partiell nach t differenzieren,

$$\frac{\partial^2 p}{\partial t^2} + \vec{\nabla} p_0 \cdot \frac{\partial \vec{v}}{\partial t} = 0 \Rightarrow p_0 \frac{\partial \vec{v}}{\partial t} \text{ in Eule fl.} \Rightarrow$$

$$\Rightarrow \frac{\partial^2 p}{\partial t^2} = c^2 \Delta p$$

Dieselbe Gleichung gilt für p ,
d.h. $\vec{\nabla} p$ und Δp , $\frac{\partial p}{\partial t^2}$ ist
auf c^2 gleich, also mit p
gebildeten Größen scha

$$\frac{\partial^2 p}{\partial t^2} = c^2 \Delta p$$

=> Schallausbreitungsgleichung,

wie bei der schwingenden Saite
mit $\Delta = \frac{\partial^2}{\partial x^2}$, oder der

schwingenden Membran mit

$$\Delta = \frac{\partial^2}{\partial x^2} + \frac{\partial^2}{\partial y^2}$$

- 2 ②

Lösung: hier - analog zur Saite - nur eine Koordinate beachten:

$$\frac{\partial^2 p}{\partial t^2} = c^2 \frac{\partial^2 p}{\partial x^2}$$

Integration durch die sog. ältere Lösung,

$p(x,t) = F_1(x+ct) + F_2(x-ct)$ mit willkürlichen reellen Funktionen

$$F_1, F_2$$

mit der Anfangsbedingung für $t=0$

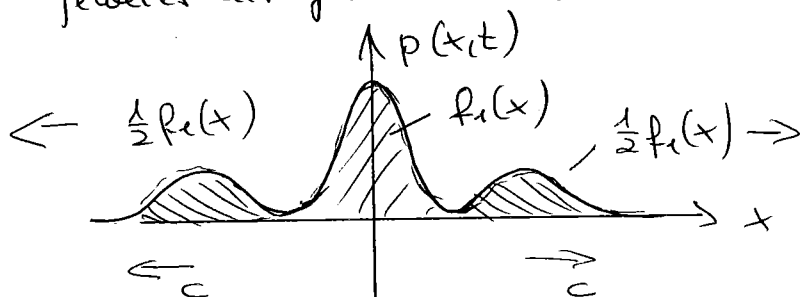
$$p = f_1(x), \quad \frac{\partial p}{\partial t} = f_2(x) \quad \text{wirkt}$$

$$F_1(x) + F_2(x) = f_1(x)$$

$$F_1'(x) - F_2'(x) = \frac{1}{c} f_2(x) \quad \text{Integration ergibt}$$

$$\Rightarrow F_{1,2}(x) = \frac{1}{2} \left[f_1(x) \pm \frac{1}{c} \int_{x_0}^x f_2(\xi) d\xi \right]$$

für $f_2=0$ wandert eine anfängliche Druckstörung $f_1(x)$ zur Hälfte nach rechts, zur Hälfte nach links, jeweils mit Geschwindigkeit c , und ohne Formänderung.



Das entspricht der Ausbreitung eines Geräusches, mit Schallgeschwindigkeit c (analog zu Partikeln, die bei $t=0$ ausgezepft, und dann sich selbst überlassen wirken.)

Die Fortpflanzung ist longitudinal: Transversalwellen gibt es bei idealen Flüssigkeiten nicht.

Bei periodischen Luftschwingungen ist $\omega = \frac{2\pi}{T}$ Weisfrequenz

$$v = \frac{\omega}{2\pi} = \frac{1}{T} \text{ die Frequenz (Schwingungszahl/s, Tonhöhe)}$$

$\Rightarrow F_1, F_2$ sind trigonometrische Funktionen mit Phasen δ, β , Amplituden a, b :

$$F_1(x+ct) = b \cos(kx + \omega t + \beta) : \text{in } -x \text{ Richtung}$$

$$F_2(x-ct) = a \cos(kx - \omega t + \delta) : \text{in } x - "$$

Bei $a=b$ ergibt die Überlagerung eine scheinende Welle.

$$\text{Die Schallgeschwindigkeit ist } v = \frac{\omega}{k} = \frac{\lambda}{T}.$$

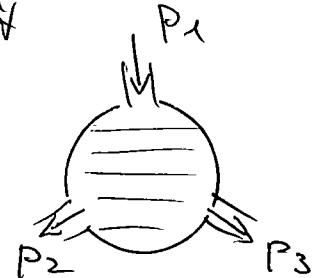
2.5 Hydrostatik

für eine reibende Flüssigkeit ohne äußere Kräfte wird die Euler-Gleichung wg. $\vec{v} \equiv 0$

$$\vec{\nabla} p = 0 \Rightarrow p = \text{const.}$$

Der Druck ist in allen Punkten der Flüssigkeit gleich (im Innen und am Rand):

Pascalsches Gesetz (Blaise Pascal, 1623-62)

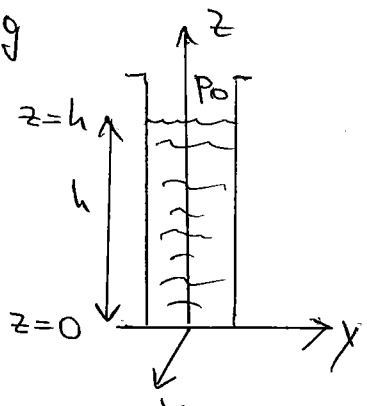


Jur Schwerkraft wird die Euler-Gleichung

$$\vec{\nabla} p = g \cdot \vec{g}$$

für inkompressible Fluide ($\rho = \text{const.}$)

lässt sich die Gleichung integrieren:



$$\frac{\partial p}{\partial x} = \frac{\partial p}{\partial y} = 0$$

$$\frac{\partial p}{\partial z} = -\rho \cdot g$$

$\Rightarrow p = -\rho \cdot g \cdot z = \text{const.}$, mit $\text{const.} = p_0$: Druck an der Oberfläche $z = h \Rightarrow p = p_0$

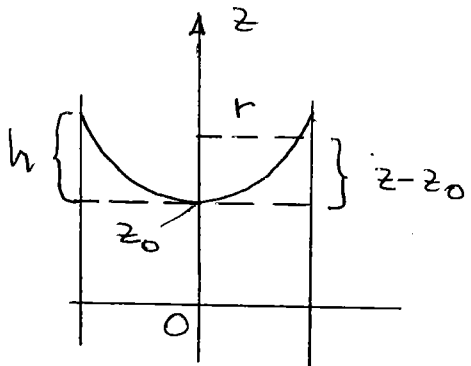
$$\Rightarrow \text{const.} = p_0 + \rho g h$$

$$\Rightarrow p = p_0 + \rho g (h - z)$$

Jur allgemeinen und bes. festem ρ - ist p jedoch nicht konstant; für Fluide im thermischen Gleichgewicht lässt sich die Euler-Gleichung dennoch integrieren.

Bei Rotation des Zylinders: Flüssigkeitsgefüllte Zentrifuge
die mit $\omega = \text{const}$ um die Vertikale rotiert.

Die Zentrifugalkraft hat ein Potenzial und
ermöglicht Gleichgewicht \Rightarrow quasi-statisches Problem



Zentrifugalkraft pro Volumeneinheit

$$F_r = \rho \cdot r \cdot \omega^2$$

Zentrifugalpotenzial

$$U_r = -\frac{1}{2} \rho r^2 \omega^2, \vec{F} = -\vec{\nabla} U$$

\Rightarrow Gesamtpotenzial von Gravitation und Rotation

$$U = \rho g z - \frac{1}{2} \rho r^2 \omega^2 = \rho g \left(z - \frac{r^2 \omega^2}{2g} \right)$$

Mechanische Gleichgewichtsbedingung:

$$\vec{\nabla} p = \vec{F} = -\vec{\nabla} U$$

$$\Rightarrow \vec{\nabla} (p + U) = 0$$

$$p = -U + \text{const} \Leftrightarrow p + U = \text{const.}$$

$$p = \rho g \left(\frac{r^2 \omega^2}{2g} - z \right) + \text{const.}$$

Bestimmung der Konstanten:

z_0 = Wassersstandshöhe bei $r = 0$, p der Überdruck
über dem äquatoralen Atmosphärendruck

$$\Rightarrow 0 = -\rho g z_0 + \text{const} \Rightarrow \text{const} = \rho g z_0$$

$$\Rightarrow p = \rho g \left(\frac{r^2 \omega^2}{2g} + z_0 - z \right)$$

Daraus folgt die Fließkurve der „freien Oberfläche“ mit $p = 0$:

$$z - z_0 = \frac{\omega^2 r^2}{2g}$$

und mit $h = \text{Auftriebshöhe des Wassers am Rand} : r = R$
 $\Rightarrow h = z - z_0$

$\omega = \omega_r$ Bahngeschwindigkeit

$$\Rightarrow h = \frac{\omega^2}{2g} \quad \text{Oberflächenparaboloid}$$

Die Niveauflächen konstanten Druckes sind konzentrische Paraboloiden, die gegen das Oberflächenparaboloid nach unten verschoben sind.

2.6 Energie- und Impulsstrom im Fluid

Die Energie des Fluids pro Volumenelement ist

$$\rho \frac{\omega^2}{2} + p \varepsilon = \text{kinet.} + \text{innere Energie}$$

$(\varepsilon = \text{innere Energie pro Masseneinheit})$

Bei Bewegung folgt die zeitliche Änderung aus der partiellen Ableitung

$\frac{\partial}{\partial t} [\rho \frac{\omega^2}{2} + p \varepsilon] =$. Sie lässt sich aus Kontinuitätsgleichung, Euler-Gleichung, und der thermodynamischen Relation
 $d\varepsilon = T ds + \frac{P}{\rho} d\rho$ berechnen;
man erhält

$$= \dots = - \vec{\nabla} \left[\rho \vec{\omega} \left(\frac{\omega^2}{2} + \varepsilon \right) \right], \quad \omega = \varepsilon + pV = \varepsilon + \frac{P}{\rho}$$

Enthalpie pro Masseneinheit.

Die Energieänderung des Fluids pro Zeiteinheit in einem gegebenen Volumen V ergibt sich durch Integration über dieses Volumen:

$$\frac{\partial}{\partial t} \int_V \left[\rho \frac{v^2}{2} + \rho \epsilon \right] dV = - \int_V \vec{\nabla} \cdot \left[\rho \vec{v} \left(\frac{v^2}{2} + \epsilon \right) \right] dV$$

mit Gaußschem Satz $\int_V \vec{\nabla} \cdot \vec{a} dV = \oint_A \vec{a} \cdot d\vec{A}$
im Oberflächenintegrat verformen:

$$= - \oint_A \rho \vec{v} \left(\frac{v^2}{2} + \epsilon \right) \cdot d\vec{A} =$$

$$= - \oint_A \vec{f} \left(\frac{v^2}{2} + \epsilon \right) \cdot d\vec{A}$$

$\hat{1}$ Energieenge, die pro Zeiteinheit aus dem betrachteten Volumen V durch diesen Begrenzungsfäche Fließt.

$\Rightarrow \rho \vec{v} \left(\frac{v^2}{2} + \epsilon \right) = \vec{f} \left(\frac{v^2}{2} + \epsilon \right)$ = Vektor der Energiestromdichte,

Das Fluid mit Staudichte $\vec{f} = \rho \cdot \vec{v}$ führt pro Masseneinheit bei einer Bewegung die Energie

$\frac{v^2}{2} + \epsilon$ mit sich: hier steht die Enthalpie aus aller der inneren Energie: $\epsilon = E + \frac{P}{\rho}$

$$\Rightarrow \frac{\partial}{\partial t} \int_V \left[\rho \frac{v^2}{2} + \rho \epsilon \right] dV = - \oint_A \rho \vec{v} \left(\frac{v^2}{2} + \epsilon \right) d\vec{A} - \oint_A \rho \vec{v} \cdot d\vec{A}$$



Kinet.+ innre Energie, die pro Zeiteinheit durch die Oberfläche transportiert wird

Arbeit, die von den Druckkräften an der Flüssigkeit innerhalb der geschlossenen Oberfläche geleistet wird

Impulsstrom

Der Impulsstrom folgt analog aus Kontinuitätsgleichung, Euler-Gleichung, und thermodyn. Relationen:

$$\rho \cdot \vec{v} = \text{Impuls pro Volumeneinheit}$$

$$\frac{\partial}{\partial t} (\rho \vec{v}) = \text{geschwindigkeit der Impulsänderung}$$

$$\Rightarrow \frac{\partial}{\partial t} \int_V \rho \vec{v} dV = \dots = - \int_V \nabla [p + \rho v^2] dV \\ = - \oint_{\Gamma} [p + \rho v^2] d\vec{l}$$

$$\Rightarrow \boxed{p + \rho v^2} \quad \text{Dichte des Impulsstromes durch die Oberfläche.}$$

$$[p v^2] = \frac{\text{kg}}{\text{m s}^2}$$

2.7 Zirkulation, Thomssothscher Satz

Die Zirkulation längs einer geschlossenen Kurve ist definiert als ($d\vec{l}$ = Linenelement auf der Kurve)

$$\Gamma = \oint \vec{v} d\vec{l}$$

Bei Bewegung des Fluids entlang \vec{v} und die gestalt der Kurve; wie verhält sich die Zirkulation?

$$\frac{d}{dt} \oint \vec{v} d\vec{l} ?$$



totale Zeitableitung: Änderung der Zirkulation längs einer zirk. bewegenden Flüssigkeitskurve, nicht längs einer raumfesten.

δ : Differenziation nach den Ortskoordinaten

d : \hookrightarrow \hookrightarrow über Zeit

$d\vec{r}$: Linienelement auf der Kurve; als Differenz

$\delta\vec{r}$ der Ortsvektoren \vec{r}_i schreiben:

$$\Gamma = \oint \vec{v} d\vec{r}$$

$$\frac{d\Gamma}{dt} = \frac{d}{dt} \oint \vec{v} d\vec{r} = \oint \frac{d\vec{v}}{dt} d\vec{r} + \oint \vec{v} \frac{d}{dt} d\vec{r}$$

$$\text{es ist } \vec{v} \frac{d}{dt} d\vec{r} = \vec{v} \delta \frac{d\vec{r}}{dt} = \vec{v} \delta \vec{v} = \delta \frac{\vec{v}^2}{2}$$

und $\oint \delta \frac{\vec{v}^2}{2} = 0$ (das Integral über eine vollständig geschlossene Kurve verschwindet)

$$\Rightarrow \frac{d\Gamma}{dt} = \frac{d}{dt} \oint \vec{v} d\vec{r} = \oint \frac{d\vec{v}}{dt} d\vec{r}$$

Für isentrope Bewegungen ist die Beschleunigung

$$\ddot{\vec{a}} = \frac{d\vec{v}}{dt} = \frac{\partial \vec{v}}{\partial t} + (\vec{v} \vec{\nabla}) \vec{v} = -\vec{\nabla} w$$

und mit der Stokeschen Formel lässt sich das Kurvenintegral in ein Flächenintegral überführen,

$$\oint \vec{a} d\vec{r} = \int_{F} (\vec{\nabla} \times \vec{a}) d\vec{F} \Rightarrow$$

$$k \quad F$$

$$\oint \frac{d\vec{v}}{dt} d\vec{r} = \int_{F} \vec{\nabla} \times \left(\frac{d\vec{v}}{dt} \right) d\vec{F} \stackrel{\uparrow}{=} 0$$

wg. $\frac{d\vec{v}}{dt} = -\vec{\nabla} w$, und $\vec{\nabla} \times \vec{\nabla} = 0$; \checkmark

gilt wg. $\vec{\nabla} \times \vec{g} = 0$ auch im Schwerkfeld.

$$\Rightarrow \frac{d}{dt} \oint \vec{v} d\vec{l} = 0$$

$$\Rightarrow \Gamma = \oint \vec{v} d\vec{l} = \text{const}$$

Thomson'scher Satz (W. Thomson, 1869)

"Erhaltungssatz für die Zirkulation"

In einer idealen Flüssigkeit ist die Zirkulation längs einer geschlossenen Kurve bei 'berührbarer' Strömung konstant.

Auf eine unendlich kleine geschlossene Kurve kann angewendet, Integral mit der Stokeschen Formel umformen:

$$\oint \vec{v} d\vec{l} = \int_{\partial F} \vec{\nabla} \times \vec{v} dF \approx \partial F \vec{\nabla} \times \vec{v} = \text{const.}$$

$\vec{\nabla} \times \vec{v} =$ Wirbelung der Flüssigkeitsströmung
bleibt konstant bei der Bewegung des Fluids,

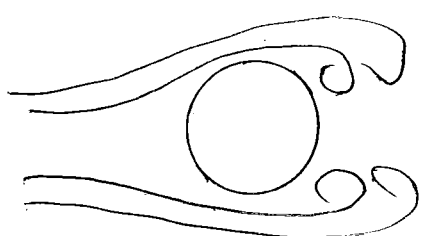
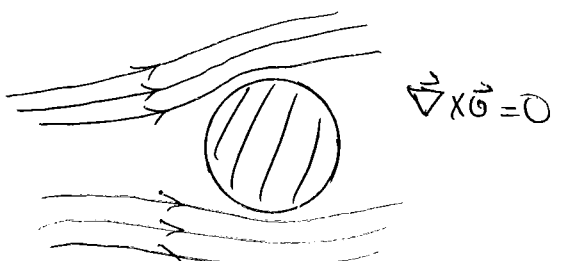
2.8 Potentialströmungen

sind Strömungen, für die im ganzen Raum gilt

$$\vec{\nabla} \times \vec{v} = 0$$

d.h. wirbelfreie Strömung,
bis auf evtl. singuläre Punkte
oder Linien.

Bei Wirbelströmungen ist $\vec{\nabla} \times \vec{v} \neq 0$

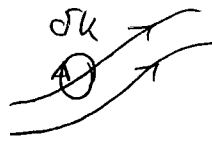


$$\vec{\nabla} \times \vec{v} \neq 0$$

Aus der Erhaltung der Zirkulation folgt

- zunächst für stationäre Strömungen -

Sei $\vec{\nabla} \times \vec{\omega} = 0$ auf einem Punkt der Stromlinie; eine infinitesimale geschlossene Kurve δk umschließt die Stromlinie, und bewege sich mit dem Fluid



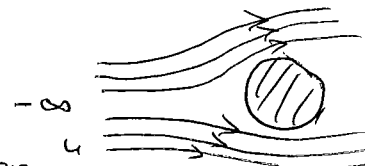
$$\Rightarrow \oint_{\delta k} \vec{\omega} d\vec{l} = \text{const} = \int_F (\vec{\nabla} \times \vec{\omega}) dF \quad (\text{Stokes})$$

$\Rightarrow \vec{\nabla} \times \vec{\omega} = 0$ längs der gesamten Stromlinie, die Rotation verschwindet auch in allen anderen Punkten der Stromlinie.

Bei nicht stationären Strömungen gilt das auch, nur betrachtet man hier anstelle der Stromlinie die in der Zeit von einem bestimmten Fluidteilchen zurückgelegte Bahkurve (die nur bei stat. Strömungen mit der Stromlinie übereinstimmt),

Ist dies von $-\infty$ auf einen

keiner einflößende Strom "kummen"



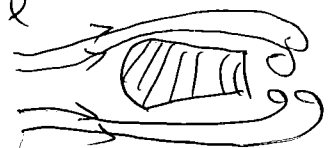
($\vec{\omega} = \text{const.}$), so ist die stationäre Strömung um

einem beliebigen keiner einflößende Potentialströmung mit $\vec{\nabla} \times \vec{\phi} = 0$.

Dennoch unterscheidet sich das wache Stromungsbild bei den Konditionen eines Körpers von einer Potentiostromung, denn die Stromung läuft an Wänden erfüllt keine fehlenden Kurven von Stromlinien

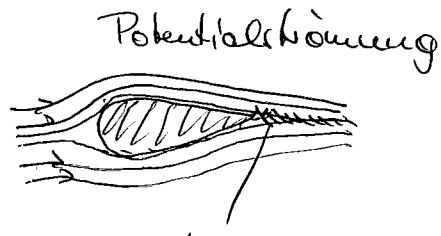
⇒ die Stromlinien "lösen sich ab" und verlaufen im Inneren der Flüssigkeit: Es gibt einen Sprung in der tangentialen Geschwindigkeitskomponente

⇒ für ideale Fluide gibt es eine unendliche Haftfestigkeit von Lösungen mit Flächen tangentialer Kurtfestigkeit. Da sie instabil sind, wird die Stromung turbulent.



Bei realen (viskosen) Fluide ist die Lösung jedoch als Folge der Zähigkeit i.a. eindeutig; entscheidend ist dabei das Verhalten in der Grenzschicht.

Bei stromlinienförmigen Körpern ist die Stromung nur in einer dünnen Flüssigkeitsschicht in der Nähe der Oberfläche des Körpers, und im schematischen Bereich des Nachlaufes keine Potentiostromung.



Potentiostromung
Nachlauf,
keine
Potentiostromung

kleine Schwingungen eines eingetauchten Körpers

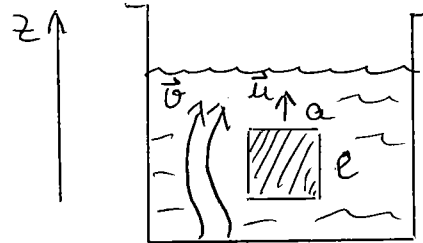
H31

als Beispiel für eine Potentialstörung:

für kleine Amplituden $a \ll l$

(l die lineare Dimension des Körpers) ist die Störung

um den schwimmenden Körper
eine Potentialstörung.



$$u \sim \omega a :$$

Präzession um die Platten
in der Euler-Gleichung
abschätzen:

$$\frac{\partial \vec{\omega}}{\partial t} + (\vec{\omega} \vec{\nabla}) \vec{\omega} = -\vec{\nabla} \psi$$

$$\vec{\omega}(t) = \omega \cos \vartheta \hat{z}$$

$$u(t) = -\omega a \sin \vartheta \hat{x}$$

$$\frac{\partial u}{\partial t} = -\omega^2 a \cos \vartheta \hat{x}$$

$$|u_{\max}| = \omega a$$

$$\left| \frac{\partial u}{\partial t}_{\max} \right| = \omega^2 a$$

$\vec{\omega}$ (Stromungsgeschwindigkeit) wird durch die
Schwingungen des Körpers (mit \vec{u}) in Abhängigkeit
der Präzession ℓ geändert

$$\Rightarrow \text{Ableitungen } \frac{\partial \vec{\omega}}{\partial z} \sim \frac{u}{\ell}$$

In der Nähe des Körpers wird die Präzeption ω
durch u bestimmt,

$$\omega \sim u \Rightarrow |(\vec{\omega} \vec{\nabla}) \vec{\omega}| \sim \frac{u^2}{\ell}$$

wegen $\omega \sim \frac{u}{a}$ ist das mit $u \sim u$

$$\left| \frac{\partial \vec{\omega}}{\partial t} \right| \sim \omega u \sim \frac{u^2}{a}$$

für kleine Schwingungen, $a \ll l \Rightarrow$

$$|(\vec{\nabla} \cdot \vec{v}) \vec{v}| \ll \left| \frac{\partial \vec{v}}{\partial t} \right| \Rightarrow \boxed{\frac{\partial \vec{v}}{\partial t} \simeq -\vec{\nabla} w}$$

\Rightarrow Vernachlässigen des konvektiven Teils.

Bilde die Rotation, $\vec{\nabla} \times$

$$\Rightarrow \frac{\partial}{\partial t} (\vec{\nabla} \times \vec{v}) = 0 \Rightarrow \boxed{\vec{\nabla} \times \vec{v} = \text{const}}$$

Der zeitliche Mittelwert von \vec{v} ist $\langle \vec{v} \rangle_t = 0$

$$\Rightarrow \boxed{\vec{\nabla} \times \vec{v} = 0}$$

Die Strömung einer Flüssigkeit, die kleine Schwingungen ausführt, ist in erster Näherung eine Potentialströmung.

Eigenschaften von Potentialströmungen:

t) Die Zirkulation längs einer beliebigen geschlossenen Kurve ist 0:

$$R = \oint_L \vec{v} d\vec{l} = \int_F (\vec{\nabla} \times \vec{v}) d\vec{F} = 0$$

Stokes

[\Rightarrow # geschlossenen Stromlinien in einer Potentialströmung (denn die Richtung der Stromlinie stimmt mit der Richtung der Geschwindigkeit überein, und die Zirkulation längs einer geschlossenen Linie wäre $\neq 0$)]

2. Wegen $\vec{v} \times \vec{v} = 0$ kann bei Potenzialströmungen,
 \vec{v} als Gradient eines Skalars - der Geschwindigkeits-
potentielle ϕ - dargestellt werden:

$$\vec{v} = -\vec{\nabla} \phi$$

so dass die Euler-Gleichung für die Geschwindigkeit

$$-\frac{\partial \vec{v}}{\partial t} + \frac{\vec{\nabla} v^2}{2} - \vec{v} \times (\vec{\nabla} \times \vec{v}) = -\vec{\nabla} w \quad \text{wird}$$

$$\vec{\nabla} \left(\frac{\partial \phi}{\partial t} + \frac{v^2}{2} + w \right) = 0 \Rightarrow \text{Potenzialgleichung}.$$

$$\Rightarrow \boxed{\frac{\partial \phi}{\partial t} + \frac{v^2}{2} + w = f(t)}, \text{ mit einer beliebigen Zeitfunktion } f(t); \text{ mit } w = \frac{P}{\rho} \text{ verknüpft}$$

als erster Integral der
Bewegungsgleichungen
für eine Potenzialströmung.

die Gleichung Geschwindigkeit
und Druck.

Für eine stationäre Strömung ist ϕ zeitunabhängig,

$$\frac{\partial \phi}{\partial t} = 0 \Rightarrow$$

$$\boxed{\frac{v^2}{2} + w = \text{const}}, \text{ Bernoulli'sche Gleichung folgt
direkt für stationäre Strömungen}$$

beachte: für eine Potenzialströmung ist die Konstante in der BG im gesuchten Fluidvolumen konstant,
für eine beliebige Strömung nur längs jeder einzelnen
Strömungslinie.

2.9 Inkompressible Fluide

Ein Fluid ist inkompressibel für

$$\left| \frac{\Delta p}{p} \right| \ll 1 :$$

keine merkbare Kompression oder Ausdehnung während der Bewegung

Notwendige Bedingungen für Inkompressibilität:

Abschätzung der Dickeänderung Δg bei Druckänderung um Δp (adiabatisch)

$$\Delta g = \left(\frac{\partial g}{\partial p} \right)_{s=\text{const}} \Delta p$$

Nach Bernoulli sind die Druckschwankungen in einer stationären Strömung einer Flüssigkeit von der Form

$$\Delta p \sim g v^2$$

Form ist mit der Schallgeschwindigkeit c im Fluid

$$\left(\frac{\partial p}{\partial g} \right)_s = c^2$$

$$\Rightarrow \Delta g \sim \frac{g v^2}{c^2}, \quad \left| \frac{\Delta p}{p} \right| \sim \frac{v^2}{c^2} \ll 1$$

$$\Rightarrow \boxed{v \ll c}$$

Notwendige Bedingung für Inkompressibilität.
Für eine stationäre Strömung ist das auch hinreichend.

Für nicht statische Strömungen muss eine weitere Bedingung erfüllt sein:

Die Zeit $\frac{s}{c}$, in der ein Schallsignal die Entfernung s zurücklegt, muss klein sein gegenüber der Zeit τ , in der sich die Strömung merklich ändert - dann lässt sich die Ausbreitung von Wechselwirkungen in der Flüssigkeit als momentaner Prozess beschreiben:

$$\boxed{\frac{s}{c} \ll \tau}$$

[Herleitung: EG ohne Konvektionsterm:

$$\left| \frac{\partial \vec{v}}{\partial t} \right| = \left| \vec{\nabla} p \right|$$

$$\Rightarrow \frac{v}{\tau} \sim \frac{\Delta p}{s \cdot \rho} \Rightarrow \Delta p \sim \frac{s}{\tau} \rho \cdot v$$

Zugleichige Änderung von p mit $\Delta p \sim \frac{\Delta p}{c^2}$:

$$\Delta p \sim \frac{s \cdot \rho \cdot v}{\tau \cdot c^2}$$

Kontinuitätsgleichung:

vergleiche $\frac{\partial \rho}{\partial t}$ mit $\rho \vec{\nabla} \vec{v} \Rightarrow \frac{\partial \rho}{\partial t}$ vernachlässigbar ($\rho \approx \text{const}$)

für $\frac{\Delta \rho}{\tau} \ll \rho \frac{v}{s}$, oder $\frac{\Delta p}{\rho} \sim \frac{s \cdot v}{\tau c^2} \ll \tau \cdot \frac{v}{s}$:

erfüllt für $\tau \gg \frac{s}{c}, > 0.$]

Für $\rho \approx \text{const}$ ändert die Eulersche Gleichung ihre Gestalt nicht; man kann jedoch ρ in den Gradienten ziehen:

$$\frac{\partial \vec{\omega}}{\partial t} + (\vec{\omega} \vec{\nabla}) \vec{\omega} = -\vec{\nabla} \left(\frac{P}{\rho} \right) + \vec{g}$$

Die Kontinuitätsgleichung wird für $\rho = \text{const}$

$$\vec{\nabla} \cdot \vec{\omega} = 0$$

Da die Dicke bekannt (const.) ist, wählt man als System von Grundgleichungen nur jenen, welche nur Geschwindigkeiten enthalten; Euler:

$$\boxed{\frac{\partial}{\partial t} \vec{\nabla} \times \vec{\omega} = \vec{\nabla} \times [\vec{\omega} \times (\vec{\nabla} \times \vec{\omega})]}$$

Da in der Euler-fl. $\vec{\nabla} \left(\frac{P}{\rho} \right)$ statt $\vec{\nabla} w$ steht, lässt sich die Bernoulli-fl. angeben in der Form

$$\frac{v^2}{2} + \frac{P}{\rho} + gw = \text{const}$$

und die Erhaltungsdicke wird

$$\rho \vec{\omega} \left(\frac{v^2}{2} + w \right) = \rho \vec{\omega} \left(\frac{v^2}{2} + \frac{P}{\rho} \right).$$

Für die Potentialströmung eines inkompressiblen Fluids werden die Gleichungen besonders einfach.

Mit $\vec{\nabla} \times \vec{v} = 0$ ist die EG (p. 36) identisch erfüllt

Die Kontinuitätsgleichung $\vec{\nabla} \cdot \vec{v} = 0$ wird mit

$$\vec{v} = -\vec{\nabla} \phi$$

$$\Rightarrow \boxed{\Delta \phi = 0}$$

Laplace-Gleichung für das Geschwindigkeitspotential ϕ

(diese ältere fl. hatte L. Euler als erster eingeführt; sie enthält die Zeit nicht explizit, sondern nur über die Randbedingungen).

Mit den Randbedingungen an den Kontaktflächen Fluid-Rand:

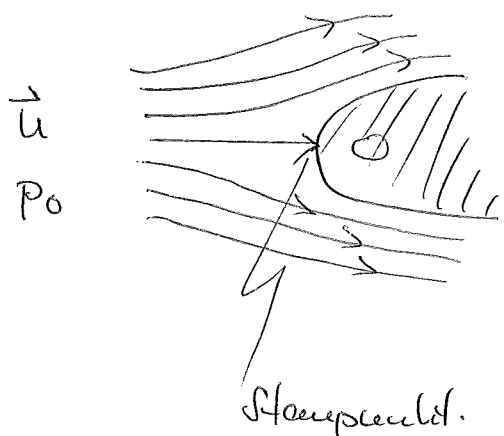
fest. Wand: $v_{\perp} = 0$

bewegl. Wand: $v_{\perp} = \text{Projektion der Wandgeschwindigkeit auf die Normalenrichtung}$

und es ist $v_{\perp} = \frac{\partial \phi}{\partial e_{\perp}} = \text{wagegebene Funktion der Koordinaten und der Zeit}$
 $(e_{\perp} = \text{Normalenrichtung})$

d.h. die Randbedingungen enthalten nur die Geschwindigkeit in Normalenrichtung

Stationäre Strömung eines inkompressiblen Fluids; Stromfunktion



Wegen Bernoulli:

$$\frac{u^2}{2} + \frac{p}{\rho} = \text{const}$$

ist der Druck bei einer stationären Strömung eines inkompressiblen Fluids (kleine Schwerkraft) dort am größten, wo die Geschwindigkeit 0 wird.

Dieser Punkt heißt Strompunkt.

Sei u die Geschwindigkeit des Fluids im freien Raum
 p_0 der Druck

⇒ Druck im Strompunkt:

$$p_{\max} = p_0 + \rho \frac{u^2}{2}$$

Bei zweidimensionaler (ebener) Strömung (\rightarrow hängt nur von zwei Koordinaten ab) können die Peripheriekomponenten als Ableitung einer Stromfunktion $\psi(x, y)$ geschrieben werden:

$$\text{h.G. } \vec{\nabla} \vec{v} = \frac{\partial v_x}{\partial x} + \frac{\partial v_y}{\partial y} = 0$$

$$\Rightarrow v_x = + \frac{\partial \psi}{\partial y}, \quad v_y = - \frac{\partial \psi}{\partial x} \quad : \text{die Kontinuitätsgleichung ist automatisch erfüllt.}$$

(analog mit entgegengesetzten Vorzeichen, s. S. H40)

Die Gleichung für die Stromfunktion ψ

folgt durch Einsetzen in die Euler-Gleichung für die Geschwindigkeit,

$$\frac{\partial}{\partial t} \vec{\nabla} \times \vec{v} = \vec{\nabla} [\vec{v} \times (\vec{\nabla} \times \vec{v})] ; \quad \vec{\nabla} \times \vec{v} =$$

$$\begin{vmatrix} \vec{e}_x & \vec{e}_y & \vec{e}_z \\ \frac{\partial}{\partial x} & \frac{\partial}{\partial y} & \frac{\partial}{\partial z} \\ v_x & v_y & v_z = 0 \end{vmatrix}$$

$$\Rightarrow \boxed{\frac{\partial}{\partial t} \Delta \psi = - \frac{\partial \psi}{\partial x} \frac{\partial}{\partial y} \Delta \psi + \\ + \frac{\partial \psi}{\partial y} \frac{\partial}{\partial x} \Delta \psi}$$

$$= - \vec{e}_x \frac{\partial v_y}{\partial z} + \vec{e}_y \frac{\partial v_x}{\partial z} + \vec{e}_z \left(\frac{\partial v_y}{\partial x} - \frac{\partial v_x}{\partial y} \right)$$

$$\text{In 2D: } \vec{\nabla} \times \vec{v} = \vec{e}_z \Delta \psi$$

$$\Delta \psi = \frac{\partial^2 \psi}{\partial x^2} + \frac{\partial^2 \psi}{\partial y^2}$$

Aus der Stromfunktion lässt sich die Form der Stromlinien für eine statische Strömung unmittelbar bestimmen:

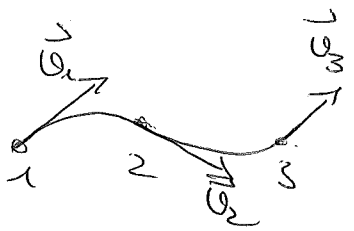
DGL für die Stromlinien bei ebener Strömung (keine v_z):

$$\frac{dx}{v_x} = \frac{dy}{v_y} \Rightarrow v_y dx - v_x dy = 0$$

die Richtung der Tangente an eine Stromlinie stimmt in jedem Punkt mit der Richtung der Stromlinie überein.

$v_x(\psi), v_y(\psi)$ einsetzen $\stackrel{(*)}{\Rightarrow}$

$$\frac{\partial \psi}{\partial x} dx + \frac{\partial \psi}{\partial y} dy = d\psi = 0 \Rightarrow \boxed{\psi = \text{const.}}$$



d.h. die Stromlinien bilden eine Kurvenschraffur, die man erhält, wenn man die Stromfunktionen $\psi(x, y)$ gleich einer beliebigen Konstanten setzt.

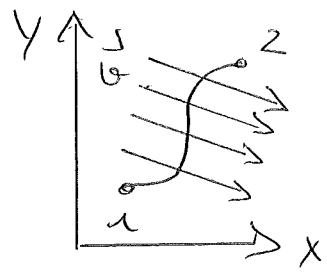
In der $x-y$ -Ebene ist die Fließrichtung

\vec{Q} durch eine Kurve zwischen 2 Punkten

unabhängig von der Form der Kurve

durch die Differenz der Werte der

Stromfunktion in diesen Punkten bestimmt.



Mit $v_1 = \text{Projektion von } \vec{v} \text{ auf die Normale}$

der Kurve in einem gegebenen Punkt,

$$Q = \rho \int_1^2 v_1 \, dl = \rho \int_1^2 (-v_y \, dx + v_x \, dy) = \rho \int_1^2 \frac{\partial \psi}{\partial x} \, dx$$

$$\Rightarrow Q = \rho (\psi_2 - \psi_1)$$

Die Funktionaltheorie liefert leistungsfähige Methoden zur Berechnung des Potenzialströmens um verschiedenartige Profile.

Grundlage dieser Anwendungen:

Das Potenzial und die Stromfunktion hängen mit den Geschwindigkeitskomponenten wie folgt zusammen:

$$v_x = - \frac{\partial \phi}{\partial x} = - \frac{\partial \psi}{\partial y} \quad ; \quad v_y = - \frac{\partial \phi}{\partial y} = + \frac{\partial \psi}{\partial x}$$

Die Beziehungen zwischen den Ableitungen der Funktionen ϕ und ψ :

$$\frac{\partial \phi}{\partial x} = \frac{\partial \psi}{\partial y}, \quad \frac{\partial \phi}{\partial y} = - \frac{\partial \psi}{\partial x}$$

stimmen mit den Cauchy-Riemannschen Gln überein

Sie sind Bedingung dafür, dass der komplexe Potential:

$$w = \phi + i\psi$$

dass sich aus Geschwindigkeitspotential (Realteil) und Stromfunktion (Imaginärteil) zusammensetzt, eine analytische Funktion des komplexen Argumentes $z = x + iy$ ist, bzw. dass $w(z)$ in jedem Punkt z differenzierbar ist als

$$\frac{dw}{dz} = \frac{\partial \phi}{\partial x} + i \frac{\partial \psi}{\partial x} = v_x + i v_y \equiv \text{komplexe Geschwindigkeit},$$

mit Betrag

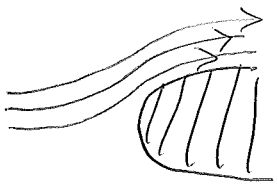
$$\left| \frac{dw}{dz} \right| = |\vec{v}| = \sqrt{v_x^2 + v_y^2} = v$$

Das Argument der komplexen Geschwindigkeit $w \stackrel{!}{=} \frac{dw}{dz}$ ist der Winkel Θ zwischen der Geschwindigkeit und

der x -Richtung,

$$w^! = \frac{dw}{dz} = v e^{-i\Theta}$$

An der Oberfläche einer unströmten festen Kontur muss die Geschwindigkeit tangential gerichtet sein.



Die Kontur muss mit einer Stromlinie übereinstimmen, auf ihr muss $\psi = \text{const}$ sein; die Konturfläche kann $\partial \bar{s} dA = 0$ gesetzt werden.

Für eine vorgegebene Kontur wird das Strömungsproblem so auf die Bestimmung einer analytischen Funktion $w(z)$ zurückgeführt, die auf dieser Kontur reelle Werte annimmt.

Das Integral über eine analytische Funktion längs einer (beliebigen) geschlossenen Wege C ist gleich der mit $2\pi i$ multiplizierten Summe der Residuen der einfachen Pole innerhalb von C

$$\oint_C \frac{dw}{dz} dz = \oint_C w' dz = 2\pi i \sum_k A_k,$$

A_k = Residuen der komplexen Geschwindigkeit

Andererseits ist

$$\begin{aligned} \oint_C w' dz &= \oint_C (v_x - i v_y)(dx + idy) = \\ &= \underbrace{\oint_C (v_x dx + v_y dy)}_{\Gamma} + i \underbrace{\oint_C (v_x dy - v_y dx)}_0 \end{aligned}$$

Γ

Der Realteil ist die Zirkulation Γ längs der Kurve C .

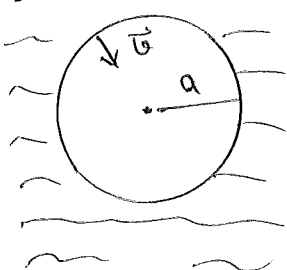
Der Imaginärteil, $i \rho$ gibt den Flüssigkeitsstrom durch die Kurve C an, z.B. 40. Sind innerhalb der Kurve keine Flüssigkeitsquellen, ist dieser Strom $= 0 \Rightarrow$

$$\boxed{\Gamma = 2\pi i \sum_k A_k}$$

alle Residuen A_k sind reell imaginär, so dass die Zirkulation Γ reelle Werte annimmt.

Die Theorie der analytischen Funktionen einer komplexen Variablen entspricht elementare der zweidimensionalen Potentialtheorie der Hydrodynamik.

zu: Beispiel inkompressible Fluide: (Rayleigh 1917) (dünne):



Eine inkompressible Flüssigkeit füllt oben Raum; ein längsförmiges Volumen mit Radius a wird entfernt. Nach welcher Zeit ist der Hohlräum mit Flüssigkeit gefüllt?

Die Strömung in den Hohlräum ist längssymmetrisch.
Für die axiale Geschwindigkeit gilt die Euler'sche Gleichung (EG)

$$v_r \equiv v < 0 \quad ; \quad \vec{\nabla} p_r \equiv \frac{\partial p}{\partial r}$$

$$\frac{\partial v}{\partial t} + v \frac{\partial v}{\partial r} = - \frac{1}{\rho} \frac{\partial p}{\partial r}$$

kg für inkompressive Fluide: $\frac{\partial p}{\partial t} = 0 \Rightarrow \vec{\nabla}^2 v = \frac{1}{\rho} \frac{\partial^2 v}{\partial r^2} = 0$

$$\Rightarrow r^2 v = F(t), \text{ beliebige Funktion der Zeit} \quad (\frac{\partial v}{\partial r} = 0)$$

d.h. das Flüssigkeitsvolumen, das durch eine längs mit beliebigem Radius fließt, hängt wegen der Inkompressibilität nicht vom Radius ab.

$$\Rightarrow \frac{\partial v}{\partial t} = \frac{F'(t)}{r^2} \quad \text{aus kg; in EG einsetzen:}$$

$$\frac{F'(t)}{r^2} + v \frac{\partial v}{\partial r} = - \frac{1}{\rho} \frac{\partial p}{\partial r} \quad \left| \begin{array}{l} R(t) \leq a, \text{ } a \text{ Radius des} \\ \int_0^r dr \quad \text{Hohlräumes} \\ \infty \end{array} \right.$$

$$\Rightarrow -\frac{F'(t)}{R} + \frac{V^2}{2} = \frac{P_0}{g} \quad \text{mit} \quad V = \frac{dR(t)}{dt}$$

V : Anclerungs geschwindigkeit
der Hohlraum - Radikus

P_0 = Druck bei $R \rightarrow \infty$

(Die Geschwindigkeit des Fluids bei ∞ und der
Druck auf die Oberfläche des Hohlraumes sei $= 0$)

Mit $r^2 v = F(t)$ für Punkte auf der Oberfläche
des Hohlraums gilt

$$R^2(t) V(t) = F(t)$$

$$\Rightarrow F'(t) = 2R \underbrace{R'_V}_V V + R^2 \frac{dV}{dt} = 2RV^2 + R^2 \frac{dV}{dt} \quad \text{in EG einsetzen}$$

$$-\frac{2RV^2}{R} - R \frac{dV}{dR} + \frac{V^2}{2} = \frac{P_0}{g}$$

$$-\frac{3}{2}V^2 - R \frac{dV}{dR} \underbrace{\frac{dR}{dt}}_V = \frac{P_0}{g}$$

$$\boxed{-\frac{3}{2}V^2 - \frac{R}{2} \frac{dV^2}{dR} = \frac{P_0}{g}}$$

Trennung der Variablen, integrieren mit
der Anfangsbedingung $V=0$ für $R=a$

$$V = \frac{dR}{dt} = \sqrt[3]{\frac{2P_0}{3g} \left(\frac{a^3}{R^3} - 1 \right)}$$

$$\frac{dR}{-\sqrt[3]{\frac{2P_0}{3g} \left(\frac{a^3}{R^3} - 1 \right)}} = dt$$

Daraus die Zeit, in der der Hohlraum gefüllt

wird: $\int_0^a \rho dt ; \int_0^a \rho dR = - \int_0^a \rho dR \Rightarrow$

$$t = \sqrt{\frac{3g}{2\rho_0}} \int_0^a \frac{dR}{\sqrt{\left(\frac{a}{R}\right)^3 - 1}} = \dots$$

$$= \sqrt{\frac{3a^2 \rho \pi}{2\rho_0}} \frac{P(516)}{P(113)} = 0.915 a \sqrt{\frac{g}{\rho_0}}$$

Für $a = 0.1 \text{ m}$, $\rho_0 = 1000 \text{ kg/m}^3$, $P_0 = 10^5 \text{ Pa}$, $P_a = 10^5 \text{ Pa}$ $\frac{\text{kg}}{\text{m s}^2}$

und $g = 1 \frac{\text{N}}{\text{kg}} = \frac{10^{-3} \text{ kg}}{10^{-6} \text{ m}^3} = 10^3 \frac{\text{kg}}{\text{m}^3}$

wird $t \approx 0.915 \cdot 10^{-2} \text{ s} \approx 9 \text{ ms}$

Note $t \propto a, \sqrt{g}, \frac{1}{\sqrt{P_0}}$

2.10 Wellen

Wasserwellen sind komplizierter als akustische oder optische Wellen: als Oberflächenwellen sind sie an die Freize zweier Medien gebunden; akustische und optische Wellen sind dagegen Rauhewellen.

Unterschied Welle / Wellen:

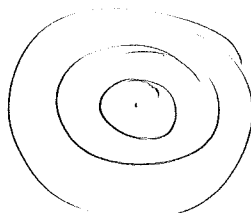
Welle tragen Beante mit sich fort; bei Wellen bleiben die Flüssigkeitsteilchen im Mittel an Ort - es pflanzen sie nicht Beante, sondern Energie und Pfeife fort.

Unterscheidung von Wellen nach ihrer Symmetrie:

Ebene Wellen

|| | | | \Rightarrow zB ebwl. Windfront ausgelöst

Ringwellen

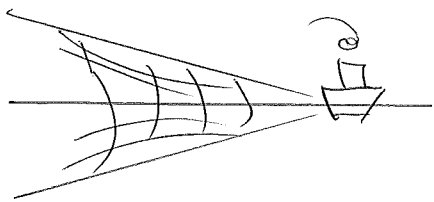


Amplituden nehmen mit der Entfernung ab;
mathematisch kompliziert
(Bessel-Funktionen,
Fourier-Integrale)

Tiefseewellen

haben Dispersion, $v = \sqrt{\frac{g}{k}}$: $v = v(k) = v(1)$
 $(k = \frac{2\pi}{\lambda})$

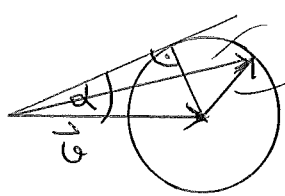
Schiffswellen sind Langwellen, die sich an den Schiffskörpern sammeln; Querwellen schwächen sie.



Das Resonanzsystem schwingt mit dem Schiff fort, ist also statisch.

Mach-Wellen sind Stoßwellen bei Überschallflügeln

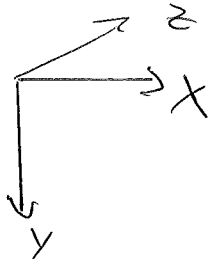
mit $\alpha > c$



$$\sin \alpha = \frac{c}{\alpha}, \alpha = \text{Mach'scher Winkel}$$

Die Störung breitet sich in
Flügelrichtung y und in
einer Rechteck mit Öffnungswinkel
 2α aus.

Beschreibung ebener Wellenwellen (Oberflächenwellen)



- Ausbreitung in x -Richtung
- In Tiefenrichtung y wird die Welle weggedämpft

$$\Rightarrow \text{Welle } A e^{i(kx-\omega t)} e^{-ky}$$

$$k = \frac{2\pi}{\lambda} \text{ Wellenzahl, } \omega = \frac{2\pi}{T} \text{ Kreisfrequenz}$$

$$\frac{\omega}{k} = \frac{\lambda}{T} = v \text{ Fortpflanzungsgeschwindigkeit}$$

A = Amplitude der Wellenwelle

\Rightarrow 3 Parameter A, ω, k beschreiben die Wellenausbreitung.

Die Fortpflanzungsgeschwindigkeit ω ist die Phasengeschwindigkeit der Welle (d.h. ihre Phase φ , schreitet mit ω fort).

Der veränderliche Teil der Phase ist durch $\varphi = kx - \omega t$ gegeben; setzt man ihn konstant (\equiv Ort gleicher Phase zu verschiedenen Zeiten) folgt

$$kdx - \omega dt = 0$$

$$\frac{dx}{dt} = \frac{\omega}{k} = \nu$$

Phasengeschwindigkeit

Für monochromatische Wellen (Wellen fester Frequenz) ist nur die Phasengeschwindigkeit von Bedeutung

Bei Überlappung von Wellen verschiedener Frequenz (v.a. benachbarte Frequenz) zu einem Wellenpaket (= Wellenpuppe) ist deren Gruppengeschwindigkeit u i.Q. von ν verschieden.

$$u = \frac{d\nu}{dk}$$

Gruppengeschwindigkeit

[widrige phys. Größe
in der Wellenmechanik:
die Brüggle $\lambda = \frac{k}{p} = \frac{l}{m\omega}$
 $\Rightarrow u = l/(m\omega)$]

Nun bei dispersionsloser Wellenausbreitung ($\equiv \omega$ ist unabhängig von λ, k) fallen Phasen- und

Gruppengeschwindigkeit zusammen, eine Wellenpuppe kann ohne Formänderung fortschreiten

$$\omega = \nu k$$

$$\Rightarrow d\omega = \nu dk \Rightarrow \frac{d\omega}{dk} = \nu \equiv u$$

im allgemeinen ist jedoch

$$d\omega = \nu dk + k d\nu =$$

$$= \nu dk + k \frac{d\nu}{dk} dk \quad [: dk, \quad u = \frac{d\omega}{dk}]$$

$$\Rightarrow u = \nu + k \frac{d\nu}{dk}$$

$$; \quad k = 2\pi \lambda^{-1} ; \quad \frac{dk}{d\lambda} = -\frac{2\pi}{\lambda^2}$$

$$\text{Es ist } \frac{\partial \omega}{\partial k} = \frac{\partial \omega}{\partial \lambda} \frac{\partial \lambda}{\partial k} = - \frac{\partial \omega}{\partial \lambda} \frac{\lambda^2}{2\pi}$$

$$\Rightarrow k \frac{\partial \omega}{\partial k} = - \lambda \frac{\partial \omega}{\partial \lambda}$$

$$\Rightarrow u = \omega - \lambda \frac{\partial \omega}{\partial \lambda}$$

allg. Zusammenhang Gruppen-/ Phasengeschwindigkeit

keine Dispersion: $\frac{\partial \omega}{\partial \lambda} = 0 \Rightarrow u = \omega$

normale Dispersion: $\frac{\partial \omega}{\partial \lambda} > 0 \Rightarrow \text{Gruppendisp. } u < \omega$
Phasendisp.

anomale Dispersion: $\frac{\partial \omega}{\partial \lambda} < 0 : u > \omega$

Man findet für Schwerwellen in Tiefwasser: $u \approx \lambda$

$$\omega = \sqrt{\frac{g \cdot \lambda}{2\pi}}, \quad \frac{\partial \omega}{\partial \lambda} = \frac{1}{2\lambda} \cdot \omega$$

$$\Rightarrow u = \omega - \frac{1}{2} \omega = \frac{1}{2} \omega < \omega : \text{normale Dispersion}$$

In flachem Wasser findet man ($k \ll \lambda$)

$$\omega = \sqrt{g \cdot h} : \text{keine Dispersion}$$

Bei Schwerwellen wird die Ausbreitung am besten über die Euler'sche Gleichung mit Geschwindigkeitspotential beschrieben, $\vec{G} = -\vec{\nabla} \phi$

$$\boxed{-\frac{\partial \phi}{\partial t} + \frac{\omega^2}{2} + \frac{1}{8} (p + u) = F(t)}$$

Ist welche Amplituden wiso die quadratischeglied vernachlässigt. An der freien Oberfläche herrscht Atmosphärendruck ($p=0$). Die einzige Zeitfunktion, die periodische Fortschreitende Wellen nicht startet, ist $\Phi(t) \equiv \text{const} \equiv 0$ (OBDA)

$$\Rightarrow \frac{\partial \phi}{\partial t} = \frac{u}{g} = - \frac{g \cdot g \cdot y}{g} = -gy$$

$$\boxed{\frac{\partial \phi}{\partial t} = -gy}$$

Die Welle breitet sich wie das Geschwindigkeitspotential aus; daraus ergibt sich die Zusammenhang zwischen u und λ (die Dispersion)

Ebene kapillarwellen:

Wiso λ immer kleiner, ist nicht mehr die Schwerkraft, sondern die Oberflächenspannung σ für die Wellenausbreitung maßgebend, so dass die Dispersion verhältnisse komplett geändert werden.

Die Oberfläche ist nicht mehr wasserfrei, sondern einem aus σ herkommenden Normaldruck ausgesetzt \Rightarrow

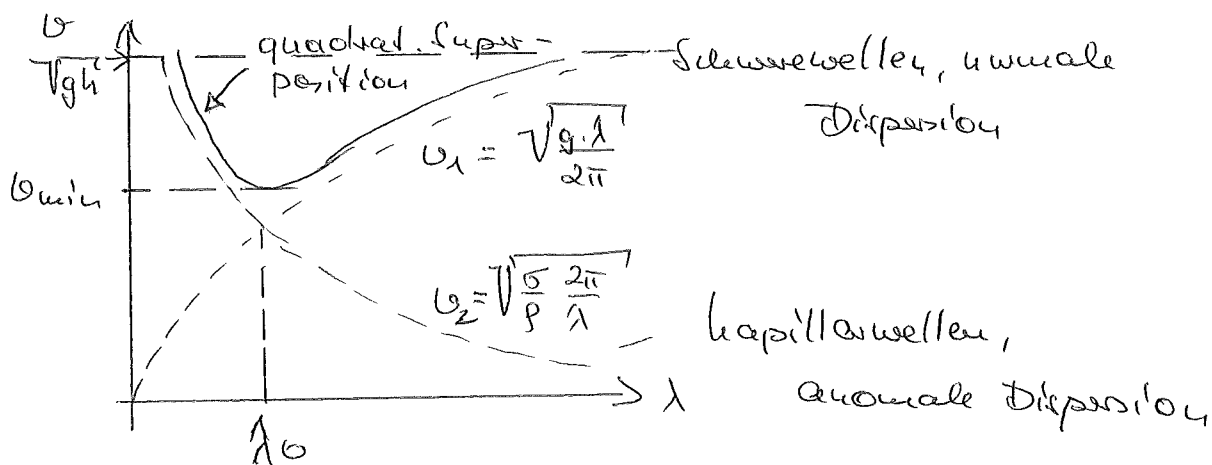
$$\boxed{-\frac{\partial \phi}{\partial t} + \frac{p}{g} = 0}$$

Man findet für die Fortpflanzungsgeschwindigkeit

$$\boxed{u = \sqrt{\frac{\sigma}{g} \cdot \frac{2\pi}{\lambda}}}$$

d.h. sie wächst mit abnehmendem λ , umgekehrt wie bei Schwerewellen in tiefem Wasser: anomale Dispersion

Dispersionsverhalten von kapillar- und Schwerewellen:



für $\lambda < \lambda_0$: die verantwortende Kraft der kapillarwellen hängt von der Krümmung des Oberflächengitters ab;

$\lambda > \lambda_0$: die Kapillarität ist bei großen Wellenlängen unbedeckt!

Schnittpunkt:

$$\sqrt{\frac{\sigma}{g} \frac{2\pi}{\lambda_0}} = \sqrt{\frac{g \cdot \lambda_0}{2\pi}}$$

Kapillar Schwer

$$\Rightarrow \lambda_0^2 = \frac{\sigma \cdot (2\pi)^2}{gg} \Rightarrow \boxed{\lambda_0 = 2\pi \sqrt{\frac{\sigma}{g \cdot g}}}$$

$\Rightarrow \omega_{min}$ bei quadratischer Superposition:

$$\omega^2 = \omega_1^2 + \omega_2^2 ; \quad \omega_{min}: \omega_1 = \omega_2 \Rightarrow$$

$$\omega_{min}^2 = 2\omega_1^2 = 2\omega_2^2 = 2\sqrt{\frac{\sigma g}{g}}^2$$

$$\Rightarrow \omega_{min} = \sqrt{2\sqrt{\frac{\sigma g}{g}}}$$

Numerische Werte

$$\text{Wasser vs. Luft: } \sigma = 72 \cdot 10^{-3} \frac{\text{kg}}{\text{s}^2} = 72 \cdot 10^{-3} \frac{\text{N}}{\text{m}}$$

die geweckten Werte von σ erhält man bei Ausbreitung von Kapillarwellen durch eine Stützengabel

$$\text{mit } g = 1 \frac{\text{kg}}{\text{m} \cdot \text{s}^2} = 10^3 \frac{\text{kg}}{\text{m}^3}, \quad g = 9,81 \frac{\text{m}}{\text{s}^2}$$

$$\Rightarrow \lambda_0 = 2\pi \sqrt{\frac{g}{\sigma g}} = 17,02 \cdot 10^{-3} \text{ m} \approx 1,702 \text{ cm}$$

$$v_{\min} = \sqrt{2 \sqrt{\frac{\sigma g}{g}}} = \sqrt{2 \cdot 10^{-3} \sqrt{72 \cdot 9,81}} \frac{\text{m}}{\text{s}} \approx 0,231 \frac{\text{m}}{\text{s}} = \\ = 23,1 \frac{\text{cm}}{\text{s}}$$

= Fortpflanzungsgeschwindigkeit von Wellen mit $\lambda = \lambda_{\min}$.

\Rightarrow Wellen, die sich auf Wasser mit kleinerer Geschwindigkeit als $23 \frac{\text{cm}}{\text{s}}$ fortpflanzen; Wellen von größerer und kleinerer Wellenlänge als $1,7 \text{ cm}$ laufen mit größerer Geschwindigkeit als 23 cm/s .

Zur kleinen hat für Wellen mit $\lambda < \lambda_0$: der Name "Ripples" vorgeschlagen; manchmal sind die Trümmer breiter Schwerewellen von solchen feinen Ripples überdeckt.

3. Viskose Fluide: Grundgleichungen

Bei Schüttungen viskoser Fluide untersucht man die Auswirkungen von Prozessen mit Energiedissipation auf die Schüttung. Aufgrund der inneren Reibung (= Viskosität) und der Wärmeleitfähigkeit wird die Schüttung thermodynamisch irreversibel.

3.1 Newton - Stokes - Gleichung

Bei viskosen Fluiden bleibt die Kontinuitätsgleichung unverändert,

$$\boxed{\frac{\partial \vec{v}}{\partial t} + \vec{\nabla}(\vec{v} \cdot \vec{v}) = 0} , \text{ bzw. } \frac{\partial v}{\partial t} = - \frac{\partial}{\partial x_k} (v \omega_k), k=1,2,3$$

In der Eulerschen Gleichung müssen jedoch zusätzliche Terme eingeführt werden, die die Energiedissipative Rechnung tragen:

η Viskositätskoeffizient, $\eta > 0$

f Zähligkeit - \sim , $f > 0$

Bei isotropen Fluiden genügen diese beiden skalaren Prozess; bei anisotropen Fluiden werden die koeffizienten Tensoren.

η und f sind i.e. Funktionen von Druck p und Temperatur T , die nicht im ganzen Fluid gleich sein müssen. Heist können η und f jedoch während der Bewegung konstant gesetzt werden.

Die Bewegungsgleichung wird dann

$$\rho \left[\frac{\partial \vec{v}}{\partial t} + (\vec{v} \cdot \vec{\nabla}) \vec{v} \right] = -\vec{\nabla} p + \eta \Delta \vec{v} + \left(f + \frac{\gamma}{3} \right) \vec{\nabla} (\vec{\nabla} \cdot \vec{v})$$

Euler'scher Anteil

dynamische Viskosität,

"Shear Viscosity"

z. Zähligkeit, "bulle viscosity"
verschwindet für inkompressible Fluide, mit
 $\vec{\nabla} \cdot \vec{v} = 0$.

\Rightarrow Zähle inkompressible Fluide
genügen der Navier-Stokes-Gleichung (NSG)

$$\frac{\partial \vec{v}}{\partial t} + (\vec{v} \cdot \vec{\nabla}) \vec{v} = -\frac{\vec{\nabla} p}{\rho} + \frac{\eta}{\rho} \Delta \vec{v}$$

C.L. Navier 1827

Ableitung durch

G.G. Stokes, 1845

im Vergleich zu Euler haben wir
den Zusatzterm

$$\frac{\eta}{\rho} \Delta \vec{v}$$

mit der dynamischen Viskosität η ,

$$[\eta] = \frac{\text{kg}}{\text{m s}} \hat{=} \text{Pars} \quad (\text{Pars} \equiv \frac{\text{N}}{\text{m}^2})$$

oder Verhältnis

$$r = \frac{\eta}{\rho}$$

, mit $[r] = \frac{\text{m}^2}{\text{s}}$, heißt kinematische Viskosität

typische Werte für η , r :

	η [Pars]	r [$\frac{\text{m}^2}{\text{s}}$]
Luft	$1.8 \cdot 10^{-5}$	1.50
Wasser	0.001	0.10
Quecksilber	0.00156	0.012
Alkohol	0.0018	0.22
Glycerin	0.85	68

Bei fester Temperatur hängt die dynamische Zähligkeit γ von Gasen nicht vom Druck ab.

$$\text{Da } pV = \text{const}$$

$$\Rightarrow \text{kinem. Zähligkeit } v \propto V \propto \frac{1}{p}.$$

Wie bei der Euler-Gleichung lässt sich der Druck aus der NSG eliminieren: bilde $\vec{\nabla} \times$,

$$\text{verwende } (\vec{\nabla} \cdot \vec{\nabla}) \vec{v} = \frac{\vec{\nabla}^2 \vec{v}}{2} - \vec{v} \times (\vec{\nabla} \times \vec{v})$$

$$\Rightarrow \boxed{\frac{\partial}{\partial t} (\vec{\nabla} \times \vec{v}) = \vec{\nabla} \times (\vec{v} \times \vec{\nabla} \times \vec{v}) + v \Delta (\vec{\nabla} \times \vec{v})}$$

$\rightarrow 0$ in der Euler-Gleichung

Mit $\vec{b} = \vec{\nabla} \times \vec{v}$ ist (s. z.B. Jackson, Class. Electrodynamics, 2. Auflage)

$$\begin{aligned} \vec{\nabla} \times (\vec{v} \times \vec{b}) &= (\vec{b} \vec{\nabla}) \vec{v} - (\vec{v} \vec{\nabla}) \vec{b} + \vec{v} (\vec{\nabla} \vec{b}) - \vec{b} (\vec{\nabla} \vec{v}) \\ &= [(\vec{\nabla} \times \vec{v}) \vec{\nabla}] \vec{v} \quad | = (-\vec{v} \vec{\nabla})(\vec{\nabla} \times \vec{v}) \quad | = 0 \text{ wg.} \\ &\quad \vec{\nabla} (\vec{\nabla} \times \vec{v}) = 0 \quad \vec{\nabla} \vec{v} = 0 \quad | = 0 \text{ wg.} \end{aligned}$$

$$\Rightarrow \boxed{\frac{\partial}{\partial t} (\vec{\nabla} \times \vec{v}) + (\vec{v} \vec{\nabla}) \vec{\nabla} \times \vec{v} - [(\vec{\nabla} \times \vec{v}) \vec{\nabla}] \vec{v} = v \Delta (\vec{\nabla} \times \vec{v})}$$

NSG für das Geschwindigkeitsfeld mit der kinematischen Zähligkeit $v = \frac{\gamma}{p}$.

für eine bekannte Geschwindigkeitsverteilung findet man die Verteilung vom Dreieck, indem man eine Gleichung vom Poissonschen Typ löst, also durch Bilden der Divergenz $\vec{\nabla}$ aus der ursprünglichen NSG folgt (stets inkompressibler Fluid mit $\vec{\nabla} \cdot \vec{v} = 0$ vorausgesetzt)

$$\Rightarrow \boxed{\Delta p = -\rho \frac{\partial v_i}{\partial x_k} \frac{\partial v_k}{\partial x_i} = -\rho \frac{\partial^2 v_i v_k}{\partial x_k \partial x_i}}$$

Wie im Euler-Fall lässt sich die Geschwindigkeitsverteilung auch durch eine Stromfunktion $\psi(x, y)$ ausdrücken,

$$v_x = \frac{\partial \psi}{\partial y}, \quad v_y = -\frac{\partial \psi}{\partial x},$$

so dass die Kontinuitätsgleichung automatisch erfüllt ist,

$$\vec{\nabla} \cdot \vec{v} = \frac{\partial v_x}{\partial x} + \frac{\partial v_y}{\partial y} = 0 \quad ; \quad \frac{\partial v_z}{\partial z} = 0$$

In NSG einsetzen $\Rightarrow (\vec{\nabla})$

$$\boxed{\frac{\partial}{\partial t} \Delta \psi - \frac{\partial \psi}{\partial x} \frac{\partial \Delta \psi}{\partial y} + \frac{\partial \psi}{\partial y} \frac{\partial \Delta \psi}{\partial x} - v \Delta \psi = 0}$$

Dazu kommen die Randbedingungen:

Zwischen der Oberfläche eines festen Körpers und einem zähnen Fluid gibt es unelastische Anziehungskräfte. Sie halten die innere Flüssigkeit an der Wand fest
 \Rightarrow die Geschwindigkeit an der Wand (an beiden Oberflächen) ist 0:

$\vec{v} = 0$ an beiden Oberflächen, d.h. normale ($v_{\perp}=0$) und taugentiale ($v_{\parallel}=0$) Komponenten müssen verschwinden; bei idealen Fluiden war nur $v_{\perp}=0$ gefordert.

Beachte: die Euler-Gleichungen können eine Randbedingung $v_{\parallel}=v_{\perp}=0$ gar nicht erfüllen, weil die räumlichen Ableitungen dort von erster Ordnung sind; in der NSG sind sie wegen des Unisolvierbarkeitsatzes von zweiter Ordnung.

Bei einer bewegten Oberfläche muss \vec{v} gleich der Geschwindigkeit dieser Oberfläche sein.

3.2 Energiedissipation in einem inkompressiblen viskosen Fluide

Aus Viskosität ergibt sich Energiedissipation, also Umwandlung von Energie in Wärme. Dabei wird jedoch die detaillierte molekulare Struktur des Fluids nicht berücksichtigt,

Berechnung der dissipativen Energie in einer inkompressiblen Flüssigkeit:

Resonante kinetische Energie:

$$E_k = \frac{\rho}{2} \int v^2 dv; \text{ bilde Zeitableitung:}$$

$$\frac{\partial}{\partial t} E_k = \frac{\partial}{\partial t} \frac{\rho v^2}{2} = \rho v_i \underbrace{\frac{\partial v_i}{\partial t}}$$

aus NSG ableiten:

$$\begin{aligned} \frac{\partial v_i}{\partial t} &= - u_k \frac{\partial v_i}{\partial x_k} - \frac{1}{\rho} \frac{\partial p}{\partial x_i} + \underbrace{\frac{1}{\rho} \frac{\partial}{\partial x_k} \sigma_{ik}^1}_{= \frac{\eta}{\rho} \Delta v} \end{aligned}$$

mit dem Reibungsterm

$$\sigma_{ik}^1 = \gamma \left[\frac{\partial v_i}{\partial x_k} + \frac{\partial v_k}{\partial x_i} \right] \text{ bei inkompressiblen Flüssigkeiten}$$

(\equiv der Teil des Impulsstromes, der nicht mit dem unmittelbaren Transport des Impulses gemeinsam mit dem Rest des bewegten Fluids zusammenhängt)

$\Rightarrow \dots \Rightarrow$

$$\frac{d}{dt} E_k = -\frac{\gamma}{2} \int_V \left[\frac{\partial u_i}{\partial x_k} + \frac{\partial u_k}{\partial x_i} \right]^2 dV \quad i, k = 1, 2, 3$$

Energieabsorption in einem inkompressiblen Flüssig; sie bewirkt eine Abnahme der mechanischen Energie:

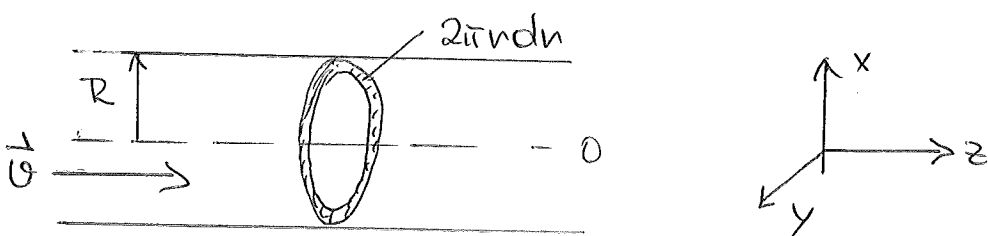
$\frac{d}{dt} E_k < 0$ (Das Integral ist wg. der quadratischen Integranden stets positiv; demnach muss der Dämpfungscoefficient $\gamma > 0$ sein;

$$\frac{d}{dt} E_k \propto -\gamma$$

3.3 Hagen-Poiseuillesches Gesetz

Strömung einer inkompressiblen zähnen Flüssigkeit durch ein Rohr („Poisuille-Strömung“)

$$\frac{\Delta p}{l} \ll 1, \quad g \approx \text{const}, \quad \frac{\partial p}{\partial t} = 0 \Rightarrow \vec{\nabla} \phi = 0$$



Durchflussmenge Q :

$$Q = 2\pi g \int_0^R r u(r) dr$$

Voraus.: keine Querschnittsanwendung; stationäre Strömung
 $\Rightarrow \vec{u}$ hängt nur von x und y ab. Die Kontinuitätsgleichung ist identisch erfüllt,

$$\frac{\partial}{\partial x} u_x + \frac{\partial}{\partial y} u_y = 0.$$

Berechnung des Geschwindigkeitsprofil über dem

Querschnitt:

x - und y -Komponente der NSG ergeben

$$\frac{\partial p}{\partial x} = \frac{\partial p}{\partial y} = 0 : p \text{ bleibt über dem Rohrquerschnitt konstant}$$

Die z -Komponente folgt aus der NSG als

$$\frac{\partial \vec{v}}{\partial t} + (\vec{v} \nabla) \vec{v} = - \frac{\vec{\nabla} p}{\rho} + \frac{\eta}{\rho} \Delta \vec{v}$$

$$\downarrow \quad \downarrow$$

$\vec{v} = 0$: konvektiver Fluss vernachlässigen, lineare Näherung

$$\Rightarrow \Delta \vec{v} = \frac{\vec{\nabla} p}{\eta} = \frac{1}{\eta} \frac{dp}{dz} \approx - \frac{\Delta p}{\eta \cdot l} \text{ mit } \Delta p = \text{Druckdifferenz an den Rohrenden}$$

(-: Druck fällt ab)

$$\Rightarrow \frac{\partial^2 v}{\partial x^2} + \frac{\partial^2 v}{\partial y^2} = \frac{1}{\eta} \frac{dp}{dz} \quad l = \text{Rohrlänge}$$

\vec{v} hängt nur von x, y ab

$$\Rightarrow \boxed{\frac{dp}{dz} = \text{const}}$$

d.h. die Geschwindigkeitsverteilung im Flüssigkeitshohlraum wird durch eine zahlenl. Gleichung vom Typ

$$\boxed{\Delta \vec{v} = \text{const}}$$

bestimmt.

mit der Randbedingung $\vec{v} = 0$ am Rohrende
als Folge der Unisurität.

In Polarkoordinaten ist

$$\vec{v}(r) = v(r)$$

$$\frac{1}{r} \frac{\partial}{\partial r} \left(r \frac{\partial v}{\partial r} \right) = - \frac{\Delta p}{\eta \cdot l}$$

Integration \Rightarrow (Aufgabe!)

$$v(r) = -\frac{\Delta P}{4\eta l} r^2 + a \ln r + b$$

Die Geschwindigkeit muss über das ganze Rohr insc. Mittelachse ($r=0$!) endlich bleiben $\Rightarrow Q=0$

Bestimmung von b :

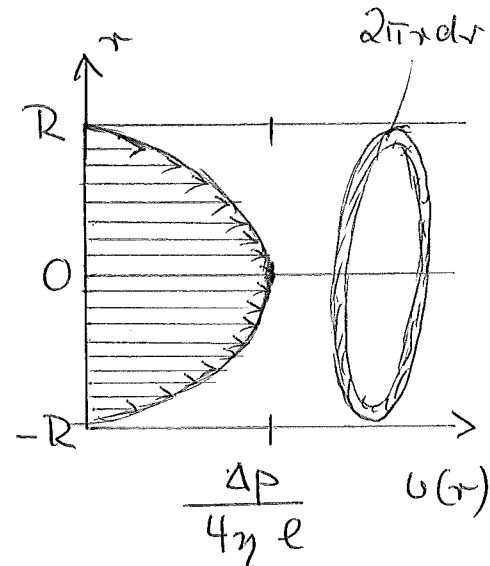
$v(r) = 0$ für $r = \pm R$, viskose Flüssigkeit am Rand:

$$0 = -\frac{\Delta P}{4\eta l} R^2 + b \Rightarrow b = \frac{\Delta P}{4\eta l} R^2 \Rightarrow$$

$$v(r) = -\frac{\Delta P}{4\eta l} r^2 + \frac{\Delta P}{4\eta l} R^2$$

$$\boxed{v(r) = \frac{\Delta P}{4\eta l} (R^2 - r^2)}$$

parabolischer Geschwindigkeitsprofil über den Radius des Rohres.



Durchflussmenge als Funktion von R :

Durch den Weisnring durchströmt pro Sekunde die Flüssigkeitsmenge $g \cdot v \cdot 2\pi r dr$

Integration über alle Weisnringe:

$$Q = 2\pi g \int_0^R r \cdot v dr$$

Θ einsetzen \Rightarrow

$$Q = \frac{2\pi \rho A P}{4\eta l} \int_0^R r (R^2 - r^2) dr$$

$$= \frac{\pi \rho A P}{2\eta l} \underbrace{\left[\frac{1}{2} R^2 \cdot R^2 - \left[\frac{1}{4} r^4 \right]_0^R \right]}_{= \frac{1}{4} R^4}; \text{ mit } \gamma = \nu \cdot \rho$$

$$= \frac{\pi \rho A P}{2 \nu \rho \cdot l} \cdot \frac{1}{4} R^4$$

$$Q = \frac{\pi \Delta P}{8 \nu \rho l} R^4$$

unabhängig von der Dichte ρ des Fluids

bzw.

$$Q = \frac{\pi \Delta P \cdot \rho}{8 \eta l} R^4$$

mit der dynamischen Viskosität η

\Rightarrow es ergibt sich das (empirisch bekannte, $Q \propto R^4$)

Hagen-Poiseuillesche Gesetz,

G. Hagen 1839
J. Poiseuille 1840 } empirisch bestimmt

G.G. Stokes 1845, theoretische Herleitung wie oben.

3.4 Reynoldsche Zahl; Turbulenzwirkungen

Was sind die NSG,

$$\frac{\partial \vec{v}}{\partial t} + (\vec{v} \cdot \vec{\nabla}) \vec{v} = -\frac{\vec{\nabla} p}{\rho} + \frac{\eta}{\rho} \Delta \vec{v}$$

und die Kontinuitätsgleichung

$$\frac{\partial \rho}{\partial t} + \vec{\nabla}(\rho \vec{v}) = 0 \text{ bei kompressiblen Fluiden,}$$

und $\vec{\nabla} \cdot \vec{v} = 0$ bei inkompressiblen Fluiden,

Grundlagen für die Darstellung der geraden Flüssigkeitserscheinungen.

Dennoch ist die Frage der Stabilität einer Strömung, d.h. das Umschlagen von laminarer in turbulente (chaotische) Strömung, auf dieser Grundlage noch nicht vollständig beschreibbar.

Ein wichtiges Stabilitätskriterium liefert die Reynoldssche Zahl Re.

Sie ist ein Maß für die Stärke der konvektiven relativ zu viskosität; das Umschlagen von laminarer in turbulente Strömung wird durch einen kritischen Wert der Reynoldsschen Zahl gekennzeichnet. Sie hat z.B. bei Reibungsströmungen (Poissonelle, s.o.) einen bestimmten Wert, der nicht vom Durchmesser des Rohrs abhängt.

Der englische Physiker Osborne Reynolds untersuchte im 19. Jhd. Strömungen verschiedener Geschwindigkeiten durch Röhren verschiedenen Durchmessers. Anhand eines gefärbten Flüssigkeitsträgers beobachtete er das Auftreten von Laminar in twistende Strömung:



Die Fäden verlaufen parallel zu Röhrenachse: regelmäßig geschichtete, laminare Strömung wie bei Hagen-Poiseuille

} Untergliederte Schlangenbewegungen des Fadens; Seifenbewegungen, die die ganze Röhre ausfüllen:
twistende Strömung

Reynolds beschreibt diese Ergebnisse unter dem Perspektivpunkt eines „Ähnlichkeitssatzes“:

Vergleicht zweier Anordnungen, die sich nur in den Hagelinkheiten (Skalen) unterscheiden, bzw.

2 Röhren mit unterschiedlichen Radien R_1, R_2 ,

wie ändert sich die Navier-Stokes-Gleichung beim Übergang vom System 1 zum System 2?



$R_2 = \alpha R_1 \Rightarrow \alpha$ ist die Skala für die Änderung aller Längeneinheiten, d.h.

$x_2 = \alpha x_1, y_2 = \alpha y_1, z_2 = \alpha z_1$, für zwei „kongruente“ Punkte in den Röhren.

Mittlere Reservenindifferenzen in ①, ②:

$v_1, v_2 : v_2 = \beta v_1$; wegen $[v] = \frac{m}{s}$ legt $\frac{\alpha}{\beta}$ die Änderung der Zeiteinheit fest:
 $t_2 = \frac{\alpha}{\beta} t_1$.

Die Röhren können mit Flüssigkeiten verschiedener Dichte und Viskosität gefüllt sein:

$$\rho_2 = \gamma \rho_1 \quad [\gamma] = \frac{kg}{m^3}$$

$\Rightarrow \gamma^3 \cdot \alpha$ legt die Änderung der Masseeinheit fest,
 $m_2 = \gamma^3 \alpha m_1$

mit der kinematischen Zähligkeit $\nu = \frac{\gamma}{\rho}$,

$$v_2 = \gamma v_1$$

sowie den Drücken in kongruenten Querschnitten,

$$p_2 = \epsilon p_1 \quad (\epsilon lässt sich auch durch \alpha, \beta, \gamma ausdrücken -)$$

⇒ Transformation der Navier-Stokes Gl.

$$\boxed{\frac{\partial \vec{v}}{\partial t} + (\vec{v} \cdot \nabla) \vec{v} - \nu \Delta \vec{v} + \frac{\nabla p}{\rho} = 0}$$

beim Übergang $1 \rightarrow 2$

$$\left[\frac{v}{t} \right] \quad \left[\frac{v^2}{s} \right] = \frac{m}{s^2}$$

1) Der Beschleunigungsbein ändert sich beim

Übergang $1 \rightarrow 2$ wegen $R_2 = \alpha R_1$, $v_2 = \beta v_1$ um $\boxed{\frac{\beta^2}{\alpha}}$.

2) Der Zähligkeitsbein ändert sich wegen

$$v_2 = \beta v_1, \quad \nu_2 = \delta \nu_1 \text{ um } \boxed{\delta \frac{\beta}{\alpha^2}},$$

3) Der Druckbein wird geändert um

$$R_2 = \alpha R_1, \quad g_2 = \delta g_1, \quad p_2 = \epsilon p_1 : \boxed{\frac{1}{\delta} \frac{\epsilon}{\alpha}}$$

Soll die NSG für beide Annahmen ①, ② erfüllt sein, muss das Verhältnis dieser 3 Faktoren gleich 1 sein,

$$\frac{\beta^2}{\alpha} : \delta \frac{\beta}{\alpha^2} : \frac{1}{\delta} \frac{\epsilon}{\alpha} = 1 : 1 : 1$$

$$\Rightarrow \frac{\beta \alpha}{\delta} = 1 \wedge \frac{\epsilon}{\delta \beta^2} = 1 \quad]$$

$$\stackrel{!}{=} \boxed{\frac{v_1 R_1}{\nu_1} = \frac{v_2 R_2}{\nu_2}}, \quad \boxed{\frac{p_1}{g_1 v_1^2} = \frac{p_2}{g_2 v_2^2}}$$

Ergeniss der Reynoldschen Ähnlichkeitstheorie
(1883)

In der Literatur wird meist nur die erste
Faktur als Reynoldssches Kriterium bezeichnet
(obwohl die zweite nur ein hinterkommendes Kriterium
dazugehört)

\Rightarrow ist ① laminar, so auch ②
 " ① turbulent, " " ② .

Die durch die dimensionslose Zahl
 ist die Reynoldssche Zahl,

$$Re = \frac{\omega R}{\nu} \equiv \frac{\rho \omega R}{\eta} = \frac{\text{Durchflutung}}{\text{Viskosität}} \sim \frac{\rho (\vec{v} \cdot \vec{r}) \vec{v}}{\eta \Delta \vec{v}}$$

wobei R -jewache Versuchsausdehnung - eine räumliche
 Abmessung ist (nicht notwendigerweise ein Radius).

Die durch die 2. Bedingung definierte Zahl ist

$$S = \frac{P}{\rho \omega^2}$$

Der Umschlagen von laminar in turbulente Strömung
 ist ein für beide Röhren ① und ② ähnlicher Vorgang,
 der durch denselben Zahlenwert von Re gekennzeichnet
 wird, die kritische Reynoldssche Zahl ($R \rightarrow e$)

$$Re_{krit} = \left(\frac{\rho \omega e}{\eta} \right)_{krit}$$

für jeden Strömungstyp gibt es ein eigenes Re_{krit}

\Rightarrow Re_{krit} ist keine universelle Größe.

Der Wert von Re hängt auch von der Art des
 Zuflusses zum Rohr ab. Bei trumpetenförmigem
Einfüllauf  ist die Strömung anfangs
laminar, und bleibt es bei großem Re .

Bei "schwefem" Einfang \Rightarrow ist die Auffangströmung ohne Seitenkomponenten gestört, und der Überschlag zur Turbulenz findet bei relativ niedrigem Re statt:

$$\left. \begin{array}{l} Re_{crit} \approx 1200, \text{ unregelmäßiger Einfang} \\ Re_{crit} \approx 20000, \text{ gut abgesmeidet} \end{array} \right\} \text{im Plastrohr}$$

\Rightarrow Konstante des kritischen Reynolds-Zahl neu bei Störungen mit ähnlichen Aufangsbedingungen,

Wie kommt der Überschlag laminar/Turbulent zustande?

Bisher schien die Hagen-Poiseuille-Störung stets eine mögliche Störungsform zu sein - aber für

$Re > Re_{crit}$ ist sie nicht mehr stabil.

- Die Diskontinuität wirkt auf die Bewegung von Seitenbewegungen hin, und begünstigt laminare Verhalten.
- Die Trägheit verlangt die Erhaltung der Seitenkomponenten, wirkt also zugunsten der Turbulenz

(Zeigt sich in $r = \frac{\eta}{\rho}$: vergrößere $\eta \Rightarrow$ großer $o.l.$, um gleiche Re zu erreichen)

$\xrightarrow{-\text{vergrößere } \eta \Rightarrow \text{laminar}}$

Die Stabilität der laminaren Strömung lässt sich steigern, indem man Seitenbewegungen beim Einfang durch Abremsung verhindert.

3.5 Strömungen mit kleinem Re: Stokesche Formel

Für $Re \ll 1$ vereinfacht sich die Navier-Stokes-Gleichung stark.

Bei stationärer Strömung einer inkompressiblen Flüssigkeit:

$$\boxed{(\vec{\omega} \cdot \vec{\nabla}) \vec{\omega} = -\frac{1}{\rho} \vec{\nabla} p + \frac{\eta}{\rho} \Delta \vec{\omega}}$$

Die Reynolds-Zahl gibt i. W. das Verhältnis von konvektivem zu dissipativem Anteil wieder,

$$\frac{\rho (\vec{\omega} \cdot \vec{\nabla}) \vec{\omega}}{\eta \Delta \vec{\omega}} \sim Re,$$

so dass für $Re \ll 1$ der konvektive Anteil vernachlässigbar ist, und die Bewegungsgleichung linear wird (davon hatten wir die Poiseuille-Strömung berechnet),

$$\boxed{\eta \Delta \vec{\omega} - \vec{\nabla} p = 0}$$

und mit der Kontinuitätsgleichung die Strömung vollständig bestimmt ist, $\vec{\nabla} \cdot \vec{\omega} = 0$.

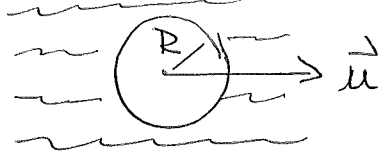
Durch Bilden des Rotationsfolgt:

$$\boxed{\Delta (\vec{\nabla} \times \vec{\omega}) = 0}$$

Davon hat G.G. Stokes (1851) seine Formel für die Widerstandskraft auf eine bewegte Kugel in einer Flüssigkeit abgeleitet. Radikaler R in einer viskosen Flüssigkeit abgeleitet. [aber jedoch ohne Ableitung]

\Rightarrow Stokesche Formel

für die Widerstandskraft auf
eine langsame im Flüssigkeit bewegte
Kugel (Schwimmerswiderstand)



$$\vec{F} = -6\pi R \gamma \vec{u}$$

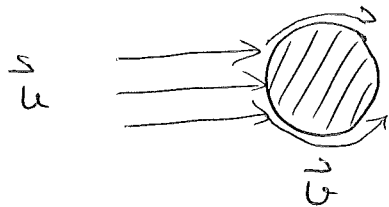
\vec{u} = Geschwindigkeit der
Kugel

$$F \propto R, \gamma, u; F \parallel \vec{u}$$

für körper andere Formen ist nicht die Rückwirkung oder
Widerstandskraft i.e. wirkt mit abweichen ob
Rechenmöglichkeit übersteigt; der Widerstand hängt ab
auch von u und den Abmessungen ab.

allg. Ergebnis: $F = \frac{3}{2} \gamma u \cdot \phi_{\text{olf}}$; Kugel: $\phi_{\text{olf}} = 4\pi R^2$
 \Rightarrow Stokes .

Die Stokesche Lösung des Schwimmersproblems ist äquivalent
zu Umströmung einer festen Kugel in einem Flüssigkeits-
strom, der im Unendlichen die Geschwindigkeit \vec{u} hat;
dass \vec{v} -Feld in der Nähe der Kugel erlaubt dann die
Stokesche Lösung:



Für genügend große Entfernungen vom
Kugel ist die Stokesche Lösung
jedoch nicht anwendbar trotz $Re \ll 1$.

Dort wird $\vec{v} \approx \vec{u}$; das konvektive-
glied $(\vec{v} \vec{\nabla}) \vec{v}$ muss berücksichtigt
werden. Eine Näherungslösung
gelang C.W. Oseen (1910):

Oseen'sche Gleichung

als Verbesserung der Stokeschen Formel für große Entfernenzen von der Kugel $r \gg R$:

durch Linearisierung des Konvektionsgliedes in der Form $(\vec{u} \vec{\nabla}) \vec{v} \rightarrow (\vec{u} \vec{\nabla})$, so dass

$$(\vec{u} \vec{\nabla}) \vec{v} = -\frac{1}{\rho} \vec{\nabla} p + \nu \Delta \vec{v}$$

C. W. Oseen*, 1910 $\vec{v}(\vec{u})$

Nach der daraus erhaltenen Geschwindigkeitsverteilung (\vec{u}) folgt eine genauere Formel für den Stromungswiderstand (gegen \vec{u}).

Als nächster Schritt der Entwicklung des Widerstands

nach der Reynolds-Zahl $Re = \frac{u \cdot l}{\nu}$ erhält man

(s. H. Lamb, "Hydrodynamics", Cambridge 1924)

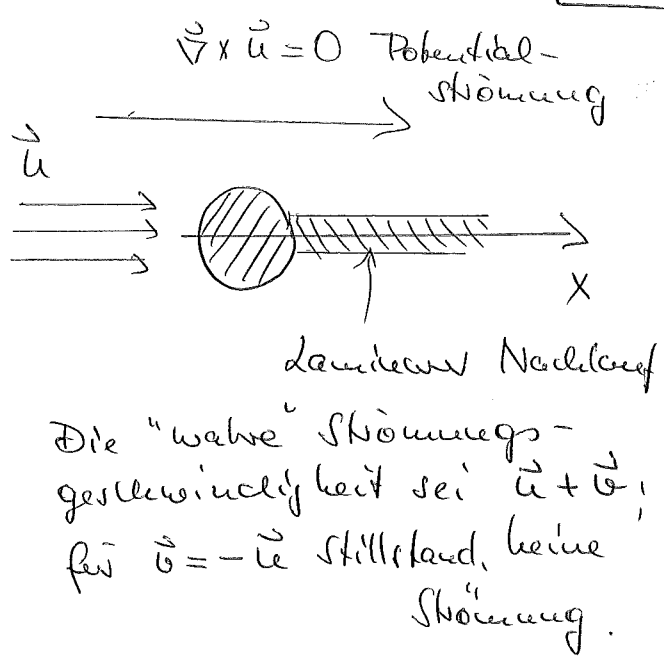
$$\vec{F} = -6\pi \eta \vec{u} R \left(1 + \frac{3Re}{8} \right)$$

Für kleine Entfernenzen $l \sim R$ ergibt dies nur eine sehr periodifige Verbesserung der Stokeschen Formel, aber für $l \gg R$ wird der Unterschied merklich.

* C. W. Oseen (*1879 Lund - 1944 Uppsala; Direktor des Nobel-Instituts in Stockholm)

3.6 Laminarer Nachlauf

Die Strömung einer zähen Flüssigkeit um einen festen Körper wird in großen Entferungen hinter dem Körper unabhängig von seiner Gestalt.



Die "wahre" Strömungs geschwindigkeit sei $\vec{u} + \vec{v}$, bei $\vec{v} = -\vec{u}$ stillstand, keine Strömung.

Für große Entferungen hinter dem Körper ist \vec{v} nur im schmalen Band des Laminaren Nachlaufs von 0 verschieden.

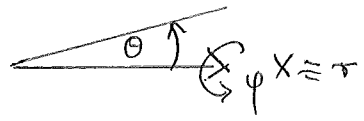
Außer im Nachlauf kann die Strömung überall als Potentialsströmung angesehen werden ($\nabla \times \vec{u} = 0$) (wie bei einer idealen Flüssigkeit), da der Effekt von η auf Stromlinien, die in genügend großer Entfernung am Körper vorbeigehen, unbedeutend ist: die Viskosität am Körper wirkt nur am unstörten Körper, und im Nachlauf.

⇒ Problem: Wie hängt die Strömung im Nachlauf mit den Werten auf den ungestörten Körper zusammen?

⇒ NSG für stationäre Strömung in Offenerer Näherung verwenden:

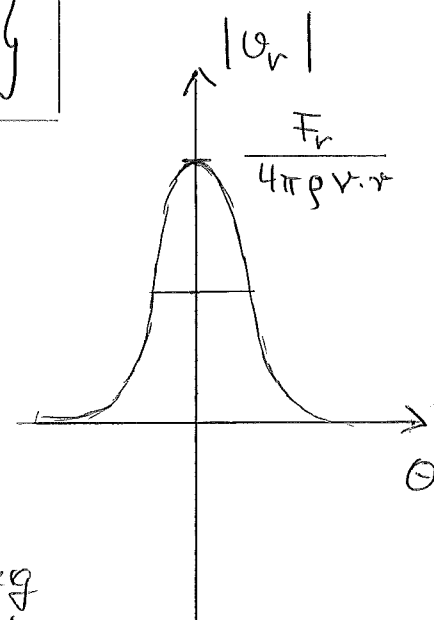
$$(\vec{u} \cdot \nabla) \vec{u} = -\nabla \frac{P}{\rho} + \nu \Delta \vec{u}$$

Die Lösung der Nachlauf ergibt in kugelkoordinaten in gewissem Abstand größer Entfernung $\rightarrow \infty$ vom Körper (Probe durch Einsetzen!)



$$u_r(\theta) = -\frac{F_r}{4\pi \rho v r} \exp\left\{-\frac{u_r \cdot \theta}{4v}\right\}$$

Das Ergebnis ist negativ, dann die Strömung ist im Nachlauf langsamer als in Abwesenheit des Körpers (relative Strömungsgeschwindigkeit $\vec{u} + \vec{v}$)



Außenhalb des Nachlaufs ist die Strömung eine reine Potentialströmung; das Potential ϕ ergibt sich durch Lösen der Laplace-Gleichung

$$\Delta \phi = 0, \quad \vec{v} = -\vec{\nabla} \phi$$

für das Geschwindigkeitspotential,

$$\phi = \frac{1}{4\pi \rho v r} \left[-F_x + F_y \cos \varphi \cot \frac{\theta}{2} \right]$$

$$\text{d.h. } \phi \propto \frac{1}{r}, \quad v \propto \frac{1}{r^2}$$

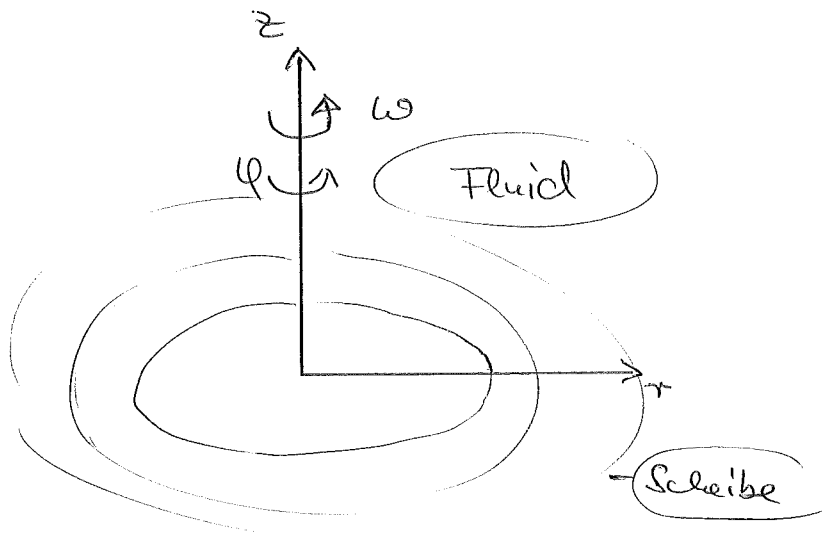
Soffern keine Auftrete (Gravitationsfeld) vorhanden ist, bleibt die Strömung außerhalb des Nachlaufs axialsymmetrisch.

3.7 Beispiel exakte Lösung: Rotierende Schleife

Echte Lösungen von NSG und Kontinuitätsgleichung sind nur in wenigen Fällen möglich. Damit sie physikalisch interessant sind, müssen sie die gleichen erfüllen und stabil sein: wechselt keine Stärken zeitlich an, wird die Strömung instabil, es entsteht Turbulenz.

Beispiel für eine stabile Lösung: Rotierende Schleife

(Th. v. Kármán 1921)



Eine exakte geplante Schleife rotiert in einer obliegenden Flüssigkeit gleichförmig um die z -Achse und versetzt die Flüssigkeit in Bewegung.

Die Strömung des Fluids soll berechnet werden (Zylinderkoord. r, φ, z)

$$z=0: u_r = 0, u_\varphi = \omega r, u_z = 0$$

$$z=\infty: u_r = 0, u_\varphi = 0; \text{ exist } u_z \neq 0 \text{ für } z \rightarrow \infty \quad (u_z \rightarrow -\text{const.})$$

die konstante u_z folgt aus den Bewegungsgleichungen bestimmt,

Der Fluid strebt radial von der Rotationsachse weg, v. e., in der Nähe der Schleife. Zur Sicherung der Kontinuität (= Daseinshaltung) in der Flüssigkeit muss deshalb ein konstanter vertikaler Strom aus dem unendlichen zu der Schleife hin existieren.

Man sieht Lösungen der Bewegungsgleichungen
in der Form

$$v_r = r\omega F(z_1), \quad v_\varphi = r\omega G(z_1), \quad v_z = \sqrt{v_r \cdot \omega} + H(z_1)$$

$$P = -g \cdot v_r \cdot \omega P(z_1) \text{ mit } z_1 = \sqrt{\frac{\omega}{v}} z : \quad [\sqrt{v_r \cdot \omega}] = \sqrt{\frac{m^2 \cdot l}{s}} \\ = \frac{m}{s} v$$

die radiale und φ -Komponente der Geschwindigkeit
sind prop. zum Abstand r von der Drehachse der
Schleife, während die vertikale Geschwindigkeit v_z
in jeder horizontalen Ebene konstant ist.

Einfügen in die NSG ergibt für die 3 Komponenten

(mit $I = \frac{d}{dz_1}$) :

$$\frac{\partial z_1}{\partial z} = \sqrt{\frac{\omega}{v}}$$

$$(\vec{v} \cdot \vec{\nabla}) \vec{v} = - \frac{\vec{\nabla} P}{g} + v \Delta \vec{v}$$

$$\Rightarrow F^2 - G^2 + I^2 H = F''$$

$$2FG + G'I = G''$$

$$HH' = P^I + H''$$

Die Kontinuitätsgleichung $\vec{\nabla}(g \vec{v}) = 0$ ergibt

$$\Rightarrow 2F + H' = 0 \quad \leftarrow \begin{cases} \frac{1}{r} \frac{\partial}{\partial r} r v_r + \frac{1}{r} \frac{\partial v_\varphi}{\partial \varphi} + \frac{\partial v_z}{\partial z} \\ = 2\omega F + \sqrt{v_r \cdot \omega} \cdot \sqrt{\frac{\omega}{v}} \cdot H' \end{cases}$$

Die Randbedingungen werden

$$z_1 = 0 : \quad F = 0, \quad G = 1, \quad H = 0$$

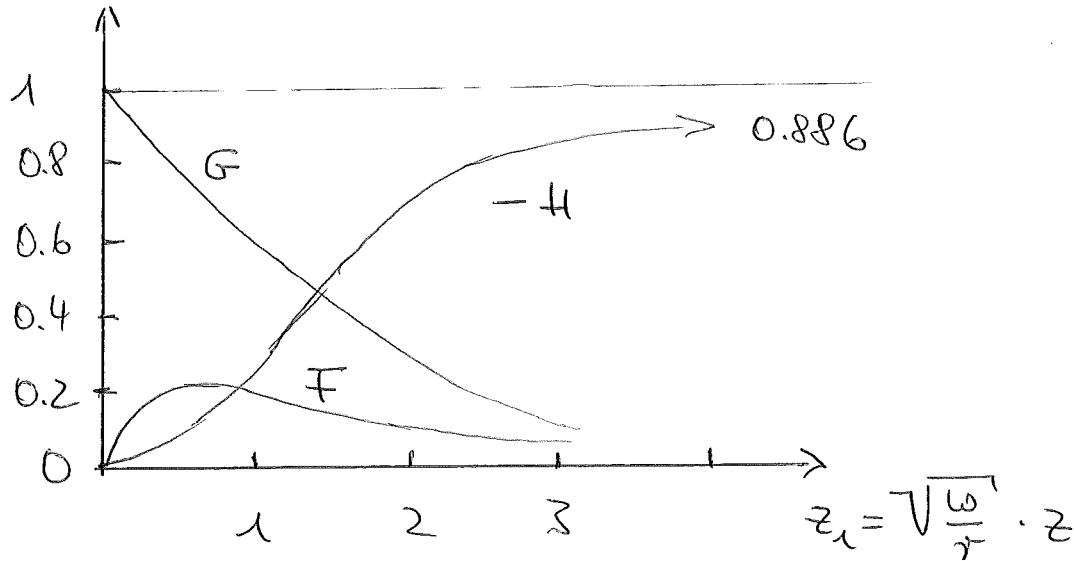
$$z_1 = \infty : \quad F = 0, \quad G = 0$$

$$= 2\omega F + \omega H' = 0 \quad \leftarrow \frac{\partial z_1}{\partial z}$$

\Rightarrow die Lösung ist auf die Integration eines
Systems von 4 gewöhnlichen DGLn mit einer
unbekannten zweidegeföhrt; sie kann numerisch
erfolgen.

Die Geschwindigkeit der Flüssigkeitsströmung aus einem umgedrehten zw. Schieber hin ist

$$v_z(\infty) = \sqrt{r \cdot \omega} + H(z_1 \rightarrow \infty) = -0.886 \sqrt{r \cdot \omega}$$



Die Reibungskraft auf die Schieibe \perp zum Radialen pro Flächeneinheit ist

$$\begin{aligned} \sigma_{z\varphi} &= \gamma \left(\frac{\partial v_\varphi}{\partial z} \right)_{z=0} = \gamma r \omega \frac{\partial G(z_1)}{\partial z} \Big|_{z=0} = \gamma \cdot r \cdot \omega \frac{\partial z_1}{\partial z} \frac{\partial G}{\partial z_1} \Big|_{z_1=0} = \\ &= \gamma r \omega \sqrt{\frac{\omega}{r}} G'(0) = r \cdot \rho \cdot r \cdot \omega \sqrt{\frac{\omega}{r}} G'(0) = \\ &= \underline{\underline{r \cdot \rho \sqrt{r \omega^3} G'(0)}} \\ \Rightarrow \sigma_{z\varphi} &\propto \underline{\underline{r, \sqrt{r \cdot \omega^3}}} \end{aligned}$$

Bei Vernachlässigung der Randeffekte an der Schieibe können wir für eine große, aber endliche Schieibe (Radius R) das Drehmoment der Reibungskräfte schreiben als (für 2 Seiten der Schieibe: $2x$)

$$M = 2 \cdot \int_0^R 2\pi r^2 \sigma_{z\varphi} dr = \pi R^4 \rho \sqrt{r \omega^3} G'(0); \text{ numerisch} \Rightarrow$$

$$\boxed{M = -1.94 R^4 \rho \sqrt{r \omega^3}} \quad \begin{array}{l} \text{Drehmoment der Reibungskräfte} \\ \text{auf die Schieibe, } M \propto R^4, \rho, \sqrt{r} \end{array}$$

4. Turbulenz

4.1 Übergang zu Turbulenz, doppelte Schallwelle,

Laminare Strömungen eines viskosen Fluids

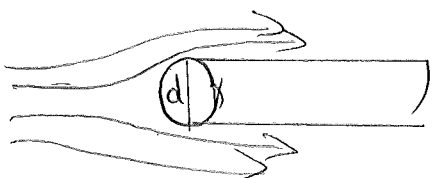
werden für große Reynolds-Zahlen $Re = \frac{\rho \cdot d}{\eta} = \frac{\rho \cdot U \cdot d}{\eta} > Re_{krit}$

i.e. instabil gegenüber infinitesimalen Störungen:

die Störung wächst nicht mit der Zeit ab, sondern wächst an, die Strömung wird turbulent.

Für jeden Strömungstyp gibt es ein eigenes Re_{krit} :

z.B. bei der Strömung um feste Körper:



Wert ist i.a. $10 \leq Re_{krit} \lesssim 100$.

Im turbulenten Fall lässt sich die NSG mit einer turbulentzerzeugenden Kraft \vec{f} schreiben als

$$\boxed{\frac{\partial \vec{v}}{\partial t} = -(\vec{v} \vec{\nabla}) \vec{v} - \frac{\vec{\nabla} p}{\rho} + \nu \Delta \vec{v} + \vec{f}}$$

Analytische Lsgen im turbulenten Fall gibt es nicht, und sie wären auch wenig sinnvoll, da man jetzt den statischen Mittelwert interessiert ist: für die mittlere Geschwindigkeit $\langle v \rangle$, die mittlere quadratische Geschwindigkeit $\langle v^2 \rangle$, $\langle \dot{v} \rangle$, die mittlere dissipative Energie $\langle E_d \rangle$ (pro Zeit- und Flächenheit), etc. In manchen Fällen lassen sie sich näherungsweise berechnen, insbes. bei "entwickelter Turbulenz" (= voll turbulent Strömung), dann ist ein Beispiel der Einführung der Renomierungsgruppe (v. Weizsäcker 1948)

so found man für die mittlere quadratische Geschwindigkeit als Funktion des Abstandes vom Wirbelzentrum (analog für die Wirbelenergie $\langle E \rangle \sim \langle u^2 \rangle$)

$$\langle u^2 \rangle (r) \propto r^{2/3} \quad \text{"Wirbelverteilungsgesetz"}$$

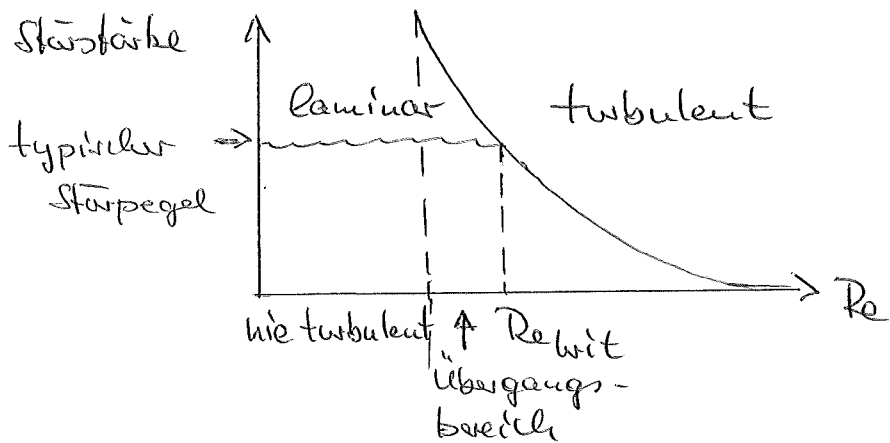
(aus Renormierungssatz \leftarrow C.F.v. Weizsäcker, Z. Physik 124, 614 (1948) für selbstähnliche Strukturen) W. Heisenberg, Z. Physik 124, 628 (1948)

Der exakte Wert des Exponenten ist bis heute nicht berechenbar (man findet empirisch ^{kleine} Abweichungen von $2/3$), da auch die Geschwindigkeitskomponenten und ihre Ableitungen statistische Fluktuationen.

Das Einsetzen der Turbulenz bei großen Reynolds-Zahlen hat Landau 1944 über eine unendliche Folge von Instabilitäten und räumlichen und zeitlichen unregelmäßigen Störungsmechanismen beschrieben.

Bei manchen Störungstypen wie der Rollstörung  gibt es jedoch keine Instabilität, wohl aber Turbulenz. Sie setzt direkt und stark ein; dazu ist eine endliche Störung des laminaren Profils erforderlich (wirkt nur eine infinitesimale Störung, die "nicht aufrechthält")

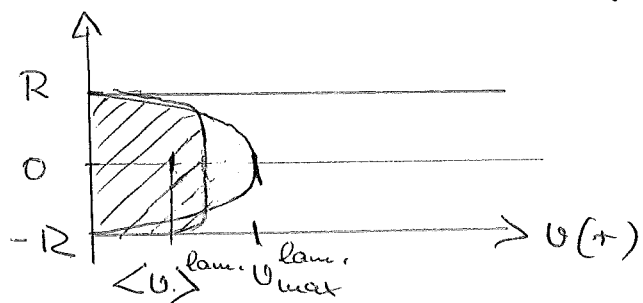
⇒ hier gibt es für den Turbulenzzersetzung eine doppelte Schwelle: sowohl die Reynoldszahl, als auch die Strömung müssen groß genug sein:



Ist die Strömung turbulent geworden, hat sie viele Freiheitsgrade und hochdimensionale Phasenräume (s. slide "Wasserstrahl")

Das Profil der turbulenten Strömung ist wesentlich durch die Nichtlinearität der konvektiven Terme bestimmt, während bei der laminaren Strömung die Viskosität entscheidend ist.

Beispiel Rohrströmung:



$$\left(\langle u \rangle = \frac{\int_0^R r u(r) dr}{\int_0^R r dr} = \frac{\Delta P}{8 \eta L} R^2 \right)$$

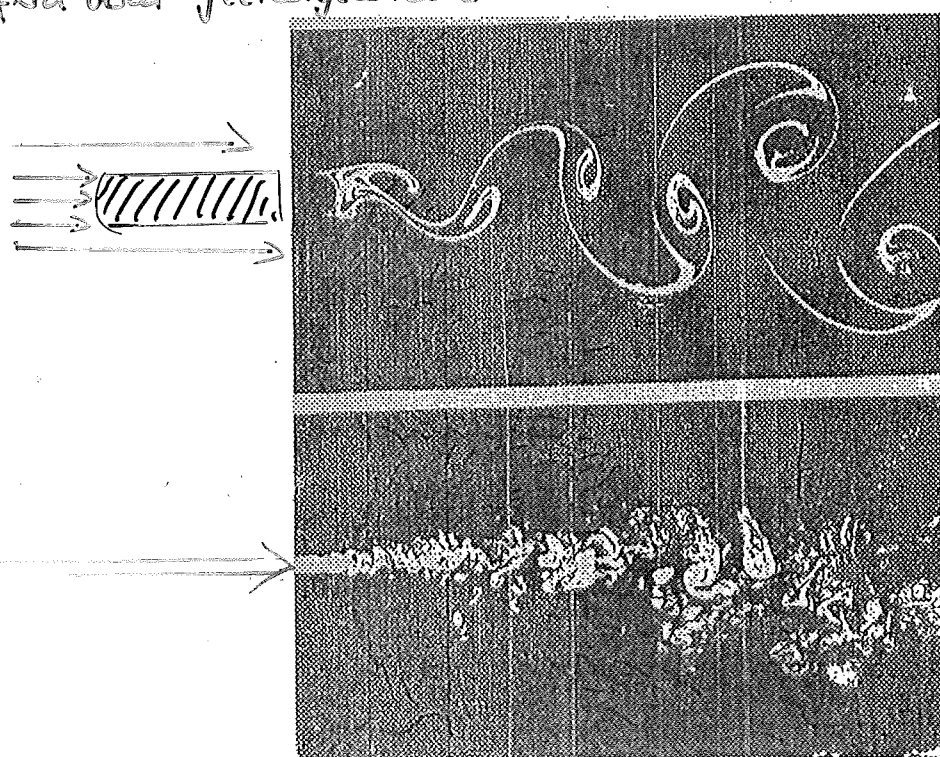
Laminar: Poiseuille-Strömung mit parabolischem Geschwindigkeitsprofil,

$$u(r) = \frac{\Delta P}{4 \eta L} (R^2 - r^2)$$

$$u_{\text{max}}(r=0) = \frac{\Delta P}{4 \eta L} R^2 = 2 \langle u \rangle$$

Folgen der Nichtlinearität

Ordnung u. Struktur in offenen, dissipativen Systemen
fern vom Gleichgewicht



Karlsruher
Wirbelstraße

$Re = 140$

Wasserstrahl strömt
in Wasser und zer-
fällt turbulent
 $Re \approx 2300$

Vielzahligkeit: Gleichartige Strukturen bilden sich in
verschiedenen Größen innerhalb -
geschachtelt aus.

Jur turbulenten Fall muss die zeitliche gew. Helbe Geschwindigkeit betrachtet werden; die individuelle Fluidelement-Geschwindigkeiten variieren stark.

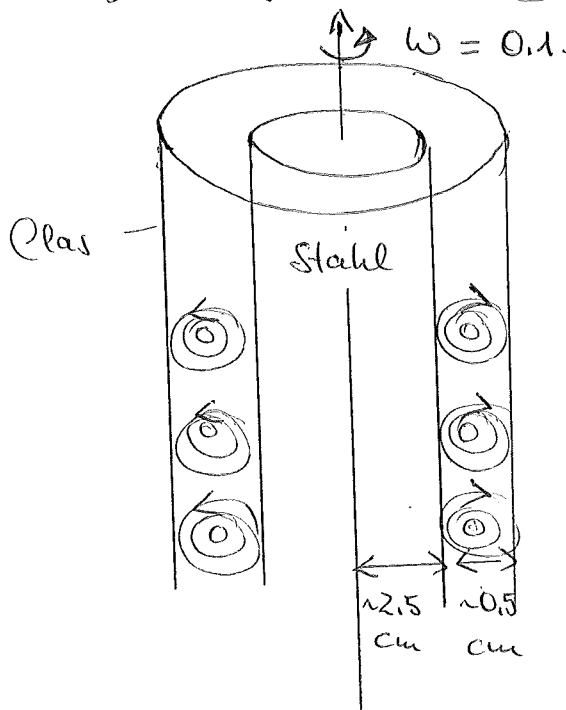
Die Strömung hat kein parabolisches Profil mehr, es ist eine "echig" mit einem Maximalwert für $r=0$ (in der Rohrmitte) etwas über dem Mittelwert der laminaren Strömung. Erst direkt am Rand fällt sie steil auf 0 ab; es bildet sich eine schmale Randzone aus, in der die Strömung durch Viskosität dominiert, und fast laminar ist.

Ohne makroskopische Störung setzt Turbulenz über infolge der Instabilitäten ein:

4.2 Turbulenzeinsatz über Instabilität

dazu zwei Beispiele:

a) Taylor-Couette-Instabilität (1923)



Wasserströmung im Spalt zwischen einem rotierenden Innerzyylinder, und einem fest stehenden, konzentrischen Außenzyylinder.

Bei langzeiter Dreitung ist sie laminar, bei schneller Dreitung gibt es regelmäßige Schlauchwellen, bei sehr schneller Dreitung wird sie unregelmäßig turbulent.

⇒ Die viskose Flüssigkeit hält am rotierenden Innenraum, und am reibenden äußeren Zylinder: es gibt ein Gefälle der azimuthalen Geschwindigkeit $u_\varphi (+)$ von innen nach außen, und infolgedessen ein Gefälle der Zentrifugalkräfte. Wird es hinreichend groß, kommt es zu einer Zentrifugalinstabilität. (Eine zusätzliche Störung gibt es leider nicht).

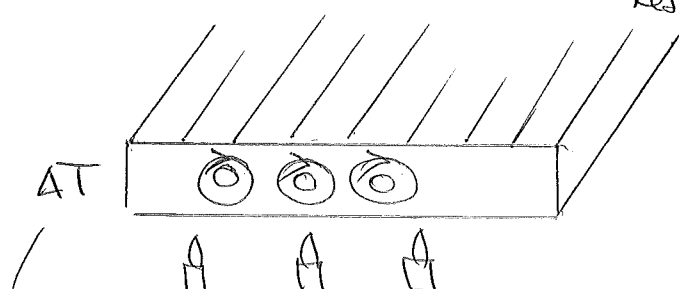
Dreht sich innen der äußere Zylinder, sollte die Strömung laminar bleiben, weil $u_\varphi (+)$ mit r anwächst, so dass auch die Druckwelt anwächst und infolgedessen Störungen zwieliebt.

Dennoch: bei hinreichend großem ω wird die Strömung dennoch turbulent; es muss dann auch hier eine weitere Ursache geben.

b) Rayleigh-Bénard-Zelle

(1816) (1920)

als weiteres Beispiel für hydrodynamische Instabilität: der Auftrieb durch Wärmeausbreitung resultiert in Konvektionszellen, dann in Turbulenz:



Temperaturdifferenz anlegen /

Ober

Eine Flüssigkeitsschicht im Schwerfeld \vec{g} wird oben unten um ΔT (einfache Rand) erwärmt

AT klein: die molekulare Leitfähigkeit sorgt für einen Wärmetransport
AT mittel: Konvektion regelmäßiger Konvektionszellen
AT groß: Turbulenz.

Die Konvektionszellen sind die erste Instabilität; sie entsteht, wenn ein Paar komplexer Eigenwerte die imaginäre Achse kreuzt (». späte Hopf-Bifurkation»).

Das beim Zerfall der konvektionszellen entstehende neue Meerstr ist nicht zeitunabhängig, sondern periodisch mit der Frequenz f_1 . Wird ΔT (oder ω oder Re) weiter erhöht, bleibt auch das neue Meerstr nicht stabil; es folgt die dritte Instabilität, anschliessend gibt es zwei Frequenzen f_1, f_2 (und wegen der Nichtlinearität alle ihre Harmonischen),

Bei der vierten Instabilität kommt nicht einfach eine weitere Frequenz hinzu, sondern das Spektrum wird kontinuierlich, und das Strömungsfeld zeitlich chaotisch. (D. Ruelle u. F. Takens, 1971).

[Bemerk.: Chaos und Turbulenz sind dennoch nicht synonym, da wichtige Gegenbeispiele nicht diesem Weg folgen].

Der Ruelle-Takens-Weg ins hydrodynamische Chaos hat zahlreiche exp. Bestätigungen gefunden; es gibt dabei 3 Grundwege für den Weg ins Chaos über Instabilitäten

(= nicht durch die letzte Zahl ohne Rest teilbar)

- 1) Quasiperiodischer Weg: f_1, f_2 Incommensurabel
- 2) Periodenverdopplung: f_1, f_2 fest verknüpft
- 3) Intermittenz: intermittierender Einstieg eines neuen Meistr.

Alle 3 Wege lasten sich je nach Randbed. bei Rayleigh-Bénard unterscheiden.

4.3 Stabilität stationärer Strömungen

Nicht jede Lösung der NSG für die Bewegung eines zähnen Fluids ist in der Natur realistisch, da es sie muss auch stabil sein, d.h. kleine Störungen müssen mit der Zeit abklingen.

Mathematische Stabilitätsbeurteilung: (L. Landau)

Sei $\vec{U}_0(\vec{r})$ die stationäre Lösung

$\vec{U}_1(\vec{r}, t)$ eine kleine, nicht stationäre Störung

$$\boxed{\vec{U} = \vec{U}_0 + \vec{U}_1} \quad \text{mit } p = p_0 + p_1 \text{ erfüllen NSG, KG:}$$

$$\frac{\partial \vec{U}}{\partial t} + (\vec{U} \cdot \vec{\nabla}) \vec{U} = - \frac{\vec{\nabla} p}{\rho} + \nu \Delta \vec{U}$$

$$\vec{\nabla} \vec{U} = 0$$

\Rightarrow Für den stationären Anteil gilt $\frac{\partial \vec{U}_0}{\partial t} = 0$:

$$(\vec{U}_0 \cdot \vec{\nabla}) \vec{U}_0 = - \frac{\vec{\nabla} p_0}{\rho} + \nu \Delta \vec{U}_0$$

$$\vec{\nabla} \vec{U}_0 = 0$$

und für den gestörten Anteil (Terme höherer Ordnung in \vec{U}_1 werden wg. $|\vec{U}_1| \ll |\vec{U}_0|$ weggelassen):

$$\frac{\partial \vec{U}_1}{\partial t} + (\vec{U}_0 \cdot \vec{\nabla}) \vec{U}_1 + (\vec{U}_1 \cdot \vec{\nabla}) \vec{U}_0 = - \frac{\vec{\nabla} p_1}{\rho} + \nu \Delta \vec{U}_1$$

$$\vec{\nabla} \vec{U}_1 = 0$$

linear in \vec{U}_1

plus die Randbedingung $\vec{v}_1 = 0$ an unbeweglichen festen Wänden

$\Rightarrow \vec{v}_1$ genügt einem System homogener DGLs mit Koeffizienten, die nur Funktionen der Orts sind und nicht von der Zeit abhängen.

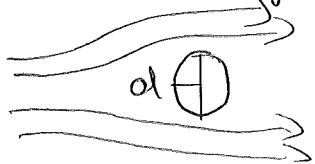
\Rightarrow Die allgemeine Lösung ist eine Summe spezieller Lösungen, in denen \vec{v}_1 über einen Faktor $\vec{v}_1(t) \propto e^{-i\omega t}$ von der Zeit abhängt. Die Frequenzen ω sind durch die Lösungen mit Randbedingungen bestimmt; sie sind komplex: $\omega \in \mathbb{C}$, $\omega = \omega_r + i\omega_i$.

Für positiven Imaginärteil $\omega_i > 0$ wächst $e^{-i\omega_i t}$ unbeschränkt mit $t \Rightarrow$ die Schwingung wird instabil

\Rightarrow Stabile Schwingung $\nabla \omega_i = \text{Im}(\omega) < 0 \quad \forall \omega$.

Die zugehörige mathematische Stabilitätsuntersuchung ist kompliziert, und bei stationären Schwingungen nur Körper mit endlichen Abmessungen bisher nicht gelöst.

Jedenfalls wird die Schwingung für $\text{Re} > \text{Re}_{\text{krit}}$ instabil gegenüber infinitesimalen Störungen; für jeden Schwingungstyp gibt es ein eigenes Re_{krit} , z.B. bei Schwingungen um feste Körper: $10 \leq \text{Re}_{\text{krit}} \leq 100$, v.o.



$$\text{Re} = \frac{\rho \cdot c_l}{\nu} = \frac{\rho \cdot U \cdot c_l}{\eta}, \quad \text{Re}_{\text{krit}} \approx 30$$

$\Rightarrow f_w$

$Re < Re_{krit}$ \rightarrow Störfrequenzen $\omega = \omega_1 + i\gamma_1$ mit $\gamma_1 < 0$:

Stabile Strömung

$Re = Re_{krit} : \exists \omega$ mit $\gamma_1 = 0, \gamma_1(Re_{krit}) = 0$

$Re > Re_{krit} \wedge \gamma_1 > 0$ (mit $\gamma_1 \ll \omega_1$ bei $Re \approx Re_{krit}$):

Turbulente Strömung

Beim Umschöpfen eines endlichen Wipes gibt es nur diskrete Frequenzen mit $\gamma_1 > 0$, welche kontinuierlich.

Nichtstationäre Bewegung bei großem $Re > Re_{krit}$
in der Beschreibung von L. Landau 1944:

Ausatz für das Störfeld \vec{v}_1 :

$\vec{v}_1(\vec{r}, t) = A(t) \vec{r}(t)$ mit komplexer Ortsfunktion \vec{r} ,
 und komplexer Amplitude $A(t)$:

$$A(t) = \text{const. } e^{-i\omega t} = \text{const. } e^{\gamma_1 t} \cdot e^{-i\omega_1 t}$$

auf $t \geq 0$

Wie entwickelt sich die Amplitude ($A(t)$)
 des Störfeldes zeitlich?

Für $\text{Re } \alpha = \text{Re } \omega_1$ strebt die Amplitude des Störfeldes gegen einen endlichen Grenzwert, der sich wie folgt abschätzen lässt:

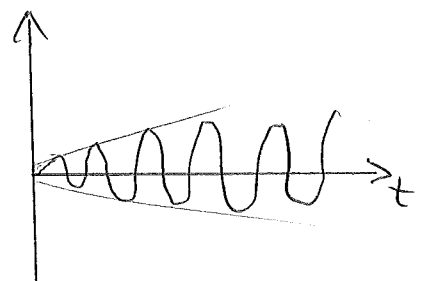
$$\text{Zu kleinen Zeiten ist } |A|^2 = \text{const} \cdot e^{2\gamma_1 t} \underbrace{\left(e^{-i\omega_1 t} + i\omega_1 t \right)}_{= 1}$$

Die zeitliche Änderung des Betagsquadrats der Amplitude wird für kleine Zeiten:

$$\frac{d}{dt} |A|^2 = 2\gamma_1 |A|^2$$

Für größere Zeiten gibt es jedoch Abweichungen von der anfänglichen Amplitudenform; in einer Reihenentwicklung kommen weitere Glieder hinzu.

Es interessiert der zeitliche Mittelwert; die höheren 3. Ordnung enthalten einen periodischen Fehler, der bei Zeitmittelung $\langle |A| \rangle_t$ Null ergibt.



\Rightarrow Bis zugliediger 4. Ordnung folgt:

$$\frac{d}{dt} |A|^2 = 2\gamma_1 |A|^2 - \alpha |A|^4$$

$\alpha = \text{Landau'sche Konstante}$

Lösung:

$$\frac{1}{|A|^2} = \frac{\alpha}{2\gamma_1} + \text{const. } e^{-2\gamma_1 t} \quad (\text{Reihen durchsetzen})$$

(pos. oder neg. !)

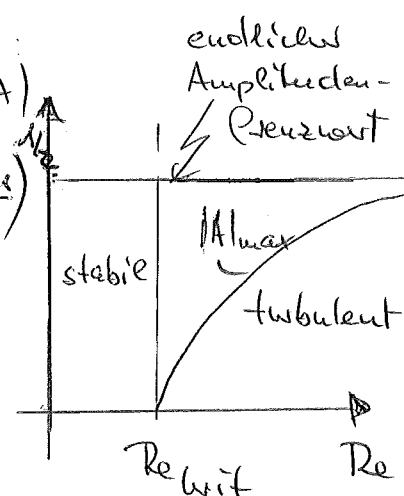
$|A|^2$ strebt für $t \rightarrow \infty$ asymptotisch gegen den endlichen Grenzwert

$$|A|_{\max}^2 = \frac{2\gamma_1}{\alpha}$$

γ_1 ist dabei eine Funktion der Reynoldszahl, mit $\gamma_1(Re_{crit}) = 0$. Sie lässt sich in der Nähe von Re_{crit} in eine Potenzreihe entwickeln; in erster Näherung ist

$$\gamma_1 = \text{const} (Re - Re_{crit})$$

$$\Rightarrow |A|_{\max} \approx \sqrt{\frac{2 \cdot \text{const}}{\alpha}} (Re - Re_{crit})^{1/2}$$



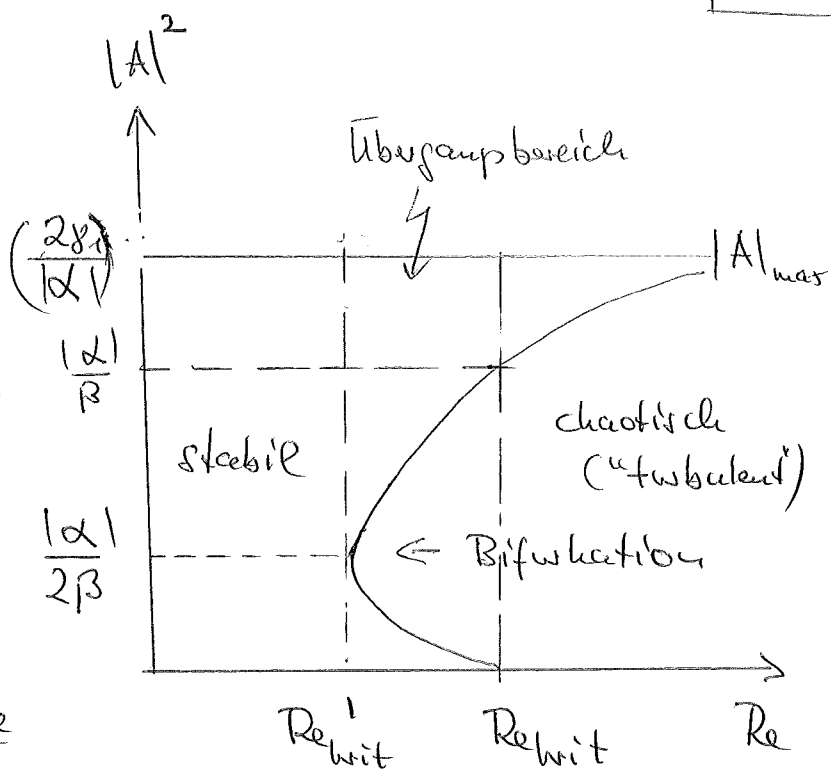
Bei Brüderleidigung eines weiterenglieders in der Entwicklung:

- Die 5. Ordnung fällt bei Zeitmittlung analog zur 3. Ordnung weg:

$$\Rightarrow \left[\frac{d}{dt} |A|^2 = 2\gamma_1 |A|^2 - \alpha |A|^4 - \beta |A|^6 \right], \begin{cases} \beta > 0 \\ \alpha < 0 \end{cases}$$

Lösung (Prüfen durch Einfügen): für $t \rightarrow \infty$

$$|A|_{\max}^2 = \frac{|\alpha|}{2\beta} + \left[\frac{|\alpha|^2}{4\beta^2} + \frac{2|\alpha|}{\beta} \gamma_1 \right]^{1/2}$$



Bei $\underline{Re = Re_{\text{bifit}}}$ nimmt das System sprunghaft eine endliche Amplitude an, $|A| = |d|/\beta$.

Bei $\underline{Re_{\text{bifit}} < Re < Re_{\text{bifit}'}}$

gibt es eine metastabile Strömung, die stabile

gegenüber sehr kleinen Störungen ist ($|A| < \frac{|d|}{2\beta}$)

- sie klingen im Laufe der Zeit ab -,

aber instabil gegenüber Störungen mit endlicher

Amplitude $|A| > \frac{|d|}{2\beta}$.

Für $Re < Re_{\text{bifit}}$ ist die Strömung stabil,

für $Re > Re_{\text{bifit}}$ gibt es keine stabile Strömung.

Die Phase des Störfeldes $A(t)$ bleibt unbestimmt, sie hängt von den zufälligen Anfangsbedingungen ab. Dadurch erhält die Strömung einen Freiheitsgrad, während die statische (stabile) Strömung durch die anderen Bedingungen vollaufendlich bestimmt ist.

4.4 Entwickelte Turbulenz in astrophysikalischen Umgebungen

| H89

Turbulenz erscheint auf sehr unterschiedlichen Skalen, vom Labor bis zu den größten Strukturen im Universum. Voraussetzung ist ein die Gegenwart eines kontinuierlichen, fluidähnlichen Mediums.

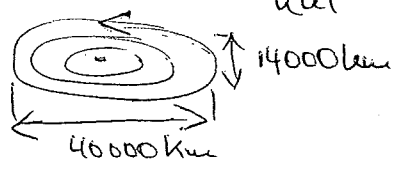
Turbulenz ist eine der wichtigsten (und häufigsten)

Naturerscheinungen; dennoch sind wir von einem

Planeten: Turbulenz essentiell beim Strukturierten der Atmosphäre; zum Wärme- und Impulstransport an der Oberfläche.

terrestrische Planeten: vergleichsweise kleinstufige Strukturen in der Atmosphäre, z.B. Wirbelsystem, ca. 1-10 km Ø (z. b. Hurrikan)

große Gasplaneten (Jupiter etc): großschalige Strukturen; z.B. großer Roter Fleck auf Jupiter: Zyklon, 14000 km breit, 30-40000 km lang, rotiert mit 6 Tagen Umlaufzeit entgegen dem Uhrzeigersinn. 1655 von G. Cassini entdeckt; hat die Jahrhunderte überlebt.



Saturn: 1990 entstandener "weißer Fleck"; Strukturen in der H2He/NH₃-Atmosphäre ca. 20000 km Ausdehnung, 10 h 17 min Umlaufzeit. Neptune: von Voyager 2 1989 entdeckter blauer Fleck

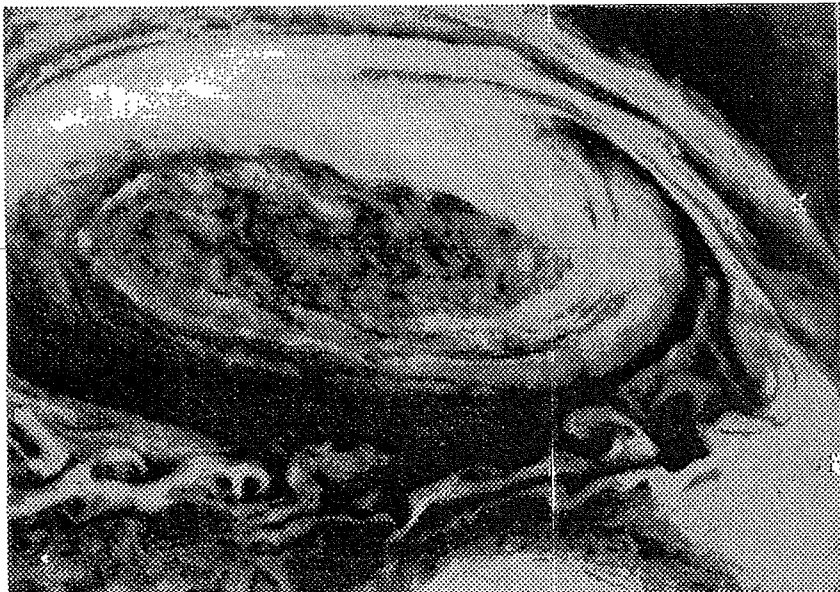
Sternatmosphären: Turbulenz ist Bestandteil jeder Theorie über konvektiven Energietransport, mit Implikationen für die Innenstrukturen von Sternen

Juststellbare Medien: Turbulenz in Molekülwolken spielt eine wichtige Rolle bei der Sterneentstehung.

Galaxien: Turbulenz spielt eine entscheidende Rolle beim Entstehen von Galaxien-Clustern, der größten gravitativen Zusammenfassungen im Universum.

Jupiters Großer Roter Fleck.

Zyklon: 14000 km breit
30-40000 km lang
6 Tage Umlaufzeit
(entgegen Uhrzeigersinn)



courtesy NASA

Beispiel für entwickelte Turbulenz

5. Grenzschichten

H90

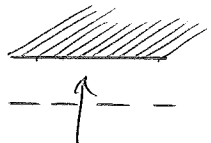
Bei sehr großen Reynolds-Zahlen $Re = \frac{\rho l}{\eta} = \frac{\rho u l}{\eta}$

- entsprechend kleinen Werten von η bzw. v -

kann das Fluid als ideal angesehen werden i.a.

Dies gilt jedoch nicht in der Nähe fester Wände,
da dort für viskose Fluide $\psi_{\perp} = \psi_{\parallel} = 0$ am Rand,
beim idealen Fluid nur die Normalkomponente
 $\psi_{\perp} = 0$ sein muss.

Die Ablösung von \vec{v} auf 0 bei großen Reynolds-Zahlen,
erfolgt fast vollständig in einem dünnen
Fluidschicht an den Wänden, der



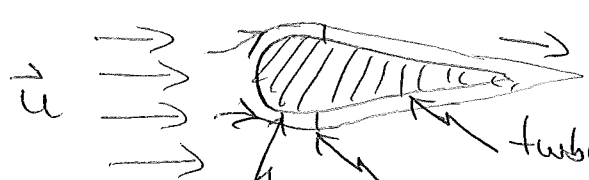
Grenzschicht

Grenzschicht. Hier haben die Geschwindigkeiten

Gradienten hohe Werte; die Strömung kann dort laminar oder turbulent sein. Die Zähigkeit verursacht den Geschwindigkeitsabfall in der Grenzschicht bis zu $\vec{v} = 0$.

Der Rand der Grenzschicht ist nicht scharf.

Beispiel Stromlinienkörper:



$$RB: \psi_{\perp} = \psi_{\parallel} = 0$$

turbulente Grenzschicht
Umschlagpunkt
laminare Grenzschicht

Dicke der Grenzschicht:

Laminar:

$$\delta_e = \frac{5l}{\sqrt{Re}} \propto \sqrt{v}$$

z.B.: $l = 10 \text{ cm}$ (charakt. Länge), $Re = 10^4$:

$$\Rightarrow \delta_e = 0.5 \text{ cm}$$

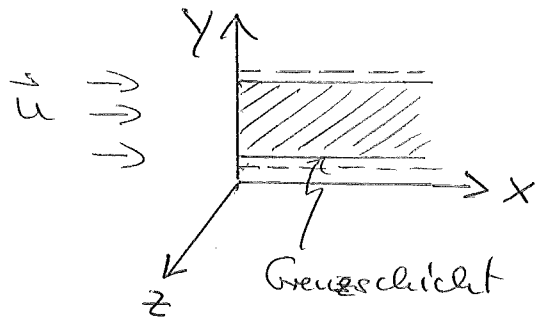
turbulent: $\delta_t = 0.37 \sqrt{v} \frac{l^4}{u}$

Formulierung der Theorie durch L. Prandtl 1904

H91

(Fest. Mathematisches Kongress Heidelberg, 1904):

Bewegungsgleichung in der Grenzschicht für eine 2dim.
stationäre Strömung um ein ebener Teilkörper der Ober-
fläche des Körpers aus der Navier-Stokes-Fl.



Außenhalb der Grenzschicht ist die Strömung eine Potentialströmung mit der Geschwindigkeit U der Freistromströmung

\Rightarrow darf folgt Bernoulli:

$$p + \rho \frac{u^2}{2} = \text{const} \quad | \frac{d}{dx}$$

$$\Rightarrow \frac{1}{\rho} \frac{dp}{dx} = -u \frac{du}{dx}$$

Da die Grenzschicht dünn ist, verläuft die Strömung hauptsächlich parallel zur ungestörten Oberfläche,

$$v_y \ll v_x \quad ; \text{ sowie } \frac{\partial^2 v_x}{\partial x^2} \ll \frac{\partial^2 v_x}{\partial y^2}$$

\Rightarrow auf die erste Komponente der N.G. und die Kontinuitätsgleichung konzentrieren, mit

$v_x \frac{\partial v_x}{\partial x} + v_y \frac{\partial v_x}{\partial y} - \nu \frac{\partial^2 v_x}{\partial y^2} = u \frac{du}{dx}$	Prandtl'sche Gleichungen: vgl.
$\frac{\partial v_x}{\partial x} + \frac{\partial v_y}{\partial y} = 0 \quad (\text{aus N.G.})$	

RB: $v_x = v_y = 0$ am Rand

S. Pergamen et al., Phys. J.
Old. 2004, p. 31

6. Wärmeleitung

Bei Berücksichtigung von Dichte und Wärmeleitung besteht das Gleichungssystem der Hydrodynamik aus NSG, Kontinuitätsgleichung, und einer 5., thermodynamischen Gleichung. Sie tritt an die Stelle der Adiabatengleichung ($\hat{=}$ Erhaltung der Entropie) bei idealen Flüssigkeiten. Wegen der irreversiblen Energiedissipation ist bei viskosen Flüssigkeiten die Entropie nicht erhalten; vielmehr weicht sie an.

Die Änderung der Perzentnergie in einem bestimmten Volumen pro Sekunde muss gleich dem Energierstrom durch dieses Volumen sein.

Der Energierstrom enthält jetzt außer dem "idealen" Term einen Term infolge der inneren Reibung,

Ideale Flüssigkeit:

$$\frac{\partial}{\partial t} \left[\frac{\rho v^2}{2} + \rho \epsilon \right] = - \vec{\nabla} \left[\rho \vec{v} \left(\frac{v^2}{2} + w \right) \right] = - \vec{\nabla} f_{\text{ideal}}$$

ϵ = innere Energie pro

Masseeinheit

$$w = \epsilon + \frac{P}{\rho} \quad \text{Enthalpie pro Masseeinheit.}$$

$\hat{=}$ Energierstrom aufgrund der Verschiebung der Flüssigkeitsmasse; dazu kommt der Energierstrom infolge innerer Reibung.

$\vec{f}' = - \vec{\sigma} \vec{v}'$	$f'_k = - \sigma_i v'_i \delta_{ik}$
--------------------------------------	--------------------------------------

Auch bei konstanten Temperaturen sorgen die beiden Energietransportmechanismen für Wärmeausport.

Ist T nicht im ganzen Volumen konstant, gibt es zusätzliches Wärmeausport durch Wärmeleitung: direkte molekulare Energieübertragung von Orten mit höherer zu Orten mit niedrigerer Temperatur T . Sie geschieht auch in einer flüssigen Flüssigkeit, hängt also nicht mit makroskopischer Bewegung zusammen.

* und auch in einem Festkörper

6.1 Die Wärmeausportgleichung

Sei \vec{q} die Wärmestromdichte infolge Wärmeleitung; \vec{q} ist eine Funktion der Temperaturänderung. Ist die Temperaturgradient klein, kann \vec{q} in eine Potenzreihe nach $\vec{\nabla}T$ entwickelt werden, wobei wir nur die gleich wichtige Ordnung berücksichtigen.

Der konstante Term verschwindet, da $\vec{q} = 0 \Leftrightarrow \vec{\nabla}T = 0$

$$\Rightarrow \boxed{\vec{q} \approx -k \vec{\nabla}T} \quad \text{mit } k = \text{Wärmeleitfähigkeit} \circledast$$

$k > 0$, da der Energietransport von Orten mit hoher zu Orten mit niedriger Temperatur gerichtet ist.
 \vec{q} und $\vec{\nabla}T$ haben entgegengesetzte Richtungen.

① "thermal conductivity"

\Rightarrow gesamte Energieerhaltung:

$$\vec{f}_{\text{visc}} = \underbrace{\rho \vec{v} \left[\frac{\rho^2}{2} + w \right]}_{\vec{f}_{\text{ideal}}} - \underbrace{\vec{v} \sigma' - \nu \vec{\nabla} T}_{\vec{q}}$$

und es gilt der Energieerhaltungssatz

$$\boxed{\frac{\partial}{\partial t} \left[\frac{\rho v^2}{2} + \rho \epsilon \right] = - \vec{\nabla} \cdot \vec{f}_{\text{visc}}} \quad \textcircled{4}$$

der sich mit Hilfe der hydrodynamischen Gleichungen umformen lässt,

$$\frac{\partial}{\partial t} \left[\frac{\rho v^2}{2} + \rho \epsilon \right] = \frac{\rho^2}{2} \frac{\partial \rho}{\partial t} + \rho \vec{v} \frac{\partial \vec{v}}{\partial t} + \rho \frac{\partial \epsilon}{\partial t} + \epsilon \frac{\partial \rho}{\partial t}$$

aus Kont. pl. aus NSG aus therm. aus hb
Beziehungen, $d\epsilon = T ds - p dV$
 $\frac{\partial \epsilon}{\partial t} = T \frac{\partial s}{\partial t} + p \frac{\partial s}{\partial \rho}$

Nach Einsetzen folgt durch Vergleich mit der rechten Seite des Energieerhaltungssatzes die allgemeine Gleichung für den Wärmetransport,

$$\boxed{\rho T \left[\frac{\partial s}{\partial t} + \vec{v} \vec{\nabla} s \right] = \sigma_{ik}' \frac{\partial v_i}{\partial x_k} + \vec{\nabla} \cdot (\nu \vec{\nabla} T)}$$

Local konvektiv viskos Wärmeleitung

Ohne Viskosität und Wärmetransport verschwindet die rechte Seite, es ergibt sich dann die Energieerhaltung in einer idealen Flüssigkeit: die Alembert-Gleichung als $\frac{\partial s}{\partial t} = 0$.

$$(Es ist \sigma_{ik}' \frac{\partial v_i}{\partial x_k} = \gamma \frac{\partial v_i}{\partial x_k} \left[\frac{\partial v_i}{\partial x_k} + \frac{\partial v_k}{\partial x_i} - \frac{2}{3} \delta_{ik} \frac{\partial v_e}{\partial x_e} \right])$$

Die Resonanz-Entropie der Flüssigkeit

$$S = \int p \cdot s dV$$

wächst, da die irreversiblen Prozesse Wärmeleitung und innere Reibung ablaufen.

6.2 Wärmetransport bei inkompressiblen Flüssigkeiten

Oft lässt sich die Wärmeleitungsgleichung stark vereinfachen. Falls gilt

Strömungsgeschwindigkeit < Schallgeschwindigkeit.

sind die Druckänderungen so klein, dass die zugehörigen Dickeänderungen vernachlässigbar sind.

Die Dickeänderungen infolge Temperaturänderung ΔT müssen jedoch berücksichtigt werden

\Rightarrow bei der Differentiation der thermodyn. Größen den Druck als konstant annehmen, nicht jedoch die Dicke:

$$\frac{\partial s}{\partial t} = \underbrace{\left(\frac{\partial s}{\partial T} \right)_P}_{= C_p/T} \frac{\partial T}{\partial t} ; \quad \vec{\nabla} s = \left(\frac{\partial s}{\partial T} \right)_P \vec{\nabla} T$$

$= C_p/T$, mit der spez. Wärmekapazität bei konstantem Druck, $C_p = T \left(\frac{\partial s}{\partial T} \right)_P$

$$\Rightarrow \boxed{T \frac{\partial s}{\partial t} = C_p \frac{\partial T}{\partial t}} ; \quad \boxed{T \vec{\nabla} s = C_p \vec{\nabla} T}$$

Einsetzen in die Wärmetransportgleichung ergibt

$$\rho \cdot c_p \left[\frac{\partial T}{\partial t} + \vec{v} \vec{\nabla} T \right] = \vec{\nabla} \left(k \vec{\nabla} T \right) + \sigma_{ik}' \frac{\partial v_i}{\partial x_k}$$

Bei kleinen Temperaturdifferenzen kann man die Dichte als konstant ansehen, und die Flüssigkeit als kompressibel behandelt werden.

Dann ist die Kontinuitätsgleichung

$\vec{\nabla} \vec{v} = 0$, und bei kleinen AT können wir auch die Temperaturabhängigkeit von η , k und c_p vernachlässigen. Nach Division durch $(\rho \cdot c_p)$ folgt die Wärmetransportgleichung in einem inkompressiblen Fluid:

$$\frac{\partial T}{\partial t} + \vec{v} \vec{\nabla} T = \chi \Delta T + \frac{v}{2c_p} \left[\frac{\partial v_i}{\partial x_k} + \frac{\partial v_k}{\partial x_i} \right]^2$$

mit $v = \frac{\eta}{\rho}$ kinemat. Zähligkeit

$\chi = \frac{k}{\rho \cdot c_p}$ Temperärleitfähigkeit,
"therometric conductivity"

In einer ruhenden Flüssigkeit wird die Energie transport allein durch Wärmeleitung bewirkt; ohne Geschwindigkeitsabhängige Terme wird die Gleichung

$$\frac{\partial T}{\partial t} = \chi \Delta T$$

"Wärmeleitungsgleichung"
"Fouriersche Gleichung"

Diese Gleichung folgt auch direkt aus der Energieerhaltung: die in einem bestimmten Volumen pro Zeiteinheit absorbierte Wärmemenge muss gleich dem Wärmestrom sein, der über die Oberfläche in das Volumen fließt:

$$\rho \cdot c_p \left(\frac{\partial T}{\partial t} \right) = - \vec{\nabla} q = k \Delta T \Rightarrow \text{Wärmeleitungsgl.}$$

abs. Wärmemenge = Wärmestrom

Die Wärmeleitungsgleichung ist nur sehr begrenzt anwendbar: Bei Flüssigkeiten im Schwerfeld bewirkt bereits ein kleiner Temperaturgradient eine merkbare Strömung ("freie Konvektion"): nur wenn $\vec{\nabla} T$ der Schwerkraft entgegengesetzt ist, oder die Flüssigkeit sehr zäh ist, gilt die Gleichung.

Sie ist dennoch wichtig, da sie auch Wärmeleitung in festen Körpern beschreibt, und soll deshalb hier untersucht werden.

Ist die Temperaturverteilung in einem ungleichmäßig erwärmten, ruhenden Medium zeitlich konstant, wird die Wärmeleitungsgleichung - bei konstanter Wärmeleitfähigkeit κ - zw. Laplace-Gleichung

$$\boxed{\Delta T = 0}$$

(kann κ nicht als konstant eingesetzt werden, muss man allgemeiner schreiben:

$$\boxed{\vec{\nabla}(\kappa \vec{\nabla} T) = 0}$$

Sind zusätzlich freie Wärmequellen vorhanden, muss zw. Wärmeleitungsgleichung ein Zusatzterm addiert werden, z.B. für die Aufheizung durch elektrischen Strom.

Sei Q die Wärmemenge, die von Quellen an die Flüssigkeit pro Volumen- u. Zeitdichte abgegeben wird,

$$Q = Q(\vec{r}, t)$$

$$\Rightarrow \boxed{\rho c_p \frac{\partial T}{\partial t} = \kappa \Delta T + Q}$$

plus Randbedingungen.

6.3 Wärmeauswahl in einem unbegrenzten Medium

Sei die Temperaturverteilung bei $t=0$ vorgegeben:

$$T = T_0(x, y, z); \text{ berechne } T(\vec{r}, t \geq 0)!$$

\Rightarrow Entwickle die gesuchte Funktion in ein Fourier-Integral:

$$T(\vec{r}, t) = \int T_{\vec{k}}(t) e^{i\vec{k}\vec{r}} \frac{d^3 k}{(2\pi)^3}$$

$$\text{mit } T_{\vec{k}}(t) = \int T(\vec{r}, t) e^{-i\vec{k}\vec{r}} d^3 x$$

Für jede Fourier-Komponente der Temperatur

$$T_{\vec{k}} e^{i\vec{k}\vec{r}}$$

folgt die Gleichung

$$\frac{\partial T}{\partial t} = \chi \Delta T : \text{ Wärmeleitungsgleichung}$$

$$\frac{\partial T_{\vec{k}}}{\partial t} + k^2 \chi T_{\vec{k}} = 0$$

Daraus folgt die Zeitabhängigkeit von $T_{\vec{k}}$ als

$$T_{\vec{k}} = T_{0\vec{k}} e^{-k^2 \chi \cdot t}, \text{ und mit } T = T_0(\vec{r}) \text{ für } t=0:$$

$$T_{0\vec{k}} = \int T_0(\vec{r}') e^{-i\vec{k}\vec{r}'} d^3 x'$$

$$\Rightarrow T(\vec{r}, t) = \int T_0(\vec{r}') e^{-k^2 \chi t} e^{i\vec{k}(\vec{r}-\vec{r}')} \frac{d^3 x'}{(2\pi)^3} \frac{d^3 k}{(2\pi)^3}$$

Das Integral über d^3k ist darstellbar als Produkt dreier gleichwertiger Integrale der Form

$$\int_{-\infty}^{+\infty} e^{-\alpha \xi^2} \cos \beta \xi d\xi = \left(\frac{\pi}{2}\right)^{1/2} e^{-\beta^2/4\alpha}$$

mit ξ = eine der Komponenten des Vektors \vec{k} ; das analoge sin-Integral verschwindet, da sin eine ungerade Funktion ist.

$$\Rightarrow T(\vec{r}, t) = \frac{1}{8(\pi \chi t)^{3/2}} \int T_0(\vec{r}') \exp\left\{-\frac{(\vec{r}-\vec{r}')^2}{4\chi t}\right\} d^3x'$$

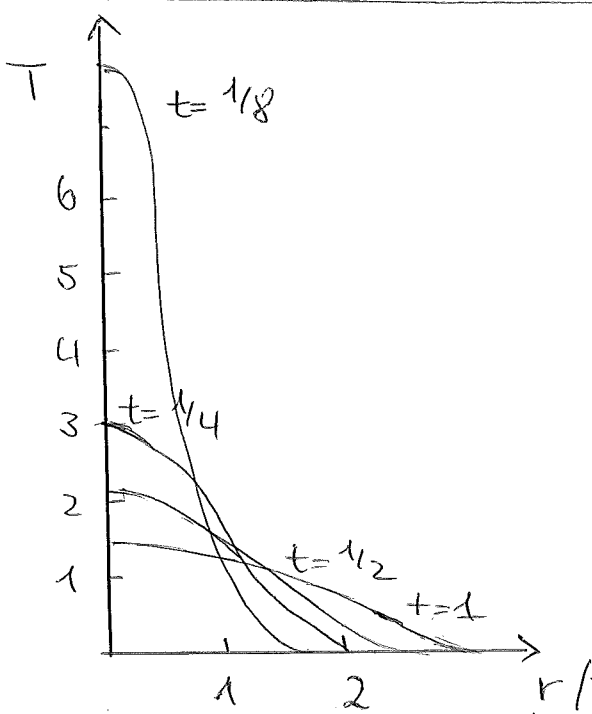
Zeitabhängige Temperaturverteilung, bei gegebener Aufgangsvert. T_0 .

Hängt T_0 nur von einer Koordinate ab (x), lässt sich die d^3x' -Integration ausführen \Rightarrow

$$T(x, t) = \frac{1}{2(\pi \chi t)^{1/2}} \int_{-\infty}^{+\infty} T_0(x') \exp\left\{-\frac{(x-x')^2}{4\chi t}\right\} dx'$$

und für eine anfängliche δ -Funktionsverteilung $T_0(\vec{r}) = \text{const. } \delta(\vec{r})$:

$$T(\vec{r}, t) = \text{const.} \cdot \frac{1}{8(\pi \chi t)^{3/2}} e^{-r^2/(4\chi t)} \quad (\sigma^2 = 2\chi t)$$



Bei $r=0$ nimmt die Temperatur $\propto t^{-3/2}$ ab, in der Umgebung nimmt sie zu.

Der Verlauf der Temperaturverteilung ist i.w. durch den Exponentenfaktor bestimmt. Die Standardabweichung der Gaußfunktion ist $\sigma = \sqrt{2\chi t}$, die Breite $\Pi = \sqrt{8 \ln 2} \sigma$, dh. $\Pi \propto \sqrt{t}$.

Dementsprechend ist die Relaxationszeit für den Wärmeleitungsvergang, in der sich die Temperaturen merklich angeleichen,

$$\boxed{T \propto \frac{l^2}{\lambda}}$$

(In Präzisierung der Abschätzung des Körpers, der zunächst ungleichmäßig erwärmt ist)

Thermische Störungen breiten sich instantan über den ganzen Raum aus: Bei anfänglicher δ -Funktion geht die Verteilung schon im nächsten Moment weiter unendlich asymptotisch gegen 0.

(In räumlich begrenzten Medien kommen die Randbedingungen hinzu).

6.4 Konvektion

Konvektion ist die Strömung in einer ~~ungeordneten~~ ~~ungeordneten~~ erwärmten Flüssigkeit. Sind die Temperaturdifferenzen groß gegen die Temperaturänderungen durch Wärmeentwicklung bei der Energieabsorption,

$$\Delta T \gg \Delta T_{\text{diff}},$$

kann man den Viskositätsfaktor in der Wärmeleitungsgleichung vernachlässigen,

$$\chi \Delta T \gg \frac{\nu}{2c_p} \left(\frac{\partial u_i}{\partial x_k} + \frac{\partial u_k}{\partial x_i} \right)^2$$

$$\Rightarrow \boxed{\frac{\partial T}{\partial t} + \vec{v} \cdot \vec{\nabla} T = \chi \Delta T} \quad \text{für inkompressive Fluide}$$

mit der Temperaturleitfähigkeit

$$\chi = \frac{k}{\rho \cdot c_p}, \quad k = \text{Wärmeleitfähigkeit}.$$

Zusammen mit der Navier-Stokes Gleichung wird konvektiver Strömung vollständig beschrieben (incl. kontinuitätsgleichung).

stationäre Konvektion

keine zeitliche Änderung der Temperaturverteilung,

$\frac{\partial T}{\partial t} = 0 \Rightarrow$ die Zeitableitungen fallen heraus,

$$\vec{\nabla} \vec{\nabla} T = \chi \Delta T$$

Konvektion (stat.)

$$(\vec{\nabla} \vec{\nabla}) \vec{\phi} = -\vec{\nabla} \frac{P}{g} + \nu \Delta \vec{\phi}$$

NSG

$$\vec{\nabla} \vec{\phi} = 0$$

KG

$\vec{\phi}$, T und $\frac{P}{g}$ sind die unbekannten Funktionen,
 ν und χ Parameter (i.e. konstant).

Die Lösungen hängen über die Randbedingungen
(z.B. fester Körper in der Strömung) von weiteren
Parametern ab: z.B.

- Längenhöhe eines festen Körpers in der Strömung
- Geschwindigkeit in der Grundströmung
- charakt. Temperaturdifferenz $T_1 - T_0$ zwischen Fluid und festem Körper.

Die Gleichung für T ist linear und homogen, sie kann deshalb mit einem beliebigen konstanten Faktor multipliziert werden.

\Rightarrow die Maßeinheit der Temperatur ist willkürlich wählbar \Rightarrow wähle kelvin

\Rightarrow 5 Parameter charakterisieren die Konvektion; Einheiten:

$$[v] = [\chi] = \frac{m^2}{s}; [u] = \frac{m}{s}; [l] = m; [T_1 - T_2] = k,$$

Daraus lassen sich zwei unabhängige dimensionslose Kombinationen bilden:

$$Re = \frac{u \cdot l}{v} \quad \text{Reynolds-Zahl, z.o.}$$

$$Pr = \frac{v}{\chi} \quad \text{Prandtl-Zahl} = \frac{\text{kinemat. Viskosität}}{\text{Temperaturleitfähigkeit}}$$

Die Prandtl-Zahl ($\hat{=} \text{Wärmeübertragungskoeffizient}$) ist eine Reaktivitätskonstante, die von T , aber nicht von den Eigenschaften der Flüssigkeit abhängt.
Für Gase ist sie von der Größeordnung 1, für Flüssigkeiten variiert sie stark. Bei 20°C ist $Pr \approx \dots$

$$\underline{Pr}$$

Quecksilber	0.044
Luft	0.733
Wasser	6.75
Alkohol	16.6
Glycerin	7250

Das Produkt von Re und Pr ist

$$Pe \equiv Re \cdot Pr = \frac{u \cdot l}{\gamma} \equiv \text{Péclet-Zahl}.$$

In die dimensionslose Funktion für die Temperaturverteilung gehen Re und Pr als Parameter ein,

$$\frac{T - T_0}{T - T_x} = f\left(\frac{\vec{r}}{l}, Re, Pr\right).$$

In die Geschwindigkeitsverteilung geht nur Re ein, da sie durch NSG und LG bestimmt ist, in denen X bzw. Pr nicht vorkommen:

$$\frac{\vec{u}}{l} = \vec{f}\left(\frac{\vec{r}}{l}, Re\right).$$

Der Wärmetransport zwischen Flüssigkeit und festem Körper charakterisiert die Wärmeübergangs-Zahl,

$$\alpha = \frac{q}{T_x - T_0} \quad ; \quad q = |\vec{q}|, \quad \vec{q} = -k \vec{\nabla} T$$

Wärmedurchdrift durch die körpereinfache Fläche

$T_x - T_0 = \text{Temperaturdifferenz fest / Flüssigkeit.}$

Der Wärmetransport kann durch die dimensionslose Nusselt-Zahl charakterisiert werden,

$$Nu = \frac{\alpha \cdot l}{k} = f(Re, Pr)$$

7. Diffusion

7.1 Flüssigkeits-Diffusion

Bisher haben wir das Fluid als homogen angesehen.
Bei flüssigen, d.h. zusammensetzung vom Ort abhängt, werden die hydrodynamischen Fließvorgänge wesentlich geändert.

Flüssigkeiten aus 2 Komponenten:

$$\text{Konzentration } c = \frac{n_1}{\mu} ; \quad \mu = n_1 + n_2 = \text{Residuvmasse im Volumenelement}, \quad n_1 = 1. \text{ Komponente}$$

Die Verteilung der Konzentration ist zeitabhängig:

(1) Jedes Teilvolumen bewegt sich als Pausa mit konstanter Zusammensetzung: mechanische Durchmischung

Diese Konzentrationsänderung ist reversibel und besitzt keine Energiedissipation. (Beispiel: Paraffin in H_2O)

(2) Die Zusammensetzung ändert sich durch molekularen Massentransport aus einem Teilvolumen in ein anderes:

H_2O	Tinte
--------	-------

Der Konzentrationsausgleich geschieht durch Diffusion, ist zeitlich irreversibel.

Neben Wärmeleitung und Viskosität ist Diffusion die Ursache der Energiedissipation in einem Flüssigkeitsgemisch.

Ohne Diffusion bleibt die Zusammensetzung eines Fluidelements bei der Bewegung unverändert, es gilt eine Kontinuitätsgleichung für den „Substanzstrom“ $\vec{p} \cdot \vec{c} \cdot \vec{v}$ ($c = \frac{m}{M}$):

$$\frac{\partial (\rho c)}{\partial t} + \vec{\nabla} (\rho \cdot c \cdot \vec{v}) = 0$$

Integration mit Pauschaltem Satz ergibt

$$\boxed{\frac{\partial}{\partial t} \int \rho c dV = - \oint \rho \cdot c \cdot \vec{v} d\vec{l}}$$

(Der Strom für die zweite Substanz ist analog $\rho \cdot (1-c) \vec{v}$)

Mit Diffusion kommt die sog. Diffusionsstrom hinzu,

$$\boxed{\frac{\partial (\rho c)}{\partial t} + \vec{\nabla} (\rho \cdot c \cdot \vec{v}) = - \vec{\nabla} \vec{i}}$$

„6. Grundgleichung der Hydrodynamik“, bei Bewegen bzw. in integraler Form

$$\frac{\partial}{\partial t} \int \rho \cdot c dV = - \oint \rho \cdot c \cdot \vec{v} d\vec{l} - \oint \vec{i} d\vec{l}$$

Mit Hilfe der thermodynamischen Größen - die jetzt jedoch auch von der Konzentration c abhängen - erhalten wir ausserdem die allgemeine Wärmeausgleichsgleichung

(5. Gleichung). Sie folgt aus der Energieerhaltung

$$\frac{\partial}{\partial t} \left[\frac{\rho v^2}{2} + \rho \cdot e \right] = - \vec{\nabla} \vec{f}_{\text{Wär}}$$

durch Umformung mit Hilfe von Navier-Stokes und Kontinuitätsgleichung.

Jetzt enthalten die Ausdrücke für Energie und Enthalpie jedoch einen zusätzlichen Term mit dem Differential der Konzentration:

$$(1) \quad dE = T ds + \frac{P}{g} dp + \mu dc \quad \text{Energie}$$

$$(2) \quad dw = T ds + \frac{1}{g} dp + \mu dc \quad \text{Enthalpie}$$

mit μ = chem. Potentiel des Reaktions; proportional zu mittlerer Teilchenzahl

[Analog ist $T \propto$ mittlere Energie, $\langle E \rangle = \frac{3}{2} kT$]

\Rightarrow in der Ableitung $\frac{\partial E}{\partial t}$ kommt zusätzlich der Term $\frac{\partial \mu}{\partial t}$ vor; analog kommt zu $-\vec{\nabla} \vec{p}$ der Term $\vec{\nabla} \vec{\mu}$ hinzu.

Damit wird die Gleichung für die zeitliche Änderung der Energie:

$$\frac{\partial}{\partial t} \left[\frac{P^2}{2} + \rho E \right] = -\vec{\nabla} j_{\text{intc}} + \rho T \left[\frac{\partial s}{\partial t} + \vec{\nabla} \vec{s} \right] - \sigma_{ik} \frac{\partial \sigma_i}{\partial x_k} + \vec{\nabla} \vec{q} - \mu \vec{\nabla} \vec{c}$$

Damit der Energiesatz erfüllt ist, muss demnach gelten

$$\rho T \left[\frac{\partial s}{\partial t} + \vec{\nabla} \vec{s} \right] = \sigma_{ik} \frac{\partial \sigma_i}{\partial x_k} - \vec{\nabla} (\vec{q} - \vec{\mu i}) - \vec{i} \vec{\nabla} \mu$$

$$[\text{mit } \vec{\nabla} \vec{q} - \mu \vec{\nabla} \vec{i} = \vec{\nabla} (\vec{q} - \vec{\mu i}) + \vec{i} \vec{\nabla} \mu]$$

Diese Gleichung für die zeitliche Änderung der Enthalpie unter Berücksichtigung des Diffusions ist eine Overall-Gemeinschaftsgleichung der Wärmetransportgleichung.

Um die Gleichungen zu lösen, müssen der Diffusionsstrom \vec{i} und der Wärimestrom \vec{q} durch die Temperatur- und Konzentrationsgradienten ausgedrückt werden. Beide Ströme hängen i.e. von beiden Gradienten ab. Sind diese klein, kann man \vec{i} und \vec{q} als lineare Funktionen von $\vec{\nabla} \mu$ und $\vec{\nabla} T$ ansetzen:

$$\vec{i} = -\alpha \vec{\nabla} \mu - \beta \vec{\nabla} T$$

$$\vec{q} = -\delta \vec{\nabla} \mu - \gamma \vec{\nabla} T + \mu \vec{i}$$

Sofar sind Temperatur und Konzentration nur wenig ähnlich, und es keinen merkblichen Druckgradienten gibt, lassen sich diese Gleichungen mit Hilfe thermodynamischer Relationen umformen zu:

$$\frac{\partial c}{\partial t} = D \left[\Delta c + \frac{k_T}{T} \Delta T \right]$$

$$\frac{\partial T}{\partial t} = \frac{k_T}{c_p} \left(\frac{\partial \mu}{\partial c} \right)_{P,T} \frac{\partial c}{\partial t} = X \Delta T$$

dh. Temperatur und Konzentration sind durch ein lineares Gleichungssystem bestimmt.

Mit $D = \frac{\alpha}{\gamma} \left(\frac{\partial \mu}{\partial c} \right)_{P,T} = \text{Diffusionskoeffizient}$

$$k_T \cdot D = \frac{\alpha \cdot T}{\gamma} \left(\frac{\partial \mu}{\partial T} \right)_{c,P} + \beta = \text{Thermodiffusionskoeffizient.}$$

Bei kleinen Konzentrationen wird $k_T \cdot D \rightarrow 0$, es folgt eine reine Diffusionsgleichung:

$$\frac{\partial c}{\partial t} = D \cdot \Delta c$$

, plus Randbedingungen.

Die Diffusionsgleichung hat dieselbe Gestalt wie die Wärmeleitungsgleichung für eine rechteckige Flüssigkeit,

$$\frac{\partial T}{\partial t} = \chi \Delta T$$

so dass alle Formeln aus Kap. 6 übertragen werden können mit

$$T \rightarrow c$$

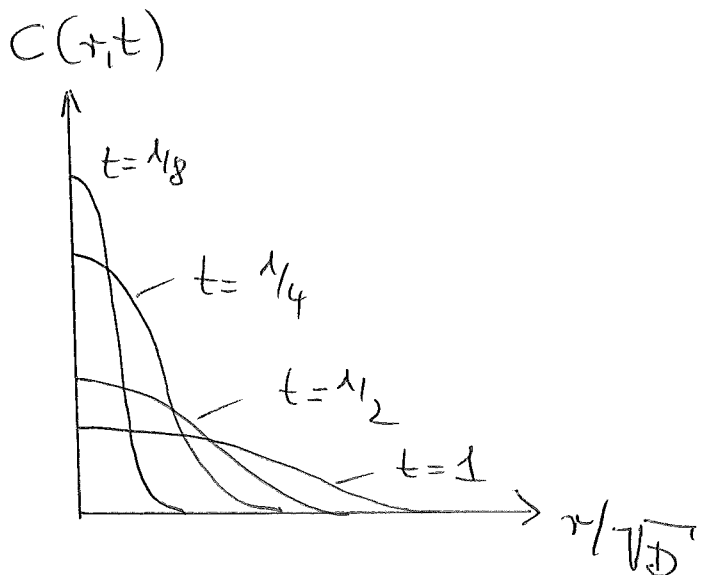
$$\chi \rightarrow D$$

Betrachten wir ergibt sich für die Verteilung einer gelösten Substanz mit δ -Funktions-Aufgangsbedingungen bei $t=0$

$$c(r,t) = \frac{N}{8\pi(\pi \cdot D \cdot t)^{3/2}} e^{-r^2/(4Dt)}$$

in Polarkoordinaten, 3dimensional; N = Gesamtmenge der gelösten Substanz.

Zeitverteilung der Konzentration im Diffusionsvorgang:



Achse:

$$\sigma = \sqrt{2Dt} \quad \text{Standardabwe.}$$

$$\Gamma = \sqrt{8\ln 2} \sigma \quad \text{Breite}$$

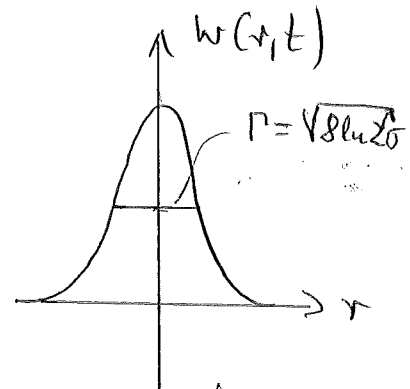
7.2 Brownische Bewegung

Aufgrund molekulärer Stoße machen in einer Flüssigkeit suspendierte Teilchen eine ungewöhnliche "Zitterbewegung", die der Botaniker R. Brown (1773-1858) 1827 entdeckt hatte, und deren Ursache bis zu A. Einsteins Arbeit 1905 unbekannt blieb:
 A.E., Ann. Physik 17 (1905) 549-560.

Sei zu $t=0$ ein "Brownisches Teilchen" (zg. Blütenpollen in Wasser) im Koordinatenursprung; seine Bewegung wird als Diffusionsprozess beschrieben, die Aufenthaltswahrscheinlichkeit tritt an die Stelle der Konzentration. Dann lässt sich die Lösung der Differentialgleichung in 7.1 verwenden,

$$\frac{\partial W}{\partial t} = D \Delta W$$

$$\Rightarrow W(r, t) = \frac{N}{8 \rho (\pi D t)^{3/2}} \exp \left[-\frac{r^2}{4 D t} \right]$$



Im 3dim. Fall, radiale Koordinate

Voraussetzung: die Teilchen der gelösten Substanz wechselwirken nicht miteinander, die Teilchenbewegung ist unabhängig vom jeweils nächsten anderen Teilchen.

Mit $w(r,t) dr = \text{Aufenthaltswahrscheinlichkeit für das Brownische Teilchen zur Zeit } t \text{ in einem Abstand zwischen } (r, r+dr)$.
 Setze $\frac{M}{\rho} \equiv 1$, $\bullet 4\pi r^2 dr$ (= Volumen der Kugelschale)

$$\Rightarrow w(r,t) dr = \frac{1}{2\sqrt{\pi D^3 t^3}} \exp\left[-\frac{r^2}{4Dt}\right] r^2 dr$$

Das mittlere Quadrat des Abstandes vom Ausgangspunkt des Brownischen Teilchens zw. Zeit t ist

$$\langle r^2 \rangle = \int_0^\infty r^2 w(r,t) dr = 6Dt \quad [\text{benutze } \int_0^\infty e^{-u^2} du = \frac{\sqrt{\pi}}{2}]$$

$$\Rightarrow \boxed{\sqrt{\langle r^2 \rangle} \propto \sqrt{t}}$$

Der Diffusionskoeffizient D lässt sich aus der Beweglichkeit b berechnen:

Es wirkt eine konstante äußere Kraft (z.B. die Schwerkraft) \vec{F} auf die Brownischen Teilchen. Im stationären Zustand ist sie gleich dem Widerstand $\frac{c}{b}$ ($c = \text{const}$) gegen die

Teilchenbewegung:

$$\boxed{\vec{F} = b \cdot \vec{v}} \quad , \quad b \equiv \text{Beweglichkeit} \text{ (Berechenbar aus den hydrodyn. Gleichungen)} .$$

Widerstand bei kugelförmigen Teilchen:

$$\boxed{\vec{F} = 6\pi \eta R \vec{v}} \quad , \quad \text{Stokesche Formel}$$

$$\Rightarrow b = \frac{\vec{G}}{\vec{F}} = \frac{1}{6\pi\eta R}$$

[Bei nicht-kugelförmigen Teilchen hängt der Widerstand auch von der Bewegungsrichtung ab];

$$\vec{F}_i = a_{ik} \vec{v}_k, \quad a_{ik} = \text{symmetrischer Tensor};$$

Zur Berechnung von b über alle Orientierungen mitteln, mit den Hauptachsenswerten a_1, a_2, a_3 von $a_{ik} \Rightarrow$

$$b = \frac{1}{3} \left(\frac{1}{a_1} + \frac{1}{a_2} + \frac{1}{a_3} \right).$$

Beziehung zwischen b und D ($D = T \cdot b$, "Einstein-Relation")

der Diffusionsstrom ist

$$\vec{i} = -\rho D \vec{\nabla} c + \rho \cdot c \cdot b \cdot \vec{F}$$

↑
Term aufgrund des
Konzentrationsgradienten

↑
Term aufgrund der äußeren Kraft,
 $\rho \cdot c \cdot \vec{v} = \rho c b \vec{F}$

$$\Rightarrow \vec{i} = -\frac{\rho \cdot D}{(\partial \mu / \partial c)_{T, P}} \vec{\nabla} \mu + \rho c b \vec{F} \quad \text{mit } \mu = \text{chem. Potential der suspenzierten Teilchen.}$$

Das chem. Potential hängt von der Konzentration ab,

$$\mu = T \ln c + \gamma (P, T)$$

$$\Rightarrow \vec{i} = -\frac{\rho \cdot D \cdot c}{T} \vec{\nabla} \mu + \rho \cdot c \cdot b \cdot \vec{F}$$

Jm thermodynamischen Gleichgewicht gibt es keine Diffusion, $\vec{i} = 0$.

Mit einem Feld muss im Gleichgewicht gelten

$\mu + U = \text{const}$; $U = \text{potentielle Energie der suspendierten Teilchen im Feld}$

$$\Rightarrow \vec{\nabla}\mu = -\vec{\nabla}U = \vec{F}, \text{ und mit } \vec{i} = 0$$

$$\Rightarrow 0 = -\frac{g D_C}{T} \vec{F} + g \cdot c \cdot b \cdot \vec{F}$$

$$\Rightarrow \frac{D}{T} = b, \quad \boxed{D = T \cdot b}$$

"Einstein-Relation"

für die Beziehung zwischen Beweglichkeit und Diffusionskoeffizient: Verknüpfung über die Temperatur.

Einfügen der Beweglichkeit bei freigewichigen Teilchen ergibt ($k_B = 1$)

$$\boxed{D = \frac{T}{6\pi\eta R}}$$

translative Diffusion suspendierter Brown'sche Teilchen (es gibt auch eine Brown'sche Rotations-Diffusionsbewegung)

(In der Einstein'schen Arbeit wird die Notation verwendet

$$D = \frac{RT}{N} \frac{1}{6\pi\eta d} \quad \text{mit } R = 8.31 \frac{\text{J}}{\text{K} \cdot \text{mol}}, \quad N = 6.03 \cdot 10^{23} \text{ mol}^{-1}$$

Gaskonst., Avogadro'sche Zahl

$$d \stackrel{!}{=} R \text{ (oben)}; \quad k_B = \frac{R}{N} \stackrel{!}{=} 1 \Rightarrow \text{entspricht}$$

- Die Boltzmann-Konstante $k = 1.3 \cdot 10^{-23} \frac{\text{J}}{\text{K}}$ ist die auf ein Molekül bezogene Partikelkonstante) $L = 1.38 \cdot 10^{-23} \frac{\text{J}}{\text{K}}$ (dieser obigen Resultat).

7.3 Diffusion in relativistischen Systemen

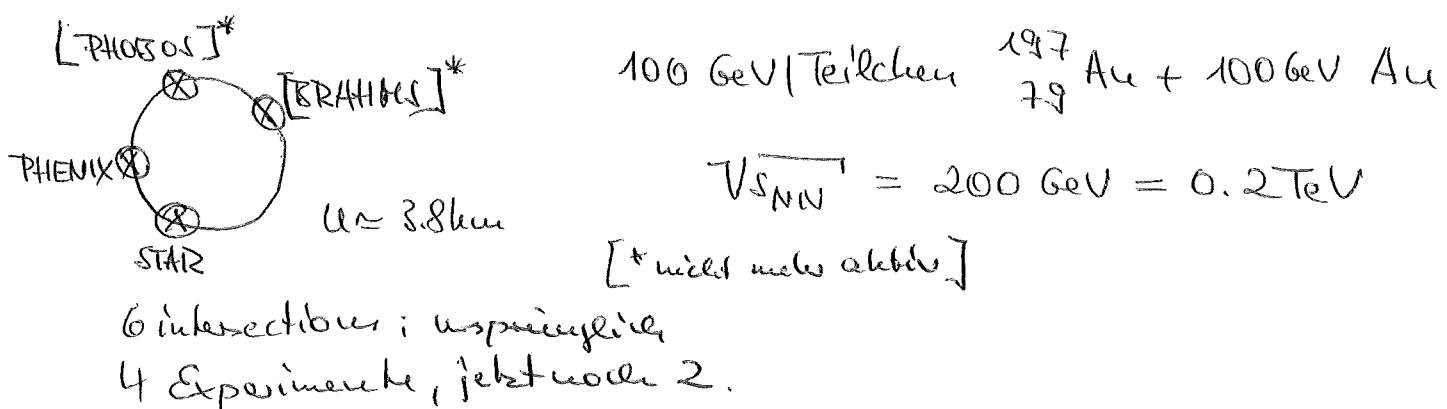
- Teilchensysteme (Atome aus Fayonem) bei relativistischen Energien, wie sie im Teilchenbeschleuniger erreicht werden.
- CERN SPS : fixed-target Experimente mit schweren Ionen
 $E_L = 158 \text{ GeV} / \text{Teilchen}$ $^{208}\text{Pb} + ^{208}\text{Pb}$

$$E_{\text{cm}} = \sqrt{s_{NN}} = \left[2u^2 + 2E_L u \right]^{1/2} \approx 17.3 \text{ GeV}$$

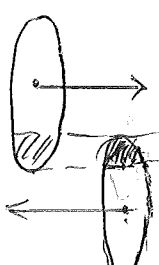
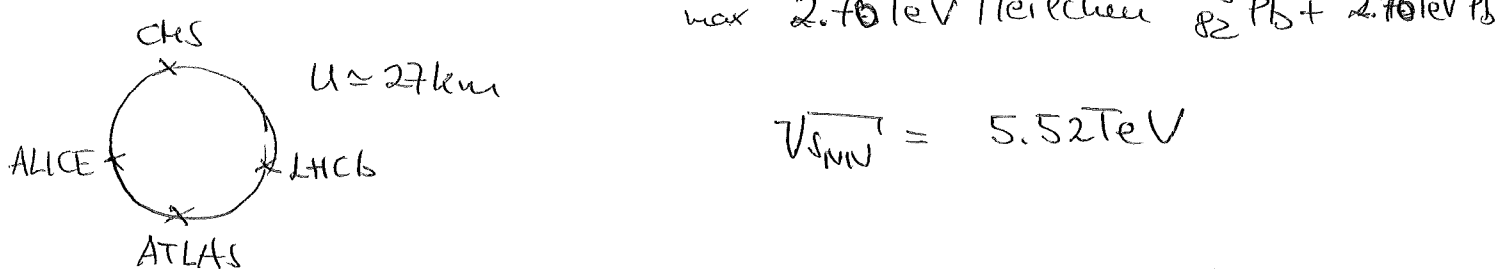
\uparrow
Nukleonennmasse, 938 MeV



- RHIC collider, Brookhaven (BNL)



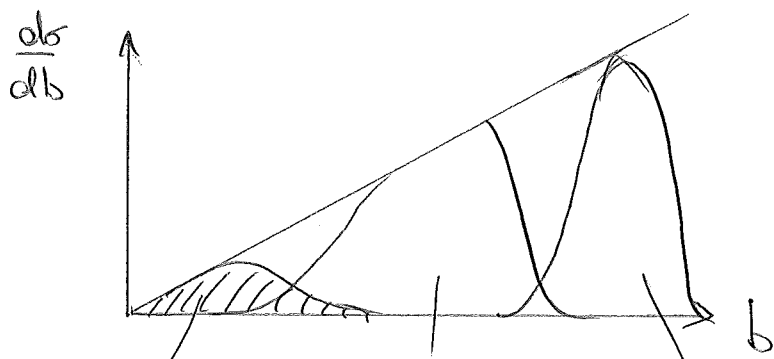
- LHC collider, CERN



Stark Lorentz-kontrahierte Kollisionspartner,
charakterisiert durch

- Teilchenzahlen N_1, Z_1 ; N_2, Z_2
- c.m. Energie $T_{\text{c.m.}}$
- Stoßparameter b
- $d(v) = \alpha_0 \sqrt{1 - \frac{v^2}{c^2}}$ Lorentz-kontraktion

$$d(v) = \alpha_0 \sqrt{1 - \frac{v^2}{c^2}}$$



Quark-gluon-
Plasma Bildung Hadronen-
erzeugung
coll. flares die QGP ohne thermische
Äquilibrierung Äquilibrierung

- 1) In zentralen Stoßen bei Energieüberschreitung über dem kritischen Wert $E_{\text{crit}} \approx 1.5 \frac{\text{GeV}}{\text{fm}^3}$ wird ein kurzlebiger Quark-gluon Plasma gebildet, $f_w \approx 10^{-23} \text{ s}$. Es entspricht dem Ursprung der Hadronen im Übergang, bis $\approx 10 \mu\text{s}$ nach dem Urknall.

- 2) Im Verlauf der Kollision werden aus der verfügbaren relativistischen Energie so viele Teilchen erzeugt, dass eine multiplikativ-fadistatische Betrachtungsweise gerechtfertigt ist:

- bei SPS-Energie ≈ 2100 geladene Hadronen
- bei RHIC- " ≈ 5000 "
- bei LHC- " ≈ 21000 "

Es wird dabei die verfügbare relativistische Energie

$$E_{\text{av}} = \sqrt{s} - u(A_1 + A_2)$$

in Ruhemasse und kinetische Energie erzeugter Teilchen umgewandelt. In transversaler Richtung (senkrecht zum Strahl) sind die Energieverteilungen mit den statistischen gleichgewichtet.

FH116

In longitudinaler Richtung - parallel zum Strahl -
sind die Verteilungsfunktionen entfernt vom
thermodynamischen Gleichgew. Fall.

Dies gilt v.a. für die Verteilung der Rapidity der Teilchen
(\cong Lorentz-invariante Analogon der Geschwindigkeit)

$$y = \frac{1}{2} \ln \frac{E + p_{||}}{E - p_{||}} = \tanh^{-1} \left(\frac{p_{||}}{E} \right) \approx -\ln \tan \left(\frac{\theta}{2} \right) \equiv \eta$$

Als Folge von Stößen und Teilchenzerzeugung streift
die Verteilungsfunktion der Rapidity eines Diffusions-
feldes; in linearer Näherung ist bei $R = R(y, t)$

$$\frac{\partial R}{\partial t} = \frac{1}{T_y} \frac{\partial}{\partial y} [(y - y_{eq}) R] + \frac{\partial^2}{\partial y^2} [D_y R].$$

mit y_{eq} = Gleichgewichtswert der
Rapidity ($= 0$ für symm. Systeme)

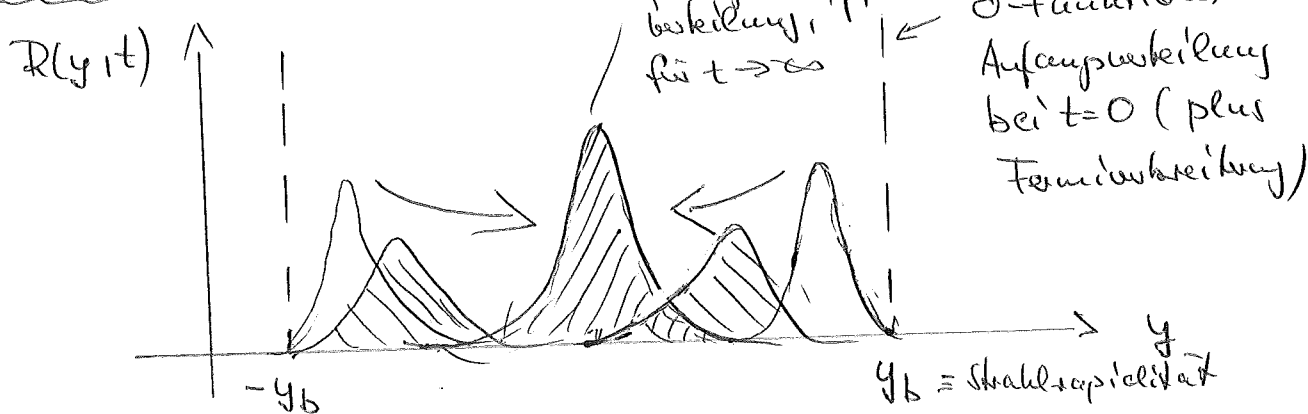
T_y = Rapidity-Relaxationszeit

D_y = Diffusionskoeffizient, bestimmt die
Verbreiterung der Verteilungsfunktion

$D_y \propto T/T_y$ Diffusion-Turbulenz-
Theorie; T = Gleichgewichts-
temperatur

Schematisches Bild der

Rapidity-Relaxation:



Die Relaxationszeit τ_y und die Diffusionskoeffizient D_y sind über ein Dissipations-Fluktuationstheorem und die lokale Gleichgewichtstemperatur $T_{\text{neutrales}}$ verknüpft.

(Analog zu Brownian Bewegung, siehe 7.2).

Lösung der linearen Diffusionsgleichung:

$$R(y, t) = \left[\frac{T}{12\pi D_y(t)} \cdot 2 \right]^{-\frac{1}{2}} \left\{ \exp \left[-\frac{(y+y_b e^{-t/\tau_y})^2}{2D_y^2(t)} \right] + \exp \left[-\frac{(y-y_b e^{-t/\tau_y})^2}{2D_y^2(t)} \right] \right\}$$

für symmetrische Systeme; und zwei Quellen.

Variante:

$$\bar{\sigma}_y^2(t) = D_y \tau_y \left[1 - \exp \left(-\frac{2t}{\tau_y} \right) \right] = \frac{T}{2k} \left[1 - \exp \left(-\frac{2t}{\tau_y} \right) \right]$$

k = Krümmung einer parabolischen
freibenden Potentiale im y -Raum.

$$\text{Für große Zeiten } t > t_2 \text{ mit } \Gamma_{\text{FWHM}}(t_2) = \sqrt{8 \ln 2} \bar{\sigma}_y(t_2) \approx y_1$$

wobei aus den beiden getrennten Verteilungen eine
einzige Verteilung, die bei $y=y_{\text{eq}}$ zentriert ist und
für $t \rightarrow \infty$ in die Gleichgewichtsverteilung übergeht.

→ Siehe u.a. Review-Artikel G.W., Prog. Part. Nucl. Phys.,
und dortige Referenzen.

\Rightarrow Nichtrel. Grenzwert für T_{00} (Energiedichte)

$$T_{00}^{nr} = \rho c^2 + \varepsilon + \frac{\rho v^2}{2}$$

$$(Probel: T_{00} - \rho c^2 = \varepsilon + \rho \frac{v^2}{2} \stackrel{!}{=} \text{Nichtrel. Energiedichte!})$$

↑
Ruheenergie

sowie der Impulsstromdichte-Tensor

$$T_{ik}^{nr} = \rho v_i v_k + \rho \delta_{ik}$$

Beachte: Beim Übergang zum nichtrelativistischen Grenzfall geht die einfache Zusammenhang zwischen Impulsdichte und Energiedichte

$$c^2 \cdot \frac{T^{0i}}{c} = c T^{0i}$$

verloren, weil die nichtrelativistische Energie die Ruheenergie nicht enthält: $c^2 \left(\frac{T^{0i}}{c} \right) \neq \vec{f}$.

8.2 Relativistische Bewegungsgleichungen

für ideale Fluide (d.h. analog zu Euler-Gleichung - im nichtrel. Fall) folgen direkt aus der Energie-/Impulserhaltung:

$$\frac{\partial T^\beta}{\partial x^\alpha} = 0 \quad \text{mit } T^{\alpha\beta} = \omega u^\alpha u^\beta - p g^{\alpha\beta},$$

$\omega = \varepsilon + p$ Energie pro Volumeneinheit

In diesem Energie-Impuls-Tensor sind dissipative Prozesse (Viskosität, Wärmeleitung) noch nicht berücksichtigt, daher nur für ideale Fluide gültig; (alle Ableitung des Analogous zur Navier-Stokes-fl. ist zulässig).

H1/25

Teilchenzahlverteilung (kontinuierl. Abgleichung):

u^α = Geschwindigkeit des Teilchenstromes

n° = Teilchenzahldichte

u^i = Geschw. der Teilchenstromes,

$$n^\alpha = n \cdot u^\alpha, \quad n = \text{statische Teilchenzahldichte}$$

$$u^\alpha = (\gamma, \gamma \frac{\vec{v}}{c}) ; \quad \gamma = \frac{1}{\sqrt{1 - \frac{v^2}{c^2}}}$$

In relativistischen Systemen mit Teilchenzerzeugung wird die Teilchenzahl durch die Bedingungen des thermischen Gleichgewichts festgelegt.

Kontinuitätsgleichung: Die Verteilungsdichte ist konstant: $\partial n^\alpha / \partial x^\alpha = 0$.

$$\boxed{\frac{\partial(n u^\alpha)}{\partial x^\alpha} = 0} \quad (*)$$

Zusammen mit dem Energie-/Impulstensor

$$T^{\alpha\beta} = w u^\alpha u^\beta - p g^{\alpha\beta} \quad \text{folgt:}$$

differenzieren:

$$\frac{\partial T_\alpha^\beta}{\partial x^\beta} = u_\alpha \frac{\partial(w u^\beta)}{\partial x^\beta} + w u^\beta \frac{\partial u_\alpha}{\partial x^\beta} + \frac{\partial p}{\partial x^\alpha} = 0$$

Energie-/Impulserhaltung
↓

auf die Richtung von u^α projizieren: $u^\alpha \cdot$

benutze

$$u_\alpha u^\alpha = 1 ; \quad u_\alpha \frac{\partial u^\alpha}{\partial x^\beta} = 0$$

$$\Rightarrow \frac{\partial (w u^\beta)}{\partial x^\beta} - u^\beta \frac{\partial p}{\partial x^\beta} = 0$$

Setze $w u^\beta \equiv n u^\beta \cdot (w/n)$, beweise (*). - 2. Term im Differential fällt weg.

$$\Rightarrow n u^\beta \left[\frac{\partial}{\partial x^\beta} \frac{w}{n} - \frac{1}{n} \frac{\partial p}{\partial x^\beta} \right] = 0$$

Mit der Enthalpie $w = T \cdot s + p$ ($s = \text{die auf die Einheit des Ruhevolumens bezogene Entropie}$)

$$dw = T ds + dp$$

$$d\left(\frac{w}{n}\right) = T d\left(\frac{s}{n}\right) + \frac{1}{n} dp$$

(\equiv Enthalpie für ein Teilchen; $\frac{1}{n}$ ist das auf ein Teilchen entfallende Volumen).

\Rightarrow der Ausdruck in [...] ist die Ableitung

$$T \frac{\partial}{\partial x^\beta} \left(\frac{s}{n} \right)$$

\Rightarrow ohne den Faktor $n \cdot T$ folgt

$$u^\beta \frac{\partial}{\partial x^\beta} \left(\frac{s}{n} \right) = 0$$

d.h. die Bewegung verläuft wie bei willkürl. idealen Flüssigkeiten adiabatisch, die Enthalpie ändert sich nicht.

Mit der Kontinuitätsgleichung (*) lässt sich das in der Form schreiben

$$\frac{\partial}{\partial x^\beta} (s u^\beta) = 0$$

: die Divergenz des Enthalpiestromes $s u^\beta$ verschwindet.

H127

Die relativist. Verallgemeinerung der Eulerischen

Gleichung erhält man durch projektive Projektion
und Umformung der Gleichung für die Energie-/
Impulshaltung als

$$w u^\beta \frac{\partial u_\alpha}{\partial x^\beta} = \frac{\partial p}{\partial x^\alpha} - u_\alpha u^\beta \frac{\partial p}{\partial x^\beta}$$

und für eine isentrope stationäre Strömung
folgt die relativistische Verallgemeinerung der
Bernoulli'schen Gleichung als

$$\frac{p \cdot w}{u} = \text{const}$$

$$, \gamma = 1 / \sqrt{1 - \frac{u^2}{c^2}} \approx 1 + \frac{1}{2} \frac{u^2}{c^2}$$

w = $\epsilon + p$ Enthalpie pro Volumeneinheit

Zur Ableitung der relativistischen Verallgemeinerung
der Navier-Stokes-Gleichung siehe Literatur, z.B. Landau-
Lifschitz, § 136.

9. Astrophysikalische Hydrodynamik

Lit. u.a. S.N. Shore, An Introduction to Astrophysical Hydrodynamics, Acad. Press, 1992

Statistische und dynamische Probleme bei Fluiden
in interstellaren Umgebungen.

- Da Sterne aus Partien bestehen, sollten dort kinetische Partikularie / Gasdynamik dominieren. Da jedoch das Gas meist i.W. homogen ist, und sein eigenes Gravitationsfeld erzeugt, simuliert es die Bewegung eines Fluids im Feld. Die mittlere freie Weglänge λ ist im Vergleich zu jeder relevanten Größenordnung des Sterns klein, so dass Störungen "ausgewaschen" werden, und die Strukturbilden kontinuierlich

$$\text{ist: } \lambda = \frac{u}{\sigma \cdot g} ; \quad g \approx 1.5 \cdot 10^{-3} \frac{\text{kg}}{\text{m}^3} \text{ in stellarem Raum} \\ \Rightarrow \lambda = \frac{1.7 \cdot 10^{-27} \text{ kg}}{1.5 \cdot 10^3 \cdot 4 \cdot 10^{-30} \text{ m}^2} \approx 0.3 \text{ m} \quad \sigma \approx 40 \text{ mb} = 4 \cdot 10^{-30} \text{ m}^2 \\ \ll R_{\odot} = 6.96 \cdot 10^8 \text{ m}$$

⇒ Sterne (und andere körnige Nebenkernentwicklungen) können stets auf bestimmten Längs- und/oder Zeitskalen durch eine hydrodynamische Approximation beschrieben werden. Alle Arten von hydrodyn. Fluss, die sich auf der Erde beobachten lassen, finden sich auch im Universum; jedoch auf wesentlich größeren Skalen:

- magneto-hydrodyn. Fluss,
- Turbulenz
- Überschallbewegung - Instabilitäten (Schock), ...

Hier kann man ein reißerhaftes Kapitel
herausgreifen werden:

Schockwellen in der Astrophysik

Ursprung der theoret. Berechnungen von
Schockwellen: - B. Riemanns Theorie über die
Ausbreitung akustischer Störungen, ~1860.

- E. Mach, Zusammenhang zu Überschall-Flow, 1880
- L. Brandt, Überschall-Freieschichten, ~1940
(floss ins Manhattan-Projekt ein)

In der Astrophysik sind Schockwellen die Regel als die
Ausnahme. Viele der Beobachtung widersprechen den
Meinungen, sind weit entfernt von thermodynamischen oder
mechanischen Gleichgewicht; oft sind die Zeitskalen für
Eindissipation sehr groß. Die Entwicklungszeitdauern sind
für die meisten kosmischen Objekte weit größer als die
Sollgeschwindigkeit, so dass alles Material, das in interstellare
Geschwindigkeit gelangt, stoppende Bremswiderstände haben muss,
und erst späte Energie und Impuls dissipiert, bis thermisches
Gleichgewicht erreicht wird.

Im interstellaren Medium und bei vielen anderen Phänomenen
ist die mittlere freie Weglänge so ~~groß~~ groß, dass die Distanz ist
die erste Ordnung unwichtig ist. Astrophysikalische Schicksale
können daher zunächst als nicht viskos behandelt werden, später
wird die Dissipation an der Schockfront einbezogen.

Schock-Erzeugung:

Da Schocks Diskontinuitäten im Fluss darstellen, müssen sie stark nichtlinear sein; sie entstehen als Ergebnis einer Instabilität, durch die der Fluss als Funktion der Geschwindigkeit nichtlinear wird.

Beispiel Schallwellen

- erfüllt Kontinuitäts- u. Bewegungsgleichung
- bei anwachsendem Druck wächst die Ausbreitungs geschwindigkeit

Ausbreitung einer Störung:

$$(1) \frac{\partial p}{\partial t} + \frac{\partial (su)}{\partial x} = 0 \quad \text{Kont. fl., stat. u. } u = \begin{cases} 0 & \text{vor Schallfront} \\ \frac{p_0}{f} & \text{nach} \end{cases}$$

$$(2) \frac{\partial u}{\partial t} + u \frac{\partial u}{\partial x} = - \frac{1}{\rho} \frac{\partial p}{\partial x} \quad \text{Bewegungsgl., stat.} \\ [\rho(g) \text{ Zustandsgl.}]$$

Mit $\rho = \rho(g)$; $\phi = \frac{\partial p}{\partial g}$, $[A = \ln g]$ $\Rightarrow \frac{\partial A}{\partial x} = \frac{1}{g} \frac{\partial g}{\partial x}$, $\frac{\partial A}{\partial t} = \frac{1}{g} \frac{\partial g}{\partial t}$

$$\approx (2) \frac{\partial u}{\partial t} + u \frac{\partial u}{\partial x} = - \phi \frac{\partial A}{\partial x} \quad (1) \frac{\partial A}{\partial t} + u \frac{\partial A}{\partial x} = - \frac{\partial u}{\partial x}$$

Kontinuitätsgl. (1) $\circ \phi^{1/2}$ $\approx \phi^{1/2} \frac{\partial A}{\partial t} + \phi^{1/2} u \frac{\partial A}{\partial x} = - \phi^{1/2} \frac{\partial u}{\partial x}$
combine (1') + (2') \approx

$$\approx \left[\frac{\partial u}{\partial t} + (u - \phi^{1/2}) \frac{\partial u}{\partial x} = \phi^{1/2} \left[\frac{\partial A}{\partial t} + (u - \phi^{1/2}) \frac{\partial A}{\partial x} \right] \right]$$

und Multiplikation mit $-\phi^{1/2}$ ergibt ein analoges Resultat.

\approx 3 neue Propagationsbedingung: Die Störung bewegt sich mit

$$\boxed{u_{\pm} = u \pm \phi^{1/2}}$$

Durch die Beziehung

$$\phi = \frac{\partial p}{\partial g}$$

geht die Zustandsgleichung in die Propagationsschwingung ein.

Je nach Abhängigkeit $p(g)$ des Drucks von der Dichte wird die Störung im Vergleich zur konstanten Schallgeschwindigkeit beschleunigt oder abgebremst.

Ist die Schallgeschwindigkeit druck-unabhängig, bewegt sie sich mit konstanter Geschwindigkeit; ist die Schallgeschwindigkeit druckabhängig, so steigt sie bei Kompression (da $\phi > 0$), die Welle beschleunigt.

Bedeutung für die Wellenfront: Linien in der (x, t) Ebene:

$$\left(\frac{dx}{dt} \right)_{\pm} = u \pm \left(\frac{\partial p}{\partial g} \right)^{1/2}$$

"Charakteristiken"

Riemann-Jacobi (1860)

oder

$$\frac{dx}{dt} = u \pm \int \frac{dp}{g \cdot \zeta_S}$$

Schallgeschw. ist eine Fkt der Dichte über die Zustandsgleichung, $p = k g^u$

$$\zeta_S = \left(\frac{\partial p}{\partial g} \right)^{1/2} = \left(\frac{u \cdot p}{g} \right)^{1/2}$$

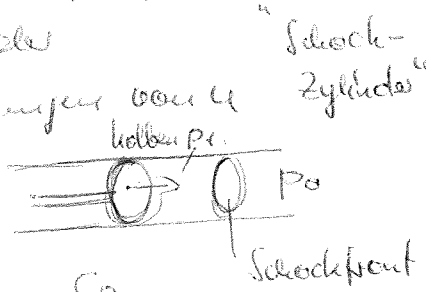
$$u = 1 + \frac{2}{f} \quad u = \frac{c_0}{c_v} \text{ bei idealen Fa.}$$

Entlang der so definierten Trajektorien werden die erhaltenen Fluss-Fragen durch das Fluid kompatibel.

Ist in einer solchen Region eine Diskontinuität

enthalten, wird sie ebenfalls zw. den obigen Riemann-Jacobi gegebenen Trajektorien folgen.

Z.B. u: Geschwindigkeit eines Wellen, die in ein Gas stoßt & u ist äußere Bedingung für den Fluss. Ist er schneller als der Schall, kann er nicht mit an Änderungen vor dem Wellenfront anpassen.



Sei die Zustandsgleichung $p = k \rho^{\gamma}$, $\gamma = \frac{C_p}{C_v}$

$$\text{v} \quad \left(\frac{dx}{dt} \right)_t = u \pm \frac{2 C_s}{\gamma - 1}$$

und die Ausbreitungsgeschwindigkeit des Fluids ist

$$u \pm = C_{s,0} \cdot \left(1 \pm \frac{\gamma - 1}{\gamma + 1} \left[\left(\frac{P}{P_0} \right)^{\frac{\gamma - 1}{2}} - 1 \right] \right)$$

\circ = ungestörtes Fluid.

v mit wachsender Dichte nimmt die Ausbreitungsgeschwindigkeit.
Ob Störung: darauf beruht die Ausbildung der Schallwelle.
An einem best. Punkt wird das statische Trabekal des Luftdruckes überholen, die Schallfront beruht sich auf.

Im Fluss gibt es dabei 3 schaltbare Größen:

- Massenfluss
- Tropfenziffer
- Endhalte-Fluss

daraus lassen sich Bedingungen für die Ausbreitung der thermod. Variablen längs einer Schallfront ableiten:

Rankine-Hugoniot Bedingungen

H133

$\frac{5}{3}$ für id. Gas

Bei gegebenem Dichte- oder Drucksprung und $\kappa = \text{const.}$
 lassen sich abgeleitete Bedingungen für die Ausbreitung
 der übrigen thermodyn. Variablen längs der Schockfront
 ableiten:

$$\frac{g_2}{g_1} = \frac{(\kappa+1)p_2 + (\kappa-1)p_1}{(\kappa-1)p_2 + (\kappa+1)p_1}$$

1 vor dem Schock
2 nach "

$$v_2 = \frac{g_1}{g_2} v_1$$

$$\text{Impulshaltung: } g_1 v_1^2 + p_1 = g_2 v_2^2 + p_2$$

Bei festem Schock: $p_2 \gg p_1$

$$\approx \frac{g_2}{g_1} \rightarrow \frac{\kappa+1}{\kappa-1}, \quad \kappa = \frac{5}{3} \text{ id. Gas} \rightarrow \textcircled{4} \frac{g_2}{g_1}$$

Die Kompression ist in einem Stoß front mit kleinerer Länge als einem Stoß front eines gas (wie einem Stoß front eines gas) größer, da der Stoß front stärker komprimierbar ist. Da der Drucksprung ungekenn proportional zum Geschwindigkeitsprung ist, können wir die relevanten Größen durch Messen der Geschwindigkeiten über die Schockfront bestimmen.
 (umgekehrt)

Bei "Schockzyklone" ist der Drucksprung gegeben,
 und der Geschwindigkeitsprung lässt sich aus dem R-H
 Bedingungen bestimmen.

$$\begin{aligned} & \text{z.B. } \kappa = \frac{4}{3} \\ & \Rightarrow \frac{g_2}{g_1} = \frac{7}{5} \end{aligned}$$

Astrophys. Anwendungen des R+H Boothschen

H134

- Flare can als Sonnenoberfläche ("Cuspion") 15-20 h; X-ray, X-loop hochwirkt. Phänomene, Strahlung u. Teilchen werden aus einer kleinen Region in kurzer Zeit freigesetzt
Expandiert in die Corona und das interplanetare Medium (ganz);
Schockwelle (was waren die Bedingungen bei der Entstehung?)
→ R-H-Bedingungen anwendbar.
 - Supernova
Die Expansionsgeschwindigkeit lässt sich anhand der Spektralverschiebung der Emissoverlichten messen. Wie verändert sich die Masse mit dem interstellaren Medium, und was lässt sie über die Produktionsrate schwerer Elemente bestimmen? R-H-Bedingungen und gesuchte Sprung Δ Elemente bestimmen? R-H-Bedingungen und gesuchte Sprung Δ Elemente bestimmen?
Plasma-Diagnostik zur Beobachtung der Haushalte aus den gewissen Emissoverlichten.
 - HII-Regionen (z.B. H42 der Orion; 4 heiße Sterne der Nebel)
(Einfache ionisierte Wasserstoff)
Strom im Zentrum eines diffusen gasförmigen Mediums (ISM); es sei kein Strom, um das Medium zu Ionisieren.
Scheint der Strom lange genug, wird genügend Energie in das Medium gepumpt, dass es sich aufheizt und expandiert
⇒ Eine Front mit einer Diskontinuität in Druck und Ionisierung bewegt sich auswärts im ISM: "Ionisierungs-Schock"
mit einer Diskontinuität in der Ionisationsrate über alle Ionisierungsregelbereiche,

Die Ionisierung verzögert die Entstehung und die Entwicklung des Gases zu "schwacher" Schock. Auch expandierende Front entsteht eine komplexe Struktur; i.w. bewegt sich jedoch eine heisse ionisierte Region in der kalten ISM.

Erweiterbare Probleme:

- Zusätzlicher magn. Feld:

Erhaltung des magn. Flusses, $\nabla \times \mathbf{B} = 0$ führt zu R-H, die analog zur Erhaltung der Massen-flüsse ist; die Sprung-konditionen an der Schockfront ändern sich.

- Wechselwirkende Schocks

Für die meisten hydrodyn. Probleme in der Astrophysik sind numerische Rechnungen die Regel. Manchmal sind jedoch analytische Abschätzungen u. Überlappberechnungen nützlich. Beispiel:

Dicke-schock-wellen: Spiralearm-Schock im Polarko-

flache Spiralgalaxie mit Dichtestörung in ob. Skizze
komponente der Scheibe

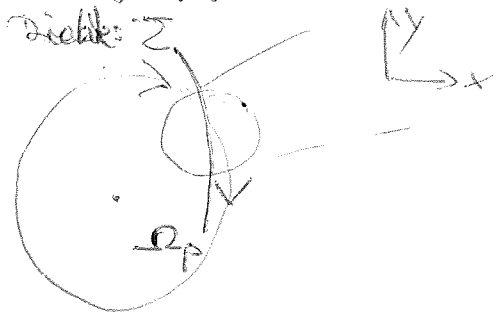
- Störung der Gravitationspotential über die Poisson-Gleichung:

Gas stößt durch die Scheibe und reagiert auf die Störung; bei Dichtestörungen kann die

Gravitationsbeschleunigung überall periodisch verändert werden.

H135 (96G) 125
bzw. Robert S. Achterberg: J. 158 (1969) 125
Berücksichtigung der potentiellen Energie in der Scheibe führt zu einer Lösung der Poisson-Gleichung, die die Störung periodisch verändert. Die resultierende Beugungsfunktion ist in der Scheibe periodisch, und kommt als a

Bewegungsgl. der rotierenden Bezugssysteme



- Dichtewelle mit Frequenz Ω_p
- dünne Schicht aus ρ_s u. ρ_d
- nur alte Schicht unterteilt die Welle
- langsame Bewegung der Welle im Vergleich zur Rot. fests. der Platte

▷ lokale Analyse

u : Geschw. der Dichtewelle

stationärer Fluss,

$$\text{Kontinuitätsgleichung: } \frac{\partial \Sigma u}{\partial x} + \frac{\partial \Sigma v}{\partial y} = 0 \quad u: \text{Geschw. der Rotation}$$

$$\frac{\partial v}{\partial x} = -f$$

$$\text{Bewegungsgl.: } u \frac{\partial u}{\partial x} + v \frac{\partial u}{\partial y} + fv = -\frac{c_s^2}{\Sigma} \frac{\partial \Sigma}{\partial x} - \frac{\partial \phi}{\partial x}$$

$$u \frac{\partial v}{\partial x} + v \frac{\partial v}{\partial y} - fu = -\frac{c_s^2}{\Sigma} \frac{\partial \Sigma}{\partial y} - \frac{\partial \phi}{\partial y}$$

- Sei ein Fluss \vec{F} - Ritterg

- keine Abhängigkeit der Bewegung von y

$$\text{Grav. potentiell entwickeln: } \phi(x, y) \approx \phi_0 + \frac{1}{2} \frac{\partial^2 \phi}{\partial x^2} x^2 + \frac{1}{2} \frac{\partial^2 \phi}{\partial y^2} y^2$$

lokales Drehmomentum \approx spiralförmig

Dichte verändert längs der Ache \propto 2. Term vereinfacht

▷ approx. eq. für u :

$$u \frac{\partial u}{\partial x} + fv = \frac{c_s^2}{\Sigma} \frac{\partial \Sigma}{\partial x} - \left(\frac{\partial^2 \phi}{\partial x^2} \right)_0 x^2 \quad (*)$$

kont. gl.

$$\Sigma \frac{\partial u}{\partial x} + u \frac{\partial \Sigma}{\partial x} = 0$$

→ Durchfan in (*) eliminieren \vec{v} Fluss approx.

$$\boxed{\frac{1}{u} (u^2 - c_s^2) \frac{\partial u}{\partial x} = f_0 - \phi_0'' x}$$

$\frac{\partial v}{\partial x} = -f_0$, für die x -komponente, \perp zum lokalen Anströmungsrichtung

→ Das Gas wird in Richtung auf das galakt. Zentrum abgelenkt als Folge der Störung; dort erkennt es einen zentralen schwarzen Loch als Akkretionsmechanismus.

10. Hydrodynamik der Superflüssigkeiten

10.1 Grundlagen

"Quenkenfleißfieber": In der Nähe des absoluten Nullpunkts
werden Quenkeneffekte wichtig. Bis 0K
bleibt nur Helium fleißig:

^4He : Kern und Atom haben gleiche Bose-Elektronen statistik "Bose-Statistik"

^3He : "Fermi-Flüssigkeit"

für zunächst auf den Rose-Teil konzentrieren.

A. Punkt im flüssigen Metall:

Hütt man unter dem Steckpunkt von 4,186 durch

Evaporativer (Vakuum-Pumpe!), "kocht" ^4He mit kleinen Blasen. Am A-Punkt bei 2.18 K (Übergang

vom H_EI zu H_{II}) "knockt" es plötzlich stark auf, kann dies elektronisch völlig aufzufangen: H_{II} ist

superflügel geworden. Wenn ich weiter

Widerstandes absteigt, die Weine leggen auf 1-Punkte um ≈ 10 fällt.

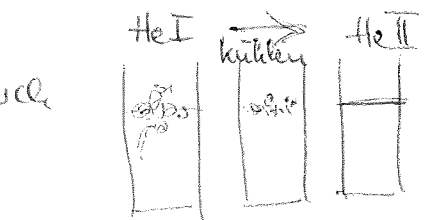
steigt innerhalb der 1-Knoten, um $\sim 10^6$ fache -

- Die Viskosität geht ebenfalls von der 10⁻³ ab
(Mercury: Flüssig durch Kapillare), Pd. Kapitel 2a 1938

- aufgebrochen, ohne Filter wurde hoch

Die Nennkapazität übertrifft die Phasen-

Übungsaufgaben



λ -Übergang:

Plasterübergang

2. Lösung:

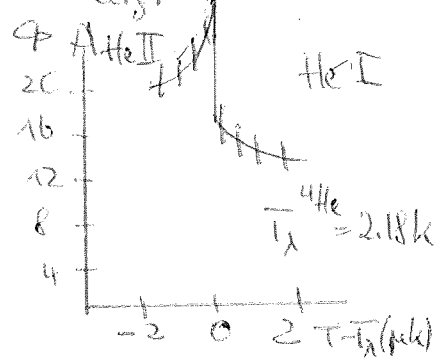
Na. knick die T-S-Dia-

following; below

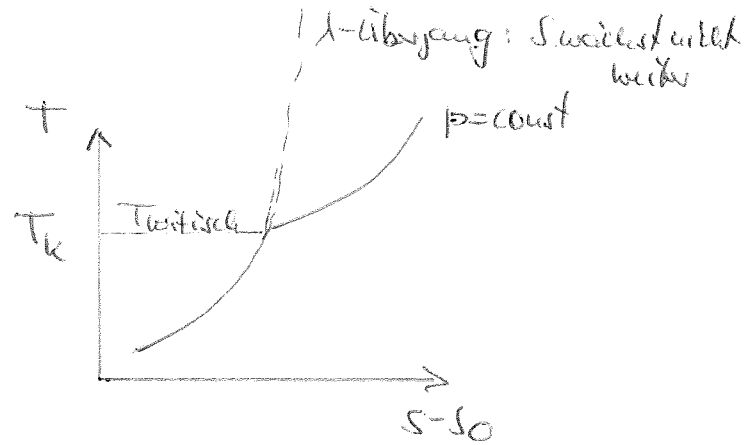
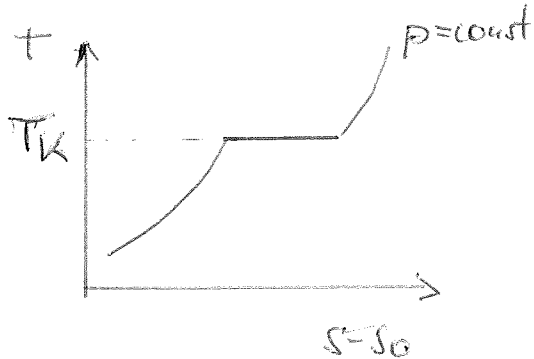
J. Überzeugung + Tugend

Die Wirtschaftsprüfung

Right to Fair:

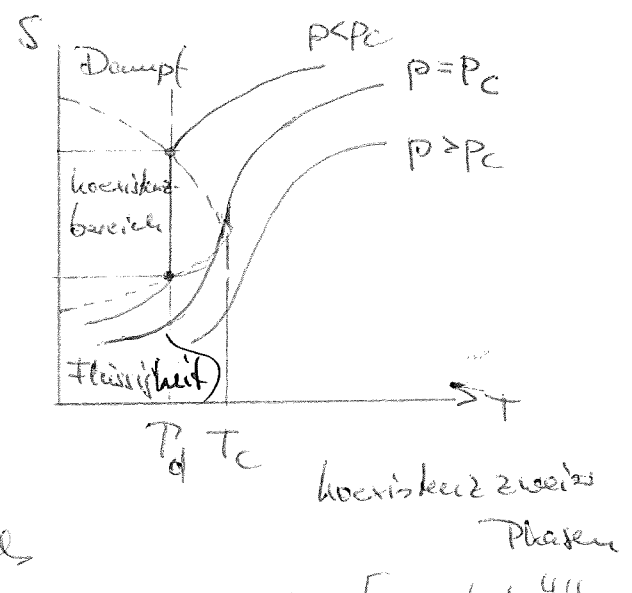


Demgegenüber steht Phasenübergänge 1. Ordnung
etwäh einen Sprung in der Entropie S [und einer
Divergenz der Wärmekapazität und der Kompressibilität]
 gekennzeichnet:



- + Phasenübergang 1. Ordnung:
zusätzliche Wärmeaufnahme
während des Phasenübergangs
 $\Delta Q = C \Delta T$, C = Wärmekapazität;
 $C \rightarrow \infty$ am Phasenübergang.

2. Ordnung; beim λ -Übergang:
kein Sprung, aber ein Abreißung



Die ^3He -Flüssigkeit ^3He
wird ebenfalls superfluid,
jedoch erst bei $T \leq 10^{-3} \text{ K}$;
die Hydrodynamik ist schwieriger als

bei ^4He wegen des komplizierteren Gleichgewichtszustandes. [^4He hat ^4He
einen geringen Anteil - 13,16 % ^3He als Verunreinigung.]

Die Hydrodynamik der superfluiden Flüssigkeit kann
auf der Basis der mikroskopischen Theorie (L.D. Landau 1941)
entwickelt werden.

L.Tisza 1940,

Phasen

* Kib. Theorie von He II (L. Landau 1941) L. Tisza 1940: nachw. 2-Fluid-Modell

$T_c > T > 0$: He II enthält viele Teilchen aus 2 Flüssigkeiten) superfluid, ohne Viskosität } Erzielbare Impulserhaltung → 2 überlappende Schichten v. 2 Arten v. Schallwellen
2) normal, viskos } bei $\rightarrow 2$ Überlappung: keine Reibung

Schematische Darstellung: Es gibt zwei Schichten, die durch eine bestimmte effektive Dicke charakterisiert sind: die normale, die ^{unendlich} superfluid. (Es handelt sich dabei nicht um die Komponenten einer Flüssigkeit.)

Capillarschwingung von He II: Im Spalt bewegt es sich eine normale superfluide Schwingung (die normale Schwingung des Gefäßes und strömt mit normaler Viskosität durch den Spalt).

Rotierende Schibe in He II: Erzeugt normale Schwingung mit der dazugehörigen Viskosität (Auslösung d. Zähfligkeit durch Dämpfung von Transversalschwingungen ergibt normalen γ -Wert).

Die superfluide Schwingung transportiert keine Wärme. Sie ist stets eine Potentialschwingung.

Die normale Schwingung ist eine Schwingung der Partikel als "Elementarwelle"; die Auswirkungen betreffen einzelne Quanteneinheiten, die sich im Flüssigkeitsvolumen bewegen und Geschwindigkeitsimpulse mitbringen können.

Die Entropie von He II wird durch die statistische Verteilung der Elementarwogen gegenübersgestellt. Deshalb wird bei jeder Schwingung, bei der die Partikel als Elementarwellen in Ruhe bleiben, keine Entropieübertragung; Eine superfluide Schwingung oversteigt keine Entropieübertragung und keinen Wärmetransport; eine reine superfluide Schwingung in He II ist thermodynamisch unwirksam.

Mechanismus für den Wärmeausgang in HeII ist die Wärmeübertragung durch die normale Strömung der Flüssigkeit. Jede Temperaturdifferenz ruft eine normale und eine superfluide Innenströmung hervor, sie können sich komplementär oder gegen kompensieren, so dass kein reeller Wärmeausgang stattfindet muss.

Bei \vec{v}_s : Permeabilität der superfluiden Hg-Strömung
 \vec{v}_n : " " normalem

$\vec{v}_n \cdot g \cdot s$: Entropiestromdichte, s = Entropie pro Masseneinheit

$$q = g \cdot T \cdot s \cdot \vec{v}_n = u \cdot T = \text{Wärmestromdichte}$$

* Die superfluide Strömung ist eine Potentialströmung:

$$\vec{\nabla} \times \vec{v}_s = 0 \quad | \text{ Vf, da freien Volumen des Fluids}$$

Die Elementarwirkungen mit großer Wellenlänge ($\hat{=}$ kleinen Eingaben und Impulsen) sind Schall-Quellen (Phononen), und die makroskop. hydro-dynamik der superfluiden Strömung lässt keine anderen Schwingungen als Schallschwingungen zu.

Die Potentialströmung gibt keine Kraft auf einen statisch unverrückbaren festen Körper aus ("offenkundiger Paradoxie")

In einer normalen Strömung hat ein Körper einen Widerstand. Kompenstieren sich normale und superfluide Konvektion, wirkt auf Körper im HeII eine Kraft, obwohl kein resultierender Wärmeausgang vorhanden ist.

10.2 Hydrodynamische Gleichungen für He II

Die hydrod. Strömung ist durch die 2 Geschwindigkeiten \vec{v}_s , \vec{v}_n bestimmt

Gleichungen folgen als der Boltz-Maxwell (unelast.) und den notwendigen Schaltungszeiten.

Bei genügend großen Strömungsgeschw. verliert He II seine Superfluidität (Sprenggeschw., kritische Geschw.); dennoch die fl. für beliebige Geschw. ableitbar, kann zu kleinen v_s übergehen.

Massenstromdichte = Impuls pro Volumeneinheit:

$$\vec{j} = \rho_s \vec{v}_s + \rho_n \vec{v}_n \quad \begin{aligned} \rho_s &= \text{Superfluide Dichte} \\ \rho_n &= \text{normale } \end{aligned}$$

$$j = j_s + j_n \quad \begin{aligned} j_n &\rightarrow 0 \text{ für } T \rightarrow 0 \text{ (in realem } 4\text{He)} \\ j_s &\rightarrow 0 \text{ für } T \geq T_d \text{ normales Fluid} \end{aligned}$$

$$\frac{\partial \vec{j}}{\partial t} + \vec{\nabla} \cdot \vec{j} = 0 \quad \text{kont. fl., Konservierung}$$

$$\frac{\partial j_i}{\partial t} + \frac{\partial \Pi_{ik}}{\partial x_k} = 0 \quad \text{Impulshaltung; } \Pi_{ik} = T_{i,k} \text{ mit } \text{Impulsdichte}$$

Zuerst dissipative Prozesse auswählen

\vec{v} reversible Strömung, Entropie bleibt erhalten

$$\text{Entropiestrom} \equiv j_s s \cdot \vec{v}_n$$

→ Energieerhaltung:

$$\frac{\partial(\rho \bar{v}_s)}{\partial t} + \vec{\nabla}(\rho \cdot \bar{v}_s \cdot \vec{v}_u) = 0$$

8 Bedingung für Potentialströmung im Aufstell \bar{v}_s : $\vec{\nabla} \times \vec{v}_s = 0$

Ableitung von \bar{v}_s = fraktial oder Skalar:

$$\frac{\partial \bar{v}_s}{\partial t} + \vec{\nabla} \left(\frac{v_s^2}{2} + \mu \right) = 0 \quad \text{mit } \mu \text{ Skalar} \quad (*)$$

Wir wollen μ müssen noch festgelegt werden, aus dem Energieerhaltungssatz und der Poldier-Invariant

$$\hookrightarrow \frac{\partial E}{\partial t} + \vec{\nabla} \vec{Q} = 0, \quad \vec{Q} = \text{Energiestromdichte}$$

(*) μ wird mit dem chem. Potential zusammenfallen
z.B.)

ist die Poldier-Transformationsform (nur für die Abhängigkeit aller Größen von \bar{v}_s bei fester Relativgeschwindigkeit $\bar{v}_u - \bar{v}_s$ bestimmen (dazu muss horoz. System einführen, in dem die Geschwindigkeit der superfluiden Strömung eines freien Fluidelements 0 ist, und da sie mit v_s relative zum ursprünglichen System bewegt)

$$\vec{j} = \rho \bar{v}_s + \vec{j}_0 \quad \text{a: Größen in Bezugssystem}$$

$$E = \frac{\rho v_s^2}{2} + \vec{j}_0 \cdot \vec{v}_s + E_0$$

$$\vec{Q} = E \bar{v}_s + \frac{v_s^2}{2} \vec{j}_0 + T_0 \bar{v}_s + \vec{Q}_0$$

$$T_{ik} = \rho v_{si} v_{uk} + v_{si} j_{uk} + v_{uk} j_{si} + T_{0ik}$$

$$dE_0 = \mu dg + T d(g s) + (\bar{\psi}_n - \bar{\psi}_s) d\vec{p} \quad \mu = \text{chem. Potentiel}$$

$$p = -E_0 + T g s + \mu g + g_n (\bar{\psi}_n - \bar{\psi}_s)^2 \text{ Druck} \quad (\text{freie Enthalpie pro Molen-Einheit})$$

E, Q in Energierhaltung nach einsetzen, Zeitableitung mit Hilfe der hydrog. Gleichungen erhalten (umfassende Rechnungen!) $\rightarrow \dots \approx$

$$\vec{Q} = \left(\mu + \frac{g^2}{2} \right) \vec{g} + T g s \vec{v}_n + g_n \vec{v}_n [\bar{\psi}_n (\bar{\psi}_n - \bar{\psi}_s)]$$

$$T \vec{v}_k = p_n \bar{\psi}_n \vec{v}_{nk} + g_s \bar{\psi}_s \vec{v}_{sk} + p \delta_{ik}$$

$\rightarrow g v_i \partial_x$ in der üblichen Hydrodynamik

Damit ist das vollst. System der hydrodyn. Gleichungen definiert. Die freien Gr., p_n , μ , s sind nicht nur Funktionen der thermodyn. Variablen p, T , sondern auch des Gradienten der Relativgeschwindigkeit der Strömung $w^2(\bar{\psi}_n - \bar{\psi}_s)^2$: Skalar, die gegenüber Galilei-Transformationen des Bezugssystems und Drehungen der gesamten Flüssigkeit invariant ist.

Die Gleichungen vereinfachen sich im phys. relevanten Fall nicht zu proper Potenzialgleichungen (Verhältnis von v_n, v_s zw. Ausbreitungsgesch. der zweiten Schall): Abhängigkeiten von p_n, g von w unvermeidlich, obige thermodyn. Größen nach Potenzien der Forderbarkeit entwickeln. z.B.:

$$s(p, T, w) \approx s(p, T) + \frac{w^2}{2} \frac{\partial}{\partial T} \frac{s_n}{g}$$

$$g(p, T, w) \approx g(p, T) + \frac{g^2 w^2}{2} \frac{\partial}{\partial p} \frac{s_n}{g}$$

* Randbedingungen: An jeder festen rechteck. Oberfläche muss die dazu L komponente der Kräfte ausbalanciert werden.

fürne muss die Temperaturänderung von \vec{v}_n an der Wand verschwinden! (Haus)

$$\vec{v}_{n\parallel} = 0 \text{ an der Wand}$$

$$\vec{v}_{n\perp} \text{ stetig} \quad \dots$$

Für \vec{v}_n übliche Randbed. für eine ideale, bei \vec{v}_n für eine reale Flüssigkeit.

zur Berechnung dissipativer Prozesse ist - wie in der gesuchten Hydrodynamik - die Erfüllung zusätzlicher Terme erforderlich, die linear in den räuml. Ableitungen von \vec{v}_n und T sind.

Dabei werden 5 unabhängige kinetische Koeffizienten ($\gamma_1, \beta_1, \beta_2, \beta_3, \epsilon$) eingeführt; die „erste Zähigkeit“ γ ist mit \vec{v}_n verknüpft (analog η gewöhl.) Es ist analog zur Wärmeleitfähigkeit eines normalen Fluids. Die „zweite Zähigkeit“ β wird jetzt durch 3 Koeffizientenersetzt.

10.3 Schallausbreitung in Suprfluiden

- Stoßwellenpropagieren als Schallwelle als kleine Erweiterung
- ρ, p, s weichen nur wenig von ihrem Gleichgewichtswerten ab
- \approx hydrod. Gleichungssystem durch Unschärferingen qualifiz. Gleichw. linearisieren:

$$\frac{\partial \vec{s}}{\partial t} + \vec{\nabla} \vec{f} = 0 \quad \left| \frac{\partial}{\partial t} \rightarrow \frac{\partial^2 \vec{s}}{\partial t^2} + \vec{\nabla} \frac{\partial \vec{f}}{\partial t} = 0 \right.$$

$$\frac{\partial (ps)}{\partial t} + gs \vec{\nabla} \vec{v}_n = 0 \quad (gs vor \vec{\nabla} gezozen, da dieser Term schon \vec{v}_n enthält)$$

$$\frac{\partial \vec{p}}{\partial t} + \vec{\nabla} p = 0 \quad \approx \vec{\nabla} \frac{\partial \vec{p}}{\partial t} = -\Delta p$$

$$\frac{\partial \vec{\mu}}{\partial t} + \vec{\nabla} \mu = 0$$

$$-\frac{\partial^2 \vec{s}}{\partial t^2} \quad \checkmark \quad \boxed{\frac{\partial^2 \vec{s}}{\partial t^2} = \Delta p}$$

Erste gl. nach t differenzieren, in 3. einsetzen \Rightarrow

$$\frac{\partial^2 p}{\partial t^2} = \Delta p$$

und mit thermodyn. Identität folgt nach einigen

Umformungen

$$\frac{\partial^2 s}{\partial t^2} = \frac{s_s - s}{s_u} \Delta T$$

Diese gl. beschreiben die Schallausbreitung im Superfluid.

Da es zwei Geschwindigkeiten gibt, folgen zwei Geschwindigkeiten der Schallausbreitung.

Für $s_s = 0$ (nur normale Flüssigkeit) bleibt nur die gewöhnliche Schallgeschwindigkeit

$$u^2 = \left(\frac{\partial p}{\partial s} \right)_s , \text{ während sieh allgemein ergibt}$$

$$u^4 - u^2 \left[\left(\frac{\partial p}{\partial s} \right)_s + \frac{s_s + s^2}{s_u c_0} \right] + \frac{s_s + s^2}{s_u c_0} \left(\frac{\partial p}{\partial s} \right)_T = 0$$

mit

$$u_1 = \sqrt{\frac{\partial p}{\partial s}} , \quad u_2 = \sqrt{\frac{T s^2 p_s}{c_p c_v}}$$

$$c \approx c_p \approx c_v$$

(stark c_v)

wobei zu konstant

stark T-abhängig, beschreibt mit p_s am T-Punkt.

"zweiter Schall"

Nähe eines A-Punkts lässt sich die Unterschiede $C_P - C_V$ nicht ausschließen; es folgt

$$u_2 = \sqrt{\frac{T s^2 g_s}{C_P - C_V}}$$

Bei sehr niedrige Temperaturen sind fast alle Elementarwirkungen im Flüssig Phasen, und es gilt

$$C = 3s, \quad g_u = \frac{C_P}{3u_1^2}, \quad g_u \approx g \quad \checkmark$$

$$u_2 = \sqrt{\frac{T s^2 g_s}{C^2 g}} \cdot 3 u_1^2$$

$$T \rightarrow 0: \boxed{u_2 \rightarrow \frac{u_1}{\sqrt{3}}}, \text{ d.h.}$$

$$\boxed{\frac{u_1}{u_2} \rightarrow \sqrt{3}} \quad T \rightarrow 0$$

$$u_2 = \frac{s}{C} u_1 \cdot \sqrt{3} \\ = \frac{1}{3} u_1 \sqrt{3} = \frac{u_1}{\sqrt{3}}$$

In einer Welle des zweiten Schalls, schwanken normale und superfluide Flüssigkeit gegeneinander, der resultierende Massenstrom ist Null.

In einer Schallwelle des normalen (esp.) Typs ist $u_n \approx u_s$ (bei einer ebenen Welle), d.h. die Flüssigkeit in jedem Volumenelement schwingt als Ganzes, normale und superfluide Kerne bewegen sich gemeinsam - entsprechend gewöhnlichen Schallwellen.

Schwünge von Superfluiden lassen sich nicht wie gewöhnliche Schwünge durch eine Reynoldszahl charakterisieren; vielmehr abhängen die Schwungsgeschwindigkeiten, und die Theorien zur Turbulenzentstehung sind direktiv anwendbar.

Rotation ist nur durch Bildung von Wirkelschleifen möglich, also ohne quantititative Zirkulationsbagen; sie können höchstens geschlossen sein. Es besteht ein Zusammenhang zwischen Reibungsfaktor λ und Turbulenz in Superflüssigkeiten, v. Niemetszky

Testaufgaben zu
Hydrodynamik

WS 2012/13 HD

Aufgaben zu Hydrodynamik-VL

Aufg. 1: Kontinuitätsgleichung für die Euler-Psi

Beweisen Sie mit Hilfe der Adiabatengleichung und der Kontinuitätsgleichung die "Kontinuitäts-Gleichung für die Euler-Psi",

$$\frac{\partial (\rho \cdot s)}{\partial t} + \vec{\nabla}(\rho \cdot s \cdot \vec{v}) = 0$$

Aufg. 2: Bestimmen Sie für die eindimensionalen Schwingungsgleichung

$$\frac{\partial^2 p}{\partial t^2} = c^2 \frac{\partial^2 p}{\partial x^2}$$

die d'Alembert'sche Lösung (F_1, F_2 willkürliche reelle Funktionen)

$$p(x, t) = F_1(x+ct) + F_2(x-ct).$$

Aufg. 3: Hydrostatik

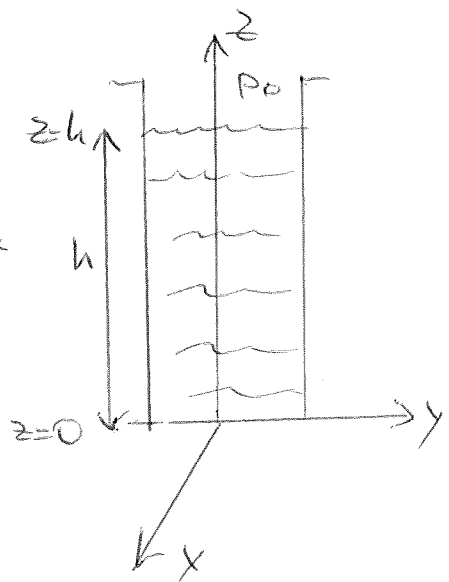
a) Bestimmen Sie für ein ruhendes inkompressibles

Fluid in einem zylindrischen Gefäß aus der Euler-Gleichung im Schwerfeld

$$\vec{\nabla}p = \rho \cdot g \quad \text{daraus}$$

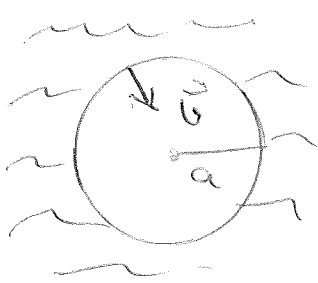
Druck (als Fkt. der z-Koordinate),

$$p = p(z)$$



b) Berechnen Sie das Dreieckprofil, wenn der Zylinder mit $\omega = \text{const}$ um die Vertikale rotiert.

(Hinweis: verwenden Sie das Zentifugalpotenzial $U_r = -\frac{1}{2} \rho r^2 \omega^2$)

Aufg. 4: Inkompressible Fluide

Eine inkompressible Flüssigkeit füllt einen Raum. Ein kegelförmiges Volumen mit Basis a wird entfernt.

Nach welcher Zeit hat sie die Hohlräume mit Flüssigkeit gefüllt?

Hinweis: Verwenden Sie die Euler-Gleichung und die Kontinuitätsgleichung für inkompressible Fluide ($\nabla \cdot \vec{v} = 0$) in sphärischen Koordinaten (das Problem ist kegelformig leicht!).

Aufg. 5: Wasserwellen

- a) Berechnen Sie aus der Gleichung für das Potenzialgleichspotential ϕ ($\vec{\omega} = -\vec{\nabla} \phi$),

$\frac{\partial \phi}{\partial t} = -g \cdot y$ die Dispersionsrelation im tiefen ($\hbar \gg \lambda$) und flachen (d.h., $\lambda = \frac{2\pi}{k}$ Wellenlänge) Wasser

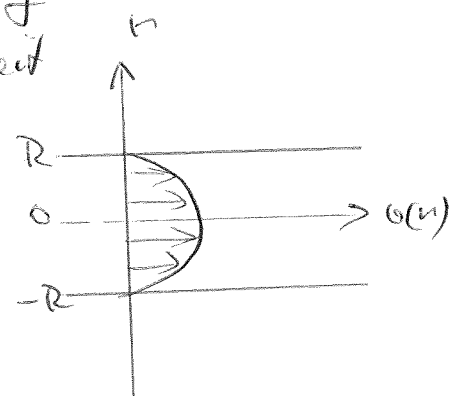
- b) Berechnen Sie für kapillarwellen mit der Oberflächenspannung σ aus der Poisson-Gleichung

$$-\frac{\partial \phi}{\partial t} + \frac{P}{\rho} = 0 \quad \text{die (anomale) Dispersionsrelation, } \omega = \omega(\lambda).$$

Aufg. 6: Poiseuille-Strömung

- a) Bestimmen Sie für die Rohrströmung einer inkompressiblen zähen Flüssigkeit aus der Navier-Stokes Gleichung

$$\frac{\partial \vec{v}}{\partial t} + (\vec{v} \cdot \vec{\nabla}) \vec{v} = -\frac{\vec{\nabla} P}{\rho} + \frac{\eta}{\rho} \Delta \vec{v}$$



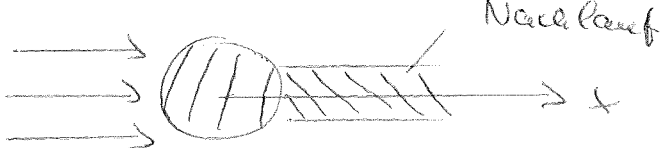
in linearer Näherung die Bewegungsgleichung in Polarkoordinaten ($\vec{v}(r) \rightarrow v(r)$!).

- b) Lösen Sie die Gleichung (Integration) für $v(r)$ für ein Rohr der Länge l mit dem Druckgefälle ΔP .
(Beachte die Randbedingungen: $v(r)=0$ für $r=\pm R$)

Aufg. 7: Laminarer Nadellauf

Eine zähe Flüssigkeit mit Geschwindigkeit U und Dichte ρ strömt durch eine feste Kapillare. Die "wave" Strömungsgeometrie ist

sei $\vec{u} + \vec{\theta}$; für $\vec{\theta} = -\vec{u}$ Stillstand



- a) Zeigen Sie, dass die Lösung der Nadellauf in linearer Näherung

$$v_r(\theta) = -\frac{Fr}{4\pi g \cdot \rho \cdot r} \exp\left\{-\frac{U \cdot r \cdot \theta^2}{4v}\right\}$$

die Oseen'sche Gleichung erfüllt,

$$(\vec{u} \cdot \vec{\nabla}) \vec{v} = -\frac{\vec{\nabla} P}{\rho} + \nu \Delta \vec{v} \quad (\text{ohne Reibung! Einsetzen der Gleichung})$$

- b) Ausgehend des Nadellaufes ist die Strömung eine reine Potenzialströmung. Lösen Sie hier die Laplace-Gleichung für das Geschwindigkeitspotential $\Delta \phi = 0$ ($\vec{v} = -\vec{\nabla} \phi$).

Aufg. 8: Stabilität stationärer Schwingungen

Mit den Landau'schen Konstanten $\alpha < 0$ und $\beta \geq 0$ lautet die Differentiengleichung für die Amplitude $A(t)$ einer kleinen, nicht stationären Schwingung der Bewegung eines kleinen Fluids ($\gamma_1 \geq 0$)

$$\frac{d}{dt} |A|^2 = 2\gamma_1 |A|^2 + |\alpha|^4 - \beta |A|^6$$

a) Lösen Sie die Gleichung für Glieder bis zw. 4. Ordnung (Ann. $\beta = 0$)

b) Wie lautet die Lösung der kompletten Gleichung für $t \rightarrow \infty$? (Probe durch Einsetzen)

Aufg. 9: Wärmeleitung

In einem unbegrenzten Medium gelte die Wärmeleitungsgleichung

$$\frac{\partial T}{\partial t} = \kappa \Delta T \quad (\text{Temperatur } T, \text{ Temperaturverteilfaktor } \kappa)$$

Berechnen Sie die Temperaturverteilung aus dem Fouriersatz

$$T(\vec{r}, t) = \int T_0(\vec{r}') e^{-\kappa^2 \chi t} e^{i \vec{k}(\vec{r} - \vec{r}')} d^3x' \frac{d^3k}{(2\pi)^3}$$

für eine anfängliche Temperaturverteilung $T_0(\vec{r}) = \text{const} \delta(\vec{r})$ und ein stat. Problem $[T(\vec{r}, t) \rightarrow T(r, t)]$

Hinweis: \vec{k} -Integration zuerst ausführen, dann d^3x' !

Mit $e^{i\vec{k}\vec{R}} = \cos(\vec{k}\vec{R}) + i \sin(\vec{k}\vec{R})$

verdeutlicht das Integral über die ungerade sin-Funktion,
und es ist (ξ = eine Komponente des Vektors \vec{k})

$$\int_{-\infty}^{+\infty} e^{-\alpha \xi^2} \cos(\beta \xi) d\xi = \left(\frac{\pi}{\alpha}\right)^{1/2} e^{-\beta^2/(4\alpha)}$$

[Lösung siehe VL-Skript H100:

$$T(r, t) = \text{const} \cdot \frac{1}{8(\pi \tau t)^{3/2}} e^{-r^2/(4\tau t)}]$$

Aufg. 10: Diffusion

Welche Zeit τ benötigt ein - in einem Flüssig
suspensions-Brown'sches Teilchen, um eine

Diffuzenz $d \approx 2R$ durch Diffusion zurückzulegen?



$$\langle r^2 \rangle = 6Dt \Rightarrow \tau = \frac{d^2}{6D}$$

Einstein-Relation

$$D = \frac{kT}{6\pi\eta a} \Rightarrow \tau = \frac{\pi m d^3}{kT}$$

Aufg. 11: Energie-Impuls-Tensor

Berechnen Sie den Energie-Impuls-Tensor

$$T^{\alpha\beta} = \omega u^\alpha u^\beta - p g^{\alpha\beta}$$

mit $\omega = \epsilon + p = \text{Einhalpte pro Volumeneinheit}$,

$\epsilon = \text{innere Energiedichte}$, $p = \text{Druck}$,

$u^\alpha = \text{Divergenzgeschwindigkeit}$, $g^{\alpha\beta} = \text{metrischer Tensor}$

im nichtrelativistischen Grenzfall $v \ll c$

(Beachte: Im relativistischen Fall wird die Teilchenzahl-dichte n auf die Einheit des Ruhevolumens bezogen; die Energiedichte ist dann $m.c^2$. Im nichtrelativistischen Fall wird dagegen die Energiedichte auf die Volumeneinheit im Laborystem bezogen, in dem sich das Fluid bewegt.

Bei der u.u. Grenzübergangs wird derhalb-von

$$m.c^2 \xrightarrow{\text{u.u.}} pc^2 - \frac{gv^2}{2}, \text{ siehe Skript.}$$

Aufg. 12: Entropieerhaltung in relativistischer Hydrodynamik

Die Bewegung idealer relativistischer Fluide verläuft adiabatisch, die auf die Einheit des Ruhevolumens bezogene Entropie s. ändert sich nicht.

$$u^\beta \frac{\partial}{\partial x^\beta} \left(\frac{s}{n} \right) = 0 \quad u^\beta = \left(\gamma, \gamma \cdot \frac{\mathbf{v}}{c} \right) \text{ 4er Geschw.}$$

$n = \text{skalare Teilchenzahl}$.

Zeigen Sie: Daraus folgt die Erhaltung der Vierdivergenz des Entropientensors $s u^\beta$

$$\frac{\partial}{\partial x^\beta} (s u^\beta) = 0.$$

^

Hydrodynamik: Literatur

WS 2012/13 HD G. Wolschin

D.J.Tritton: Physical Fluid Dynamics, Oxford Univ. Press(1977)

L.D.Landau, E.M.Lifschitz: TPVI- Hydrodynamik (1991)

D.J.Acheson: Elementary fluid dynamics, Clarendon (1990)

T.E.Faber: Fluid dynamics for physicists, CUP (1995)

G. Wolschin: Diffusion and local deconfinement in relativistic systems, Phys. Rev. C 69, 024906 (2004)

W.Greiner,H.Stock: TP2A-Hydrodynamik, H.Deutsch (1987)

C.Godreche (ed.): Hydrodynamics and nonlinear instabilities, CUP (1998)

A.Sommerfeld: TPII, Mechanik der deformierbaren Medien (1947)

A.R.Choudhuri: The Physics of Fluids and Plasmas (1998)

R.Lüst: Hydrodynamik (1978)

H.L.Swinney (ed): Hydrodynamic Instabilities and the Transition to turbulence

S.N.Shore: An introduction to astrophysical Hydrodynamics (1992)

D. Michalas: Stellar Atmospheres, Freeman

F.H.Shu: The physics of astrophysics, Vol.II, Univ. Science books

Vorlesung Montags 9.15 - 11.00 Philosophenweg 12 gHS.

NEW [return](#)